

Yuan tzu neng
v. 4, no. 11

原子能

第 4 卷

第 11 期

1959

中国物理学会編輯

科学出版社出版

目 录

原子核动力工程五周年·····	(1085)
輸送鈉及鈉鉀合金用的泵的若干結構和操作·····	(1091)
圓柱形孔道对中子扩散的影响·····	(1097)
用物理模拟法确定临界質量和中子通量分布·····	(1108)
UBe ₁₃ 的生成热 ·····	(1113)
Am (VI) 及 Am (V) 的輻射还原·····	(1117)
鈾的矿物学特征·····	(1128)
具有径向行波磁場的迴旋加速器·····	(1137)

簡 报

在“箭牌”快速电子計算机上作原子电站反应堆的多羣計算 ·····	(1144)
輻照对于純鉄体磁性的影响 ·····	(1146)
α 鈾的热膨胀 ·····	(1148)
Am (IV) 的歧化作用 ·····	(1150)
Po- α -O 源的中子譜 ·····	(1152)
离子在液体內的空間分布 ·····	(1154)
联合原子核研究所同步迴旋加速器大厅內尘埃的放射性 ·····	(1157)

科 技 新 聞

苏联科学家执行苏联共产党第廿一次党代会決議 ·····	(1159)
第九次全苏原子核能譜学会議 ·····	(1159)
烏拉尔工学院工程物理系 ·····	(1161)
拉脫維亞的研究性反应堆 ·····	(1162)
加拿大原子动力技术的发展 ·····	(1163)
由于未控制临界質量的形成而造成的不幸事故 ·····	(1165)
高能电子同步加速器 ·····	(1167)
东京一所培养从事放射性同位素工作的实验員的学校 ·····	(1169)
簡訊 ·····	(1169)

新 书 介 紹

最新文献 ·····	(1173)
苏联“原子能”杂志 7 卷 5 期預告目录 ·····	(封三)

原子核动力工程五周年

多列扎尔 (Н. А. Доллежалъ)

克拉辛 (А. К. Красин)

1954年6月27日,在科学技术方面发生了一件重大的事件,那就是建在莫斯科近郊(奥勃宁斯克城)的世界上第一座原子能发电站投入运行,向电力网输送了电流。虽则仅仅从一台汽轮发电机所发出的电力并不大(5000瓩),然而第一座原子能发电站具有规模齐全的巨型电站的全部特点。这就可以化费较少的资金来建造一个电站,从中取得运行经验,并在顺利运行的情况下将这些经验推广到更大的同类型电站上去。

对原子核动力工程说来,假定以苏联原子能发电站的启动作为原子核动力工程的开端,则原子能动力的增长异常迅速(图1)。这种猛烈的增长将继续不息,因为不少的大型原子能发电站已处于建造的完成阶段。原子核动力工程的成绩是显著的,巨大的。

但是当第一座原子能发电站开动以前,特别是设计之初,不仅在发展原子核动力的技术性途径方面没有肯定的意见,而且还经常听到关于是否可能作为国民经济的一部门来发展原子核动力的怀疑论调。

原子能发电站的启动和五年来的运行事实,根本上改变了这些看法。首先,电站的启动具有重大的社会意义(这是大家所公认的),因为开始明确,原子能并非只能用于战争,而完全可以用于造福人类。其次,电站五年的运行,具有伟大的技术意义,因为运行的结果肯定了动力反应堆方案中的这一种型式是可行的,而甚至在电站启动以后,还曾有对这种反应堆是否有前途发表过不同的意见。

五年以来,曾提出了,并部分试验了很多种不同结构和采用不同材料的动力反应堆的方案。这就有可能进行广泛研究那一种科学技术探索的领域在今后原子核动力的发展方面是主导的方向。

电站的运转不仅可以认为电站是解决动力利用原子能问题方案的一种途径,而且从电站的运行经验也作出了可靠的结论。

从很多已公布的有关原子能发电站装置和运行方面的文献^[1-6]中表明,在电站建造时所提出的任务已经完成。这些积累起来的经验对解决有关设计同类型反应堆的大型原子能发电站的问题是非常宝贵的。

根据反应堆五年的运行经验,可以作出几点非常重要的结论,下面来谈谈这些结论。

原子能发电站正如普通的热电站一样,提高效率是合算的。要想提高石墨减速剂反应堆

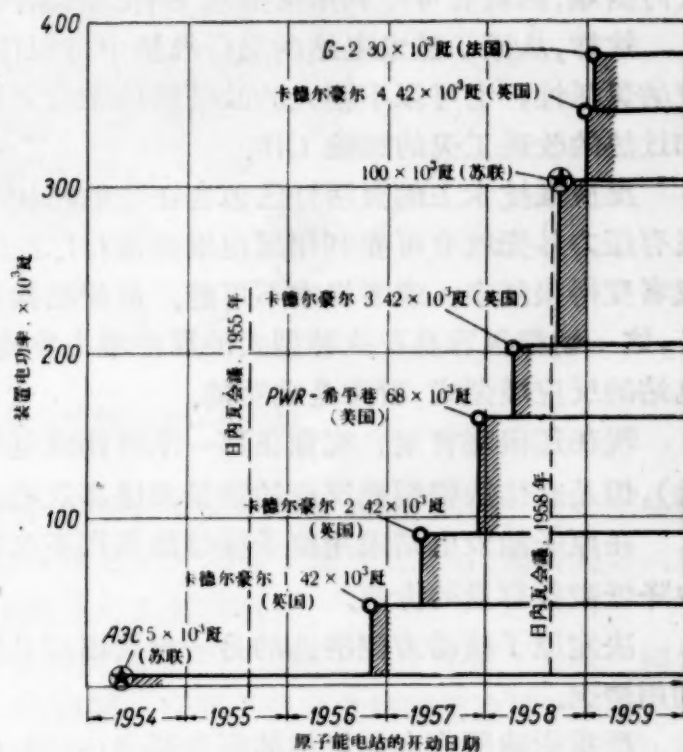


图1 五年中最大的原子能发电站装置功率的增长

中的蒸汽参数,就不可避免地使石墨温度很高。反应堆的石墨温度在 $700-750^{\circ}\text{C}$ 而长期可靠运行的經驗說明,石墨作減速剂的反应堆中載热剂有可能达到高温。这一結論,在后来的烏拉尔原子能发电站的反应堆設計中,以及最近国外的石墨減速剂反应堆的設計中,如英国反应堆“絕頂”^[7]、AGR^[8] 和美国反应堆 GCR-2^[9] 都得到了应用。

繼續不懈地提高反应堆載热剂出口的温度是现代反应堆建造中明确的趋势。提高电站的效率,亦即首先力图提高蒸汽的温度和压力,以达到能应用于现代汽輪机的数值,可以导致降低設備容量的价值,即改善电站的經濟性。第一座原子能发电站的石墨在上述温度下安全可靠的工作情况,使得在烏拉尔电站反应堆的設計中有可能考虑获得适合于供給现代汽輪机的蒸汽。烏拉尔电站反应堆中,采用原子核过热蒸汽是这一反应堆的特点,它的效率值远比其他已知型式的反应堆高。

在反应堆中水的沸騰和蒸汽过热的可能性,曾在第一座原子能发电站的反应堆上进行了專門的試驗并加以証实^[4]。同时也曾进行过重要的試驗来研究和調練所建造的烏拉尔原子能发电站的过渡工况。

在反应堆中得到过热蒸汽,必須在反应堆启动过程中从冷的状态改变工艺管(作过热蒸汽用的)的冷却方式,即从水的冷却轉为蒸汽的冷却。在反应堆停熄时,也产生同样的問題,此时則应从蒸汽的冷却改变为水的冷却。經驗証明,过渡工况完全可以实现,这种系統的运行沒有任何困难,这就有可能利用反应堆上有过热蒸汽的原子能发电站各种不同的方案。

这样,从原子能发电站的运行总结中可以作出如下結論:反应堆的結構在技术上显示了高度的灵活性,它可以不經大的改装就能完成大量的有关使反应堆活性区中的載热剂轉向沸騰和过热的改进工况的試驗工作。

反应堆技术上的灵活性已包含在它的結構思想中,即采用单根分別导引載热剂的工艺管。沒有压力外壳就有可能利用反应堆来进行广泛的試驗,而在压力壳式的反应堆上要进行試驗或者变得很复杂,或者根本不可能。放置結構材料的样品,为研究释热元件和工况的回路設備,这一切都很容易在这种型式的反应堆上实现。所以,在这方面說来,选择第一座原子能发电站的反应堆型式,看来是成功的。

现在还很难肯定,究竟在那一范围构成电站的經濟性最为良好(与蒸汽的压力和温度有关),但是直接依賴裂变反应的热量来提高这些参数的远景是非常灿烂的。

在原子能发电站采用原子核过热蒸汽不仅可以降低每瓩小时电能的价格,而且(很重要)也降低設備容量的价值。

决定原子核动力經濟性的另一重要因素是装载燃料和新生燃料的利用情况,以及中子的利用情况。

严重影响所产电能价格的还有原子核燃料的燃耗深度,即一个工作周期之間所烧去 U^{235} 的数量与 U^{235} 初始数量之比。燃料的燃耗深度(特別在浓集鈾的反应堆內)在一定限度內可用从装载鈾的单位重量所导走的热量來說明。燃耗深度愈大,在反应堆中所进行更换释热元件的次数愈少,則組成电能单位价格的某些部分愈低,因其中包括有制造工艺管(包括释热元件)的費用、从反应堆取出的燃料进行化学处理的費用等等。

是否能实现深的燃耗,取决于处在腐蝕、輻照、温度、負荷等作用下的释热元件的稳定性。在第一座原子能发电站的反应堆中有些工作着的工艺管从第一次装入后沒有更換过,即已工作了五年。反应堆最初計算希望达到单位重量燃料产生能量为 ~ 1000 万瓩天/吨的燃耗深度。但工作經驗表明,释热元件保持了良好的工作性能,因而大大超过了原来单位重量燃料产生的能量。誠如在若干进行了專門研究的元件中,得到了单位重量燃料产生的能量达 3000 万瓩

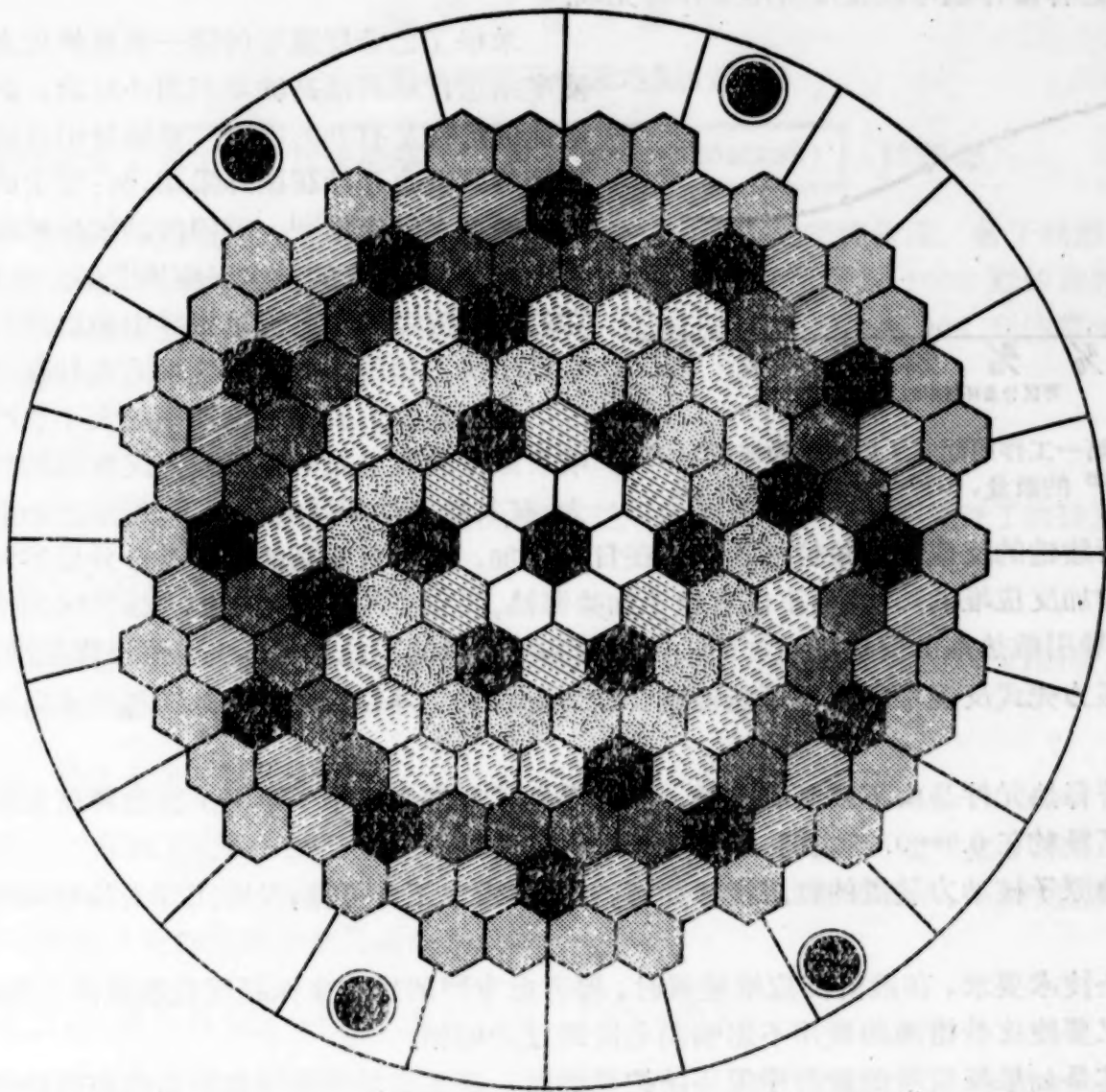


图2 反应堆在局部更新工艺管时的环状区域

天/吨。这就可能可靠地在同类型反应堆中对燃料获得更充分的有效利用。因此,从电站的运行经验又可得出一条结论,即:在进行设计类似反应堆的大型原子能发电站时,因所采用的释热元件的型式有高度的稳定性,可以指望达到足够良好的经济性。

燃耗深度在很大程度上与什么时候和怎样更换反应堆中的工作工艺管有关。大家已经知道,反应堆中在不同点的燃耗深度是不均衡的,如将第一座原子能发电站的反应堆活性区(如图2所示)划分为七个环状区域^[3],则在第一工作周期完了时,放置在不同环区的工艺管中的燃耗深度是不同的,它示于图3。从曲线中见到,位于外围的大部分管道中,烧掉的 U^{235} 远比中央管道中的要少,即铀的利用并不充分,而管道没有达到设计的发热量。为了均衡和提高第一原子能发电站燃料的燃耗,曾进行了研究,并顺利地采用了工艺管局部更新的办法^[6],即将外围的工艺管搬到中央区域,而外围区域装上新的工艺管。这种方法证明了可以使燃料达到高的燃耗深度,因之增加了电站的经济性。这种燃料的利用法在国外的若干原子能发电站设计中^[13]也已考虑采用,而且毫无疑问,将来更会广泛采用。

为了用局部更新法加深 U^{235} 的燃耗,使经济上合算,必须使所建造的反应堆的结构,有可能进行来回装卸而毋需长时间停堆。在第一座原子能发电站的反应堆中,每根工作的工艺管的独立性保证了这一点,它可以很容易抽出和更换任一工艺管,而与其他工艺管没有关系。原

則上講,这种操作也可以在反应堆工作时完成。

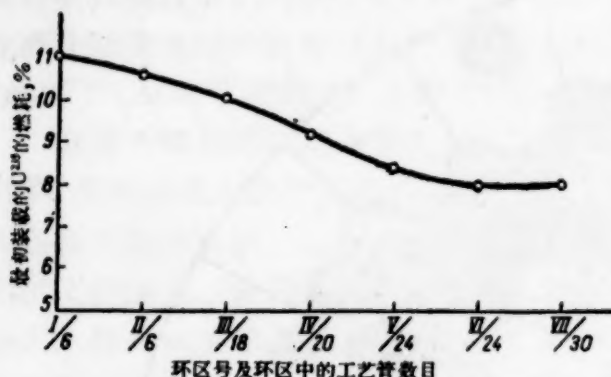


图3 第一工作周期完了后反应堆按径向烧去 U^{235} 的数量, U^{235} 的初始含量为 5%

愈廉。所建造的反应堆的单位热功率正在日益增加,这种可看到的趋势是十分显然和可以理解的。增加反应堆的热功率,不仅有賴于加强释热,而主要的还有賴于扩大活性区的尺寸。因此,单根导引载热剂的反应堆增加活性区尺寸和热功率的可能性实际上是沒有限制的,在此情况下,压力壳式反应堆的这种可能性就会被为制取坚实外壳这一复杂的工程技术問題所局限了。

尽管释热元件是由不銹鋼制成的,然而得到了非常好的中子平衡。在这种反应堆中的燃料再生系数約在 0.5—0.65 之間,即不亚于水水反应堆。

无论原子核动力装置的經濟指标如何,首先要求它工作可靠,及对工作人員和周围居民的安全。

安全技术要求,在設計反应堆装置时,要考虑专门的措施来保証反应堆装置工作的安全,但同时又要使这些措施的费用不影响到电价的过分增加。

尤其是如果反应堆的設计中采用防护壳的話,則不小的一部分投資将化在防护壳上。在第一座原子能发电站、以及在烏拉尔电站的設计中,都沒有采用防护壳。这并不是偶然的,因为反应堆按工艺管单根导引载热剂的原理保証了反应堆的防爆性。如果在压力壳式反应堆中势能集中在大的外壳的整个体积內,当事故情况下,势能可以突然超出很大数值,而在单根工艺管的反应堆中这种事故是不可能发生的。第一座原子能发电站可靠运行的五年經驗,是这种型式反应堆有利于安全的重要論据,并証明它們采用防护壳是不恰当的。試驗工作的經驗說明,当释热元件破損的情况下,无论是电站厂房內部或周围地区都不会产生放射性沾染的危险。

第一座原子能发电站的整个运行过程說明了:对这种类型反应堆为保証运行工作人員或周围居民点居民良好的放射-生物的环境,并不需要过多的費用,也沒有造成工程技术上有很大的困难。

第一座原子能发电站的运行培养了一支运行的干部队伍。电站得以順利的工作,在很大程度上是与格里高梁茨 (А. Н. Григорьянц), 烏沙科夫 (Г. Н. Ушаков), 柯切特科夫 (Л. А. Кочетков), 雷特金 (В. Т. Лыткин) 等领导电站的运行分不开的。

由此,正值紀念世界上第一座原子能发电站开工生产五周年之际,不能不承認,它在原子核动力的发展方面起了重要的社会和技术作用,它已成为各类动力反应堆的鼻祖,

*

*

*

单根工艺管反应堆的这一重要的优点,可以使电站运行达到很高的年利用小时数,这对生产电能的价格是有利的因素。单根导引载热剂到工艺管的原理也开始在国外采用,如:瑞士的有机载热剂的重水反应堆^[14],美国的鈉载热剂的改进型反应堆^[15],加拿大的重水反应堆^[16]等。这样說来,非均匀反应堆按工艺管单根导引载热剂的结构方案已爭得了与压力壳式反应堆方案并存的权利。

众所周知,设备单位功率的大小也严重地影响着原子能发电站的經濟性。反应堆的热功率愈大,在其他条件相同的情况下,所生产的电能价格

参观者留言册上

关于第一座原子能发电站的题词

苏联科学院院士 **克尔瑞然諾夫斯基 (Г. М. Кржижановский)** (1956年):

“每一种新形式能量的实际应用都标志着人类前进道路上的宏伟阶段。善于利用原子核内的巨大能量是科学技术领域内新的卓越事件。在我国建造的功率为 5000 瓩的世界上第一座原子能发电站成了世界各国利用原子能的榜样。功率为 50,000 和 100,000 瓩的原子能发电站开始发电的日子已是为期不远了……。”

印度总理 **尼赫鲁 (1955年):**

“我非常高兴参观这座发电站,并被它所迷恋。这一次使我看到了已经展开了的远景……。”

印度尼西亚共和国总统 **苏加诺 (1956年):**

“人类的智慧是无止境的。一直在不断地发展着。这座发电站的访问使我们确信,人类应当发展自己的知识,以达到更高的生活水平……。”

美国、英国、瑞典大使 (1955年):

“苏联科学家和工程师们由于首次和平利用原子能,而在全人类面前建立了难忘的功绩。这座原子能发电站是苏联科学的巨大成就和苏维埃社会的深厚仁慈的标志。我们祝苏联科学家在实际利用原子能的道路上获得崭新的成就……。”

周培源、胡济民、蒋南翔教授, 中华人民共和国 (1955年):

“我们非常高兴有机会访问原子能发电站。世界上第一座原子能发电站的建造是苏联科学的胜利,是社会主义制度的胜利。

这种为社会主义建设服务为准绳的科学和技术的结合,是中国人民的光辉榜样。我们期望,在伟大苏联人民崇高的国际主义帮助下,依靠我们的努力,我们必将能使自己置身于和平利用原子能的事业,为社会主义建设,为和平利益服务。”

前英国利用原子能设计委员会委员 **李仲 (С. Г. Ризон)** (1955年):

“我非常感谢,有此机会能看到由苏联学者在和平利用原子能方面所作出的成绩。曾担任过英国利用原子能设计委员会委员的我,深深知道,为了利用这种新的能源,需要解决许多形形色色的难题,在苏联已经解决了这些难题,给了我深刻的印象……。”

莱比锡大学教授 **古斯塔夫·盖尔茨 (Густав Герц)**, 德意志民主共和国 (1956年):

“我已多次听说和阅读了关于原子能发电站的消息,但在这里见到的一切,都超过了我所想象的……。”

坎特伯利教堂大主教 **赫尤列特·约翰逊 (Хьюлет Джонсон)** (1956年):

“我对科学和技术感兴趣已有四十多年之久。我曾幻想过建造一座这样的发电站。我曾

深信,社会主义国家会第一个获得原子能的支配权,而且知道,它将为和平利用。我很高兴,活到了能亲眼看见原子能发电站的时代,并向发电站的全体建造者和发电站的全体职工致以深深的敬意……”。

譯自 Атомная энергия том 7 (1959) вып. 1, 5—10.

参 考 文 献

- [1] Д. И. Блохинцев, Н. А. Николаев: Реакторостроение и теория реакторов. Доклады советской делегации на Международной конференции по мирному использованию атомной энергии (Женева, 1955). Изд-во АН СССР, 1955, стр. 3.
- [2] Д. И. Блохинцев, Н. А. Доллежалъ, А. К. Красин: *Атомная энергия*, № 1, 10 (1956).
- [3] Н. А. Доллежалъ, А. К. Красин, Н. А. Николаев, А. Н. Григорьянц, Г. Н. Ушаков: Тр. Второй международной конференции по мирному использованию атомной энергии (Женева, 1958). Т. 2-Ядерные реакторы и ядерная энергетика. Атомиздат, 1959, стр. 15.
- [4] Н. А. Доллежалъ и др: Там же, стр. 36.
- [5] Н. А. Доллежалъ: *Атомная энергия*, III, № 11, 391 (1957).
- [6] А. Н. Григорьянц: *Атомная энергия*, II, № 2, 109 (1957).
- [7] K. Mitchell, R. Geary: The High Temperature Energy Reactor "Zenith". Доклад № 1463, представленный Англией на Вторую международную конференцию по мирному использованию атомной энергии (Женева, 1958).
- [8] R. Moore, H. Kronberger, L. Grainger: Advances in the Design of Gas-Cooled Graphite-Moderated Power Reactors. Доклад № 312, представленный Англией на Вторую международную конференцию по мирному использованию атомной энергии (Женева, 1958).
- [9] R. Charpie, M. Bender, A. Fraas, W. Furgerson, W. Jordan, W. Manli, R. Meghreblian, A. Perry, R. Schultheiss: Design Study for a Graphite-Moderated Gas-Cooled Reactor Using Partially Enriched Uranium. Доклад № 950, представленный США на Вторую международную конференцию по мирному использованию атомной энергии (Женева, 1958).
- [10] *Атомная техника за рубежом*, № 3, 85 (1959).
- [11] Nuclear Reactor Plant Data. ASME, 1958.
- [12] *Nucleonics*, 17, No. 3, 63 (1959).
- [13] W. Zinn, J. West, G. Tavernier: A 125-MW Indirect Cycle Boiling Water Reactor. Доклад № 1801, представленный Англией на Вторую международную конференцию по мирному использованию атомной энергии (Женева, 1958).
- [14] W. Hålg: Th. Schaub. Diphenyl Cooled, Heavy Water Moderated, Natural Uranium Reactor Prototype. Доклад № 259, представленный Швейцарией на Вторую международную конференцию по мирному использованию атомной энергии (Женева, 1958).
- [15] S. Levy, B. Voorhees, P. Aline, K. Cohen: Advanced Design of a Thermal Sodium Cooled Reactor for Power Production. Доклад № 604, представленный США на Вторую конференцию по мирному использованию атомной энергии (Женева, 1958).
- [16] H. Smith, W. Walker, N. Williams, E. Critoph: A Study of a Full-Scale Uranium and Heavy Water Nuclear Power Plant. Доклад № 208, представленный Канадой на Вторую международную конференцию по мирному использованию атомной энергии (Женева, 1958).

輸送鈉及鈉鉀合金用的泵的若干結構和操作

基里洛夫 (П. Л. Кириллов)

庫茲涅佐夫 (В. А. Кузнецов)

圖爾琴 (Н. М. Турчин)

費多謝也夫 (Ю. М. Федосеев)

在本文中敘述了輸送鈉及鈉鉀合金用的离心泵和电磁泵的結構、實驗結果以及操作經驗。这些泵在最近两年来被利用在實驗的和半工业的裝置中。

当設計用液态金属(鈉、鈉鉀合金)冷却的反应堆时,碰到了輸送液态金属这一重要問題。曾被用来輸送水和石油产品等的泵是不能在这里使用的,这是因为这些泵不能保証完全密封,当金属温度为 300—500°C 时不能保証正常运行。

在离心泵中,可以用四种办法来保証其密封性: 1) 在軸的周围造成摩擦密封; 2) 把所有轉动部分(軸、轉子)密封起来; 3) 把整个电动机都封在罩里; 4) 用凝結鈉在軸的周围建立密封。

第一个方案是复杂的, 目前尚未妥善解决。第二个方案實質上就是需要制造一种特殊的电动机。因此我們就选择了后两种方法, 因为在實驗室条件下这两种方案是容易實現的。

目前, 当温度小于 400°C 时, 离心泵的運轉已經不引起任何困难^[1-4]。并且制成了能够在温度为 550—600°C 下工作的泵。

液态金属的高导电性使我們能制造新型的泵, 在这种泵中液体压头是由电磁力产生的。电磁泵的应用簡化了迴路密封的任务。这种泵的主要缺点是效率低, 大約比根据同样参数設計的离心泵要低一半。然而, 对于實驗裝置来講这个情况沒有严重妨碍。电磁泵在實驗室中获得較多的应用, 这是因为它們沒有轉动部分, 在制造上和使用上都比离心泵簡單。

对于大型裝置泵型的选择問題(离心的或者电磁的)还远未解决。只有根据大量的各种类型的泵的运行經驗, 才可以对某种結構的优越性作出正确的結論。

离 心 泵

离心泵的簡图示于图 1。当 990 轉/分时, 泵能保証的压头可达 23 米的被輸液体柱高, 而当 1450 轉/分时, 压头为 55 米。在 990 轉/分时泵的輸液量不超过 10 米³/小时。装入式异步电动机 2 的功率为 10 瓩。在直径为 415 毫米的工作輪 1 上有 14 个叶片。为了消除軸向力, 在工作輪的輪轂上开了七个直径为 8 毫米的小孔。电动机与工作輪装在同一个軸上。軸有三个支承: 上支承是两个径向止推滾珠軸承 3, 中支承为一个径向滾珠軸承 4, 下支承是滑动軸承 5, 为了使潤滑脂不致落入液态金属中, 将軸做成阶状, 并且在其低于中部軸承的位置上固定上一个保护帽罩 7。滑动軸承的潤滑是用被輸送的液体来进行的。軸承套是用牌号为 РФ-1 的高速切削鋼制造的, 而軸瓦 6 則是用牌号为 Бр. Б2 的鈹青銅做成, 鈹青銅中含有 2% 的鈹。密封环 8 也是用这种青銅制造的。在冷状态下軸承套和軸瓦之間的縫隙是 0.2—0.25 毫米。泵的

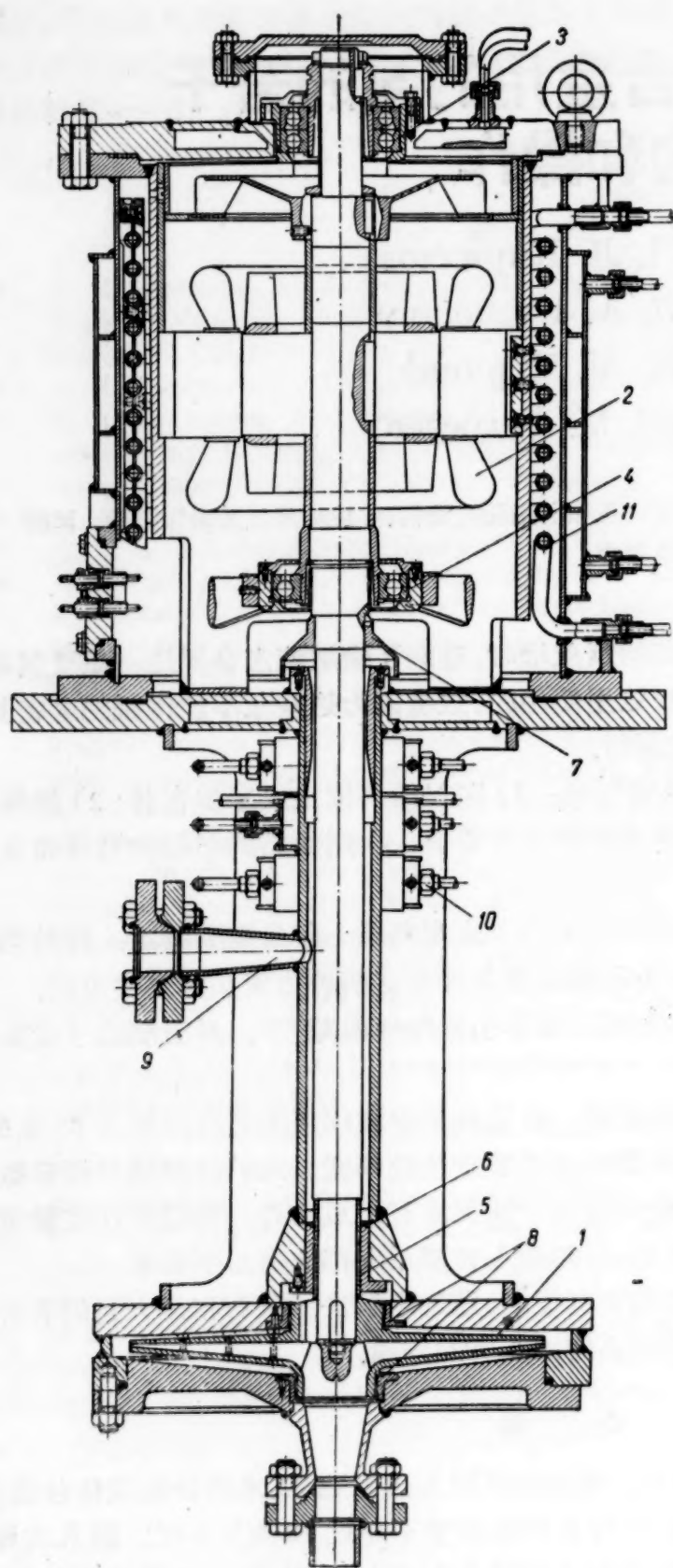


图1 带青铜轴承和装入式电动机的离心泵

1—工作轮； 2—异步电动机； 3—径向止推滚珠轴承；
4—径向滚珠轴承； 5—滑动轴承套； 6—轴瓦； 7—防
护帽罩； 8—密封环； 9—流失排出口； 10—冷却室；
11—蛇形管。

剧降低，轴承的使用期限减少到几十个小时。曾试图采用其他的金属对来制造浸没在钠中轴承(钢 PΦ-1——铸铁, 钢 PΦ-1—ЭИ-220), 但毫无结果。用 PΦ-1 钢做轴承套, 用青铜 Бр. Б2

所有其他另件都是用不锈钢 1X18H9T 制造的。

流经上密封环的金属, 沿轴上升并通过专门的孔 9 被引入泵槽中去。在高于这个孔的位置上从外面装上几个可更换的冷却室 10。电动机用充于其空腔中的惰性气体来冷却。在空腔中还装有蛇形管 11, 水可以通过蛇形管循环。曾查明, 在泵工作时没有必要开动蛇形管冷却, 因为在外夹套中循环的水就可保证电动机的充分冷却了。借助于“球-圆锥”型可拆卸联接使泵与管道相接。泵的外壳系用镍制衬垫来密封。

最初用泵输水作试验, 在这种情况下测定了其特性。在 990 转/分及液体流量为 6.5 米³/小时的情况下, 泵的效率等于 40%。然后泵又在温度由 200℃ 到 400℃ 情况下用钠钾合金工作了 2000 小时。在 1500 小时之后曾更换了下轴承的轴瓦, 这是因为其单面磨损达 2 毫米之多。

此种泵结构最主要的缺点是拆卸困难(更换轴承, 拆卸外罩等)和笨重。在图 2 上绘出了另一种离心泵的简图, 其结构比前一种泵更紧凑和简单。

为了和前述泵的参数相同的条件下将泵做的更为紧凑, 曾选择了转速为 2900 转/分的电动机 2。为了密封起见, 电动机用以水冷却的外罩封闭起来。外壳下面惰性气体的循环是靠电动机上电风扇来实现。为了冷却曾向下底板供水。直径为 164 毫米的工作轮 1 固定在轴上, 轴有两个支承——上支承 4 和下支承 5。沿轴流动的金属保证了下轴承的润滑并且流到泵槽中去。根据主回路阻力的大小, 金属沿轴的流量可能为 50 到 200 升/小时。

泵在温度达 450℃ 下进行了实验。发现由于在这样温度下铍青铜的硬度急剧降低,

做軸瓦得到了最好的結果。用實驗的方法所測定的軸承套和軸瓦間的縫隙大小是 0.12—0.15 毫米。當縫隙過小時軸承會卡住，當過大時則會縮短其使用期限。所有失去工作能力的軸承都有相當大的（達 5 毫米）單面磨損。

在金屬溫度為 200℃ 左右時，泵在鈉-鉀合金裝置上運轉了 2000 小時，在鈉裝置上運轉了 7000 小時。

在此類泵運轉過程中發現在電動機空腔內產生鈉蒸汽並且此蒸汽冷凝在空腔的內表面及電動機的繞組上。鈉蒸汽被氧化，並且在繞組上出現了一層氧化鈉薄膜。當潮氣落到繞組上的時候就形成能侵蝕絕緣的氫氧化物，這樣，繞組就損壞了。

當工作溫度提高時，浸沒在液態金屬中的軸承就成為所有上述各種泵的最薄弱環節。曾以各種參數研究了帶有凍結鈉軸承的若干泵的結構。其中之一的簡圖繪於圖 3。該泵可保證 100 米液柱高的壓頭，輸液量可達 25 米³/小時。電動機是 2960 轉/分。電動機的功率是 14 瓩。軸共有兩個支承：兩個徑向止推軸承 4，和兩個徑向軸承 5。凍結鈉軸承 6 實質上就是第三個支承。在此軸承區段內在壳体上壓入兩個冷卻室。因此，在冷卻劑和凍結鈉之間有着兩層金屬壁，這就有可能用水來做為冷卻劑。由鈉形成的軸承是會被磨損的，同時特別重要的是在任何實際溫度下都可以持久。凍結鈉同時又可以使軸可靠的密封。

在冷卻室內的熱交換是非常難計算的，因為很難算出由蝸壳向上传來的熱流，並且也難於計算冷卻室的複雜外形。此泵的主要缺點是當溫度發生迅速的變化時外壳的密封處有損漏，這是因為當

迅速的加熱外壳時，雙頭螺栓 8 要比鑲墊圈 7 熱得更快些，所以其密封性減弱，並且產生損漏。漏到空氣中來的金屬將變成氫氧化物，此氫氧化物會很快的腐蝕泵的外壳。由於這個原因，採用了焊接來代替可拆卸式的密封。泵的啟動只能在凍結鈉預熱之後才可進行。當啟動時，首

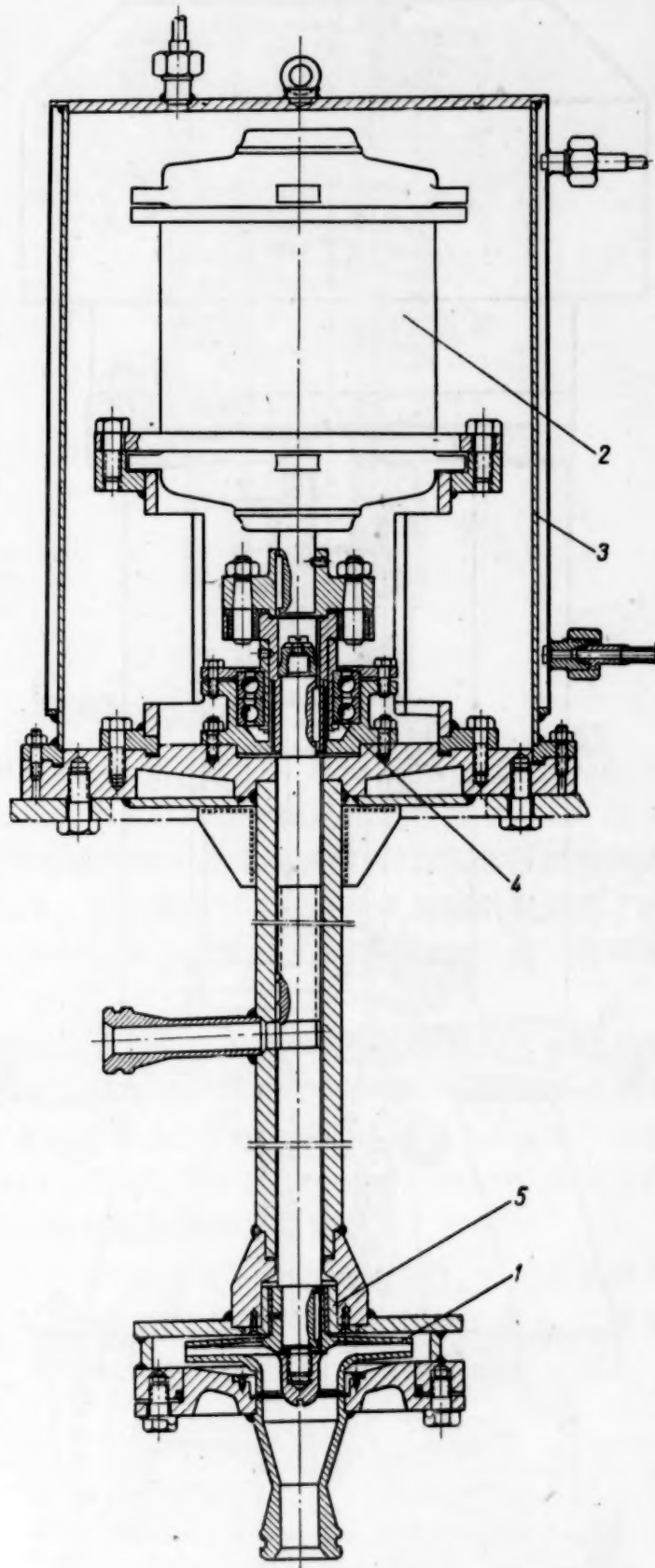


圖 2 帶青銅軸承和普通電動機的離心泵

1——工作輪； 2——電動機； 3——外罩； 4——徑向止推軸承； 5——滑動軸承。

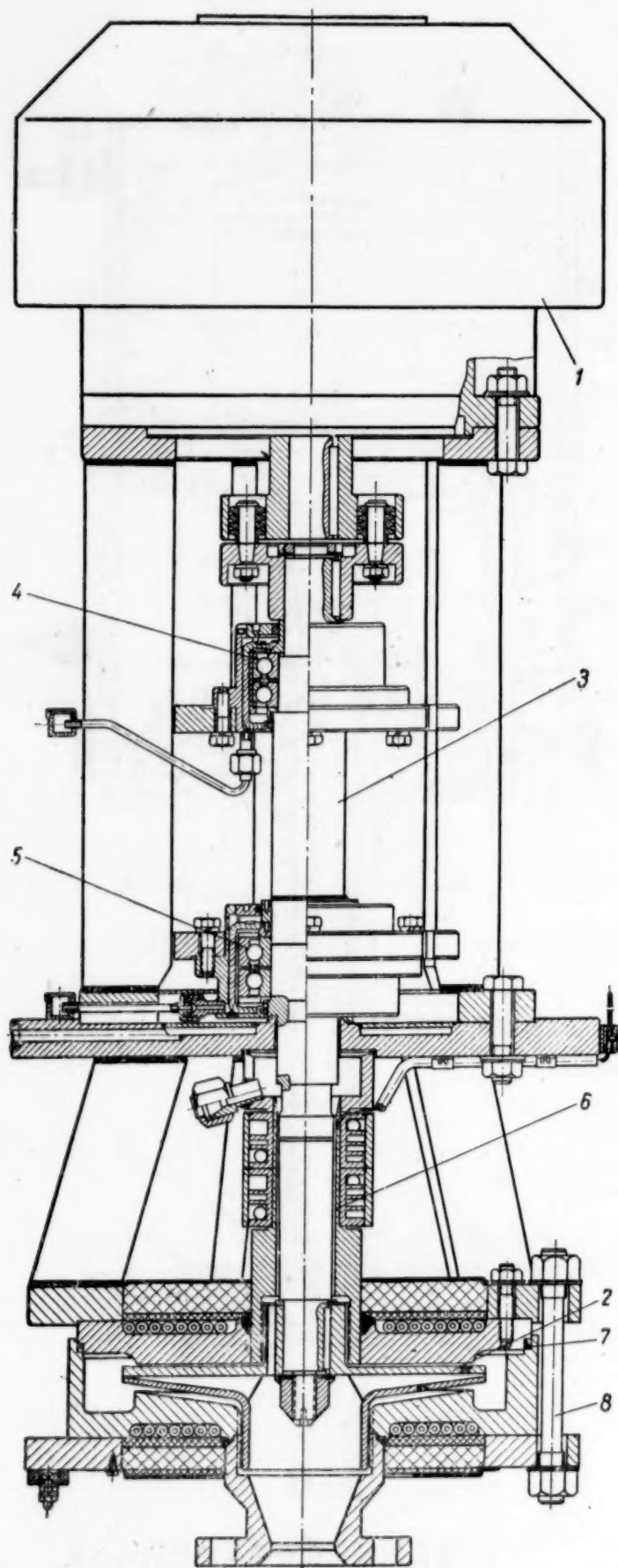


图3 带冻结钠轴承的离心泵

1—电动机；2—工作轮；3—轴；4—径向止推轴承；
5—径向轴承；6—冻结钠轴承；7—垫圈；8—双头螺栓。

2 公斤/厘米²时能保证液体流量达 4 米³/小时。由电工钢 3-42 做成的导磁体是供电变压器和

先开动冷却系统，然后开动泵的电动机。如果延误了电动机的启动，就会使轴卡在冻结密封中，则需重新加热。假如冷却系统比泵本身开动得迟，那么液态钠就会经过空隙流出来。通常在最初瞬间电动机的负载要比正常运转时大些。看来，这是由于在工作之初冻结密封中的液态金属较脏之故。在一昼夜中漏出的钠量为 1—2 克。

曾对三个带冻结密封的泵做了实验。其中类似于上述泵的两个泵都在温度为 400—500℃ 下工作过约 2000 个小时，并且还在继续工作。这两个泵的密封图示于图 4。第三个泵是在这两个泵之前作试验的，其结构较不完善。用水在其中冷却是很危险的，因此曾用钠钾合金来进行冷却。合金是用电磁泵来输送使其流经冷却室的，而在进入冷却室之前在热交换器中被冷却。该泵曾在平均温度为 400—500℃ 下工作过 5000 小时以上。

在这里我们不再列举用钠或合金作试验时所得到的泵的“压头-流量”特性值，因为它们同用水所得到的特性值相符。根据上述各泵的运转经验可以作出结论如下：对于输送钠来讲，带冻结钠轴承的泵是最简单和最可靠的泵的一种。

电 磁 泵

在目前大家所知道的电磁泵的许多类型中^[1,5-7]最便于作实验工作的是交流传导泵。对此类泵不需要象对直流传导泵那样安装专门的供电机组。此外，它们较易承受得住 400—600℃ 的高温，而在这种温度下由于缺乏足够的电绝缘，感应泵实际上是不能使用的。

单相交流传导泵（图 5）在电压为 220 伏下需要电流 30 安，并且当压头为

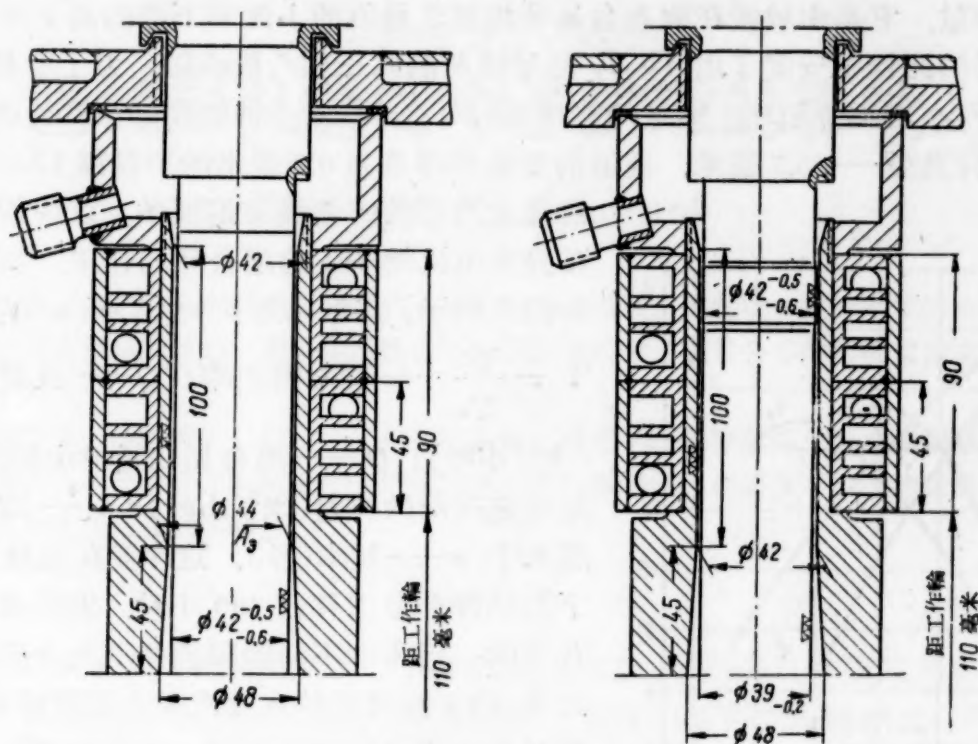


图 4 冻结鈉密封結構簡图

泵的公用导磁体。对于由两个綫圈組成的原繞組,采用了截面为 4.55 毫米²的矩形导綫,牌号为 ПСД, 在每个綫圈中有 130 圈。泵的繞組和变压器的副繞組是用直径为 20 × 5 毫米的銅管做成的一个整体。管用水冷却,这就有可能获得更大的电流密度,并且可将繞組做得更紧凑些。副繞組的汇流排被引到工作段的电极上,該电极是两个彼此依次联接的被压扁了的薄壁管。这种工作段的結構有可能使泵的压头几乎增加一倍,并可以抵消电枢反应。管壁厚度为 0.5 毫米,工作段管子的材料是不銹鋼 1X18H9T。

公共导磁体的应用、工作段的重合、在繞組中电流密度的提高等等都使得有可能把泵制造得非常紧凑。有几个这样的泵曾在不同的装置上工作过。其中之一在 450℃ 温度下用鈉工作过 250 小时,另一个在平均温度为 250℃ 下用鈉鉀合金工作过 2500 小时以上,第三个在温度为 40—50℃ 下用鈉鉀合金工作过 3500 小时以上,第四个在温度为 300—400℃ 下用鈉工作过 1000 小时。这些泵的运轉經驗表明,它們的保养是简单的并且是可靠的。

只有当液体流量不大时(小于 10 米³/小时)应用交流传导泵才是合理的。在較大的液体流量情况下,应用带有移动磁場的感应型泵更为合理。这种类型泵中的一种繪于图 6,該泵曾用

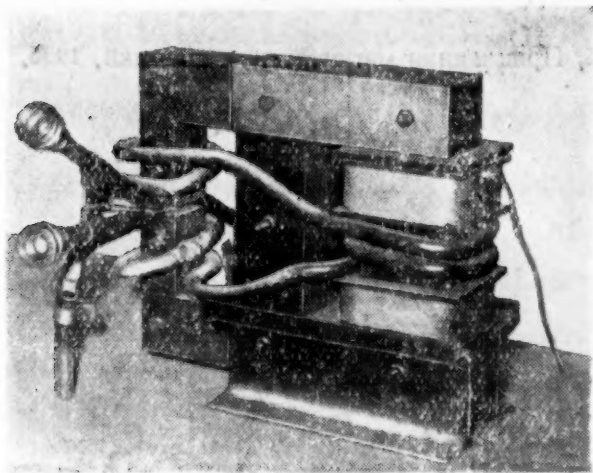


图 5 传导式单相电磁泵

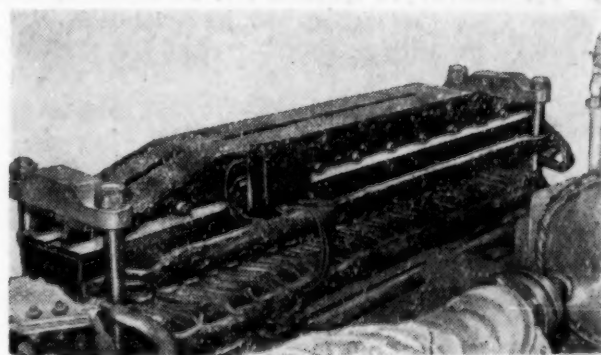


图 6 感应电磁泵

鈉鉀合金工作过。它是由放置在液态金属所流经之通道的上面和下面的两个平板感应器所组成。在感应器的凹槽中安置了由 ПСД 号导线所制成三相八极绕组。为了冷却绕组，在凹槽中装置了铜管，水沿铜管循环。通道的宽度是150毫米，对一种类型的泵其通道高度是6.1毫米，而对另一种类型——8.7毫米。通道的壁是用厚度为0.8毫米的不锈钢 1X18H9T 做成的。

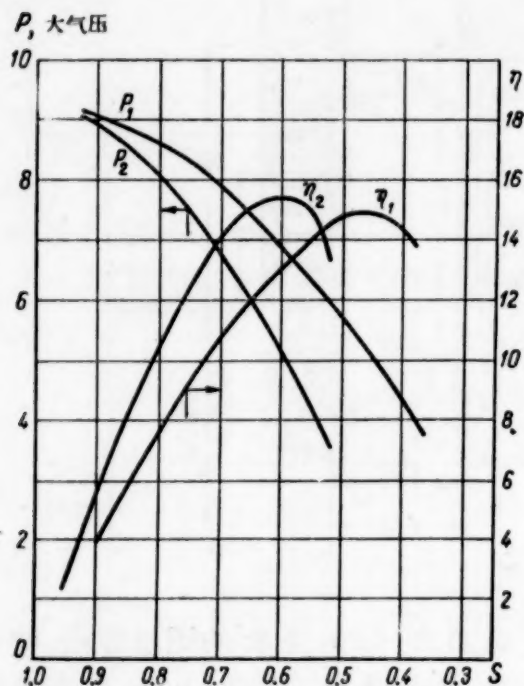


图7 感应泵的特性曲线

沿通道内部的四侧镶有铜板条，这些铜板条起着如同在异步电机转子上的闭合环的作用。泵的特性曲线如图7所示，其坐标为 $p=f_1(S)$ 和 $\eta=f_2(S)$ ，式中 $S=$

$1 - \frac{Q}{Q_c}$ ——相对转差率； Q ——通过泵的液体流量

(米³/小时)； Q_c ——当金属在通道中的流速等于磁场运动速度时的流量(米³/小时)； p ——液体压头(公斤/厘米²)； η ——效率(%)。这个泵在温度为150—200℃下用鈉鉀合金工作过300小时，发现冷却系统是不太合适的，因为它不能保证绕组有充分有效的热防护。此外，由于空气里的水蒸汽被冷凝而使绕组潮湿，曾产生过两次绝缘物的电击穿。对泵的结构进行某些改进之后可以将其利用在要求流量达30米³/小时温度为200—300℃的实验室装置中。

最后作者认为必须指出，由斯科拉得涅夫(Г. В. Складнев)、洛斯托弗采夫(В. Д. Ростовцев)所领导的

的设计集体在建造液态金属离心泵中做了很大的贡献。图1所示的泵就是由这个集体设计成的。图2上所绘的泵的草图是在依凡诺夫斯基(М. Н. Ивановский)领导下设计的。交流传导泵是在图尔琴指导下设计成的。带移动式磁场的感应泵的设计和制造是由特尤金(И. А. Тютин)所领导的工作集体完成的。

平敏译自 Атомная энергия том 7 (1959) вып. 1, 11—17.

参 考 文 献

- [1] Жидкометаллические теплоносители. Перевод под ред. А. Е. Шейндлина. Изд-во иностр. лит., 1958.
- [2] H. Savage: *Engng Progr., Symp. Ser.*, 50, No. 13, 171 (1954).
- [3] P. Fortescue: *J. Nucl. Energy*, 1, No. 1, 5 (1954).
- [4] *Вопросы ядерной энергетики*, № 3, 40 (1957).
- [5] D. Watt: *Engineering*, 181, 264 (1956).
- [6] *Вопросы ядерной энергетики*, № 5, 42 (1957).
- [7] Тр. Института физики АН Латвийской ССР, т. VIII, Прикладная магнитогидродинамика, 1956.

圓柱形孔道对 neutron 扩散的影响

拉列金 (Н. И. Лалетин)

核反应堆活性区内的空洞对 neutron 由堆内往外的漏逸有着很大的影响。在计算堆的临界质量时, 对这一影响的考虑是很重要的。弄清楚活性区外的空孔道对 neutron 通量分布的影响常常也是很有意义的。

本文研究了单一中空圆柱孔道对 neutron 扩散的影响。求得了 neutron 经过位于反应堆中心的孔道漏逸的表示式和由于孔道的存在在其附近 neutron 产生附加漏逸的表示式。还研究了 neutron 通量沿孔道分布的规律对扩散公式适用性的影响。

引言

neutron 在有孔洞的介质中的分布和单位体积内的孔洞数、它们的尺寸以及形状有关。

要是 neutron 在多孔介质中的分布变化得充分缓慢, 就可以认为介质内经过任何小面积的 neutron 流都只和当地的 neutron 分布梯度有关, 亦即扩散理论正确。但是 neutron 流和梯度间的比例系数就会和连续介质中的系数不一样: 它会和孔洞的尺寸、形状以及单位体积内孔洞的数目有关。这一系数的平均值就是多孔介质的有效扩散系数。neutron 分布对直线性的偏差显然与在连续介质中的完全不同, 而扩散公式是否能应用的标准看来和空洞尺寸与 neutron 分布的曲率之间的比值有关。

空洞对 neutron 分布的影响曾经在一系列文献中被研究过。在比灵斯 (Биренс) 的文献^[1]中研究了在具有任意尺寸和形状的孔洞的介质中当孔洞“浓度”不同时 neutron 扩散长度的变化。他假定空洞的分布是均匀的, 而其形状可以使得 neutron 在每一个射程中穿经孔洞表面的次数不多于两次。他使用了关系式 $\frac{L^2}{L_0^2} = \frac{\lambda^2}{\lambda_0^2}$ 来求出由于空洞的存在 neutron 平均自由程的增加为

$$\frac{\lambda^2}{\lambda_0^2} = \frac{L^2}{L_0^2} = 1 + 2p + \frac{p^2 \left(\frac{2a}{p\lambda} \right)}{\exp \left(\frac{2a}{p\lambda} \right) - 1} + Q \frac{ap}{\lambda}. \quad (1)$$

式中 L 与 L_0 分别为 neutron 在有孔介质中及连续介质中的扩散长度; λ 和 λ_0 为相应的 neutron 平均自由程; p 为单位格子内空洞体积对物质体积之比; $a = \frac{2p\nu}{S}$ 为空洞的水力学半径; ν 为单位格子内的物质体积; S 为空洞表面的面积; Q 为只与空洞形状有关的量。

当空洞之间的距离很大即 $\frac{S\lambda}{\nu} \ll 1$ 时, (1) 式变成下形:

$$\frac{\lambda^2}{\lambda_0^2} = 1 + 2p + \frac{ap}{\lambda} Q.$$

对某些形状的空洞说来, 不同方向上 neutron 的扩散是不同的。例如对圆柱形的空洞说来平行于圆柱轴的方向上的扩散比垂直于圆柱轴的方向上的扩散增加得多些。在平行于圆柱轴的方向上当 $\frac{S\lambda}{\nu} \ll 1$ 时, 由文献[1]可以得出下列结果:

$$\frac{\lambda_{||}^2}{\lambda_0^2} = 1 + 2p + \frac{2ap}{\lambda}. \quad (2)$$

索波列夫 (С. Л. Соболев) 和富尔索夫 (В. С. Фурсов) 在 1948 年也研究过在有圆柱形孔道的介质内的扩散。在这些工作中假定平行于孔道轴方向上的中子密度分布作线性变化, 垂直于轴的方向上则维持不变而算出了由于孔道的存在, 在平行于孔道轴的方向上生成的附加中子通量。在只有一个半径为 a 的圆柱形孔道的情形下在平行于孔道轴的方向上对扩散系数所得的结果如下: 在索波列夫的工作中

$$D_{||} = \frac{\lambda}{3} \left[1 + \frac{\pi a^2}{W} \left(1 + \frac{2a}{\lambda} \right) \right]; \quad (3)$$

在富尔索夫^{*}的工作中

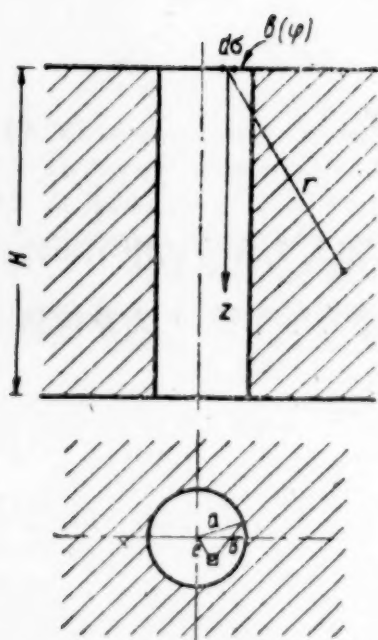
$$D_{||} = \frac{\lambda}{3} \left[1 + \frac{\pi a^2}{W} \left(1 + \frac{3\pi a}{4\lambda} \right) \right].$$

式中 W 为单位格子的横截面。

在所有上述的工作中都只研究了中子的扩散而没有研究中子通量的非线性分布对中子由孔道中漏逸的影响。在文献 [2] 中曾对带有横缝的反应堆算出了中子由缝内逸出的总漏逸并研究了它对反应堆临界质量的影响。德文逊 (Девинсон) 曾对在中心具有圆柱形孔道的反应堆解决了同一问题。在文献 [3] 中举出了这一研究的结果, 还指出了在计算时使用了“负源”方法。

对孔道边界上的比值 $\left(\frac{\Phi}{\partial \Phi} \right)_{r=a}$ 求出了下列公式:

$$\left(\frac{\Phi}{\partial \Phi} \right)_{r=a} = \lambda \frac{1 - \frac{3}{8}(\alpha a)^2}{(\alpha a)^2 \frac{a + \lambda}{a} - \frac{3\pi}{8}(\alpha a)^3}, \quad (4)$$



计算圆柱形孔道对中子扩散所生影响的参考图

式中 Φ 是中子通量; a 是圆柱半径; $\alpha = \frac{\pi}{H}$; H 是孔道长度;

$\alpha a \ll 1$.

在文献 [4] 中曾研究了中子穿经圆柱形孔道漏逸时对反应堆临界质量的影响, 但是其中对中子漏逸的计算是不正确的。

中央圆柱形孔道

设高度为 H 的反应堆中心有半径为 a 的圆柱形孔道 (见图), 并设孔道很细, 因而中子通量在反应堆中的分布可以表成乘积的形式: $\Phi(r, z) = \Phi(z)\psi(r)$, 很清楚, $\Phi(z)$ 可以写成 $\Phi(z) = \sin \alpha(z + \delta)$, 其中 $\alpha = \frac{\pi}{H}$, δ 是外推边界。

现在我们来计算中子经过孔道向一个方向上的漏逸, 经过离孔道轴距离为 e , 位于孔道开口处的面积元 $d\sigma$ 的中子流由下式来决定:

^{*} 原注。在富尔索夫的工作中有一点不太准确之处, 所以他所得的公式和索波列夫的公式略有差别。

$$dJ = \int_0^{2\pi} d\varphi \int_{\theta_0=\arctg \frac{b(\varphi)}{H}}^{\pi/2} d\theta \int_{\frac{b(\varphi)}{\sin\theta}}^{\frac{H}{\cos\theta}} dr \frac{\Phi e^{-\frac{r'}{\lambda}} \cos\theta \sin\theta}{4\pi\lambda} d\sigma, \quad (5)$$

式中 λ 是中子在連續介质中的平均自由程; $r' = r - \frac{b(\varphi)}{\sin\theta}$ 是中子在連續介质中的路程; $b(\varphi) = e \cos\varphi + \sqrt{a^2 - e^2 \sin^2\varphi}$. 由于孔道位于堆的中心, 可以以很高的精确度把 $\phi(r) = \text{const}$ 定为 1, 把 $\Phi(z)$ 分解为瑪克洛林函数, 代入(5), 可得

$$dJ = \int_0^{2\pi} d\varphi \int_{\theta_0}^{\pi/2} d\theta \int_{b/\sin\theta}^{\frac{H}{\cos\theta}} dr \sum_{n=0}^{\infty} (-1)^n \left[\frac{\Phi_0 z^{2n}}{(2n)!} + \frac{\Phi_1 z^{2n+1}}{(2n+1)!} \right] \frac{\alpha^{2n} e^{-r'/\lambda} \cos\theta \sin\theta}{4\pi\lambda} d\sigma,$$

式中 $\Phi_0 = \Phi(0) = \sin\alpha\delta$, $\Phi_1 = \frac{\partial\Phi(z)}{\partial z} \Big|_{z=0} = \alpha \cos\alpha\delta$.

轉換变数, 由 r 轉到 r' , 得到

$$dJ = \int_0^{2\pi} d\varphi \int_{\theta_0}^{\pi/2} d\theta \int_0^{\frac{H}{\cos\theta} - \frac{b}{\sin\theta}} dr' \sum_{n=0}^{\infty} (-\alpha^2)^n \left[\frac{\Phi_0 \left(r' + \frac{b}{\sin\theta} \right)^{2n} \cos^{2n}\theta}{(2n)!} + \right. \\ \left. + \frac{\Phi_1 \left(r' + \frac{b}{\sin\theta} \right)^{2n+1} \cos^{2n+1}\theta}{(2n+1)!} \right] \frac{e^{-\frac{r'}{\lambda}} \cos\theta \sin\theta}{4\pi\lambda} d\sigma. \quad (6)$$

在最后一个表示式中为方便起见可把 $n=0$ 的一项由和中分出. 很清楚, 这一项表示当通量沿孔道軸作綫性变化时由孔道中厚为 H 的介质片外逸的中子流. 中子流可以写成下式:

$$dJ_0 = \int_0^{2\pi} \int_0^{\pi/2} \int_0^{\infty} (\Phi_0 + \Phi_1 r' \cos\theta) \frac{e^{-\frac{r'}{\lambda}}}{4\pi\lambda} \sin\theta \cos\theta dr' d\theta d\varphi + \\ + \int_0^{2\pi} \int_0^{\pi/2} \int_0^{\infty} \Phi_1 b \cos^2\theta \frac{e^{-\frac{r'}{\lambda}}}{4\pi\lambda} dr' d\theta d\varphi - \\ - \int_0^{2\pi} \int_0^{\theta_0} \int_0^{\infty} \left[\Phi_0 + \Phi_1 \cos\theta \left(r' + \frac{b}{\sin\theta} \right) \right] \frac{e^{-\frac{r'}{\lambda}}}{4\pi\lambda} \cos\theta \sin\theta dr' d\theta d\varphi + \\ + \int_0^{2\pi} \int_{\theta_0}^{\pi/2} \int_{\frac{H}{\cos\theta} - \frac{b}{\sin\theta}}^{\infty} \left[\Phi_0 + \Phi_1 \cos\theta \left(r' + \frac{b}{\sin\theta} \right) \right] \frac{e^{-\frac{r'}{\lambda}}}{4\pi\lambda} \cos\theta \sin\theta dr' d\theta d\varphi. \quad (7)$$

(7) 式中右端第一个积分决定在沒有孔道时的微分中子流 $\frac{\Phi_0}{4} + \frac{\lambda}{b} \Phi_1$, 第二項决定在无旁介质中因孔道而生的附加中子流, 其他各項是对有限介质所作的修正, 我們分別用 Y_0 , Y_1 , Y_2 , Y_3 表示这些积分.

按 r' 及 θ 积分, 有

$$Y_1 = \frac{\Phi_1}{16} \int_0^{2\pi} b(\varphi) d\varphi,$$

$$Y_2 = \frac{\Phi_1}{4\pi} \int_0^{2\pi} \frac{b^2(\varphi)}{H} d\varphi + o\left(\frac{b^2}{H^2}\right),$$

$$Y_3 = o\left(\frac{\lambda^2}{H^2}\right).$$

由此可得到具有精确度为 $\frac{b}{H}$ 及 $\frac{\lambda}{H}$ 的二级无穷小的项:

$$dJ_0 = \frac{\Phi_0}{4} + \frac{\lambda}{6} \Phi_0 + \frac{\Phi_1}{16} \int_0^{2\pi} b(\varphi) d\varphi - \frac{\Phi_1}{4\pi H} \int_0^{2\pi} b^2(\varphi) d\varphi. \quad (7')$$

中子经过孔道的总外逸为

$$J_0 = \int_0^a dJ_0 2\pi e de.$$

如注意到

$$\int_0^{2\pi} d\varphi \int_0^a 2\pi e deb(e, \varphi) = \frac{16}{3} \pi a^2 a,$$

$$\int_0^{2\pi} \int_0^a b^2 2\pi e de d\varphi = 2\pi^2 a^4,$$

则有

$$J_0 = \pi a^2 \left[\frac{\Phi_0}{4} + \frac{\lambda}{6} \Phi_1 + \frac{\lambda}{3} \Phi_1 \frac{a}{\lambda} - \frac{\lambda}{3} \Phi_1 \frac{3}{2} \frac{a}{\lambda} \frac{a}{H} \right]. \quad (8)$$

现在可把(6)式中 $n \geq 1$ 各项所定的中子流成分写成下形:

$$dJ_1 = \int_0^{2\pi} \int_{\theta_0}^{\pi/2} \int_0^{\frac{H}{\cos\theta} - \frac{b}{\sin\theta}} \left\{ \sum_{n=1}^{\infty} (-\alpha^2)^n \left[\frac{\Phi_0 \cos^{2n} \theta \left(r' + \frac{b}{\sin\theta} \right)^{2n}}{(2n)!} + \right. \right.$$

$$\left. + \frac{\Phi_1 \cos^{2n+1} \theta \left(r' + \frac{b}{\sin\theta} \right)^{2n+1}}{(2n+1)!} \right] \frac{e^{-r'/\lambda}}{4\pi\lambda} \cos\theta \sin\theta \right\} dr' d\theta d\varphi =$$

$$= \Phi_1 \int_0^{2\pi} \left[\frac{b^2}{H} \sum_{n=1}^{\infty} (-1)^n \frac{\pi^{2n}}{(2n-1)(2n+1)!} + o\left(\frac{\Phi_0}{\Phi_1} \frac{b^2}{H^2} \ln \frac{b}{H}\right) + o\left(\frac{\lambda^2}{H^2}\right) \right] d\varphi \simeq$$

$$\simeq \frac{\Phi_1}{4\pi H} \left[\frac{1}{2} - \frac{\pi^2}{4} - \frac{\pi}{2} \text{Si}(\pi) \right] \int_0^{2\pi} b^2(\varphi) d\varphi = \frac{\Phi_1 a^2}{2H} \left[\frac{1}{2} - \frac{\pi^2}{4} - \frac{\pi}{2} \text{Si}(\pi) \right],$$

式中 $\text{Si}(\pi) = \int_{-\infty}^{\pi} \frac{\sin y}{y} dy$.

按孔道的横截面面积积分,有

$$J_1 = \int_0^a 2\pi e de dJ_1 = \pi a^2 \frac{\Phi_1 a^2}{2H} \left[\frac{1}{2} - \frac{\pi^2}{4} - \frac{\pi}{2} \text{Si}(\pi) \right], \quad (9)$$

当通量沿孔道轴作正弦变化时可得中子经过孔道的总外逸为

$$J = J_0 + J_1 = \pi a^2 \left[\frac{\Phi_0}{4} + \frac{\lambda}{6} \Phi_1 + \frac{\lambda}{6} \Phi_1 \frac{2a}{\lambda} - \frac{\lambda}{6} \Phi_1 \frac{a}{\lambda} \frac{a}{H} \times \right.$$

*1) 原註. $\int_0^{2\pi} b^2(\varphi) d\varphi = 2\pi a^2$ 并与 e 无关.

$$\times \left(\frac{3\pi^2}{4} - \frac{3}{2} + \frac{3\pi}{2} \text{Si}(\pi) \right) \Big]. \quad (10)$$

除了经过孔道中子能漏逸外, 孔道的存在还会引起中子经过孔道开口近处的表面而生的附加外逸, 实际上经过反应堆表面距孔道轴为 ρ , 靠近孔道开口处的元面积的中子流为

$$J_1 = \int_v \frac{\Phi(\rho, z) e^{-\frac{r'}{\lambda}} \cos \theta dV}{4\pi\lambda r^2},$$

式中 r' 为中子在物质中的路程. 积分按反应堆体积进行, 不计孔道体积.

不难证明, 在扩散近似下这一积分等于

$$\begin{aligned} J_+ = & \int_0^{2\pi} \int_0^{\pi/2} \int_0^\infty \frac{\Phi_0 + \Phi_1 r' \cos \theta}{4\pi\lambda} e^{-\frac{r'}{\lambda}} \cos \theta \sin \theta dr' d\theta d\varphi + \\ & + \int_{-\arcsin \frac{a}{\rho}}^{\arcsin \frac{a}{\rho}} d\varphi \int_0^{\pi/2} d\theta \int_{\frac{\rho \cos \varphi - \sqrt{a^2 - \rho^2 \sin^2 \varphi}}{\sin \theta}}^\infty dr' \Phi_1 \frac{\sqrt{a^2 - \rho^2 \sin^2 \varphi}}{2\pi\lambda} e^{-\frac{r'}{\lambda}} \cos^2 \theta. \end{aligned} \quad (11)$$

对孔道有限性的修正和对中子通量沿孔道轴分布的非线性的修正对 $\frac{a}{H}$ 及 $\frac{\lambda}{H}$ 为二级或更高级的无穷小.

很清楚, (11) 式中右端第一项是没有孔道存在时的扩散中子流 $\left(\frac{\Phi_0}{4} + \frac{\lambda}{6} \Phi_1\right)$, 而第二项是由于孔道的存在经过面积元 $d\sigma$ 所生的附加漏逸. 经过反应堆在孔道开口处附近的表面所生的附加漏逸由下列积分来表示:

$$\Delta L_k = \int_a^\infty 2\pi\rho d\rho \left[\int_{-\arcsin \frac{a}{\rho}}^{\arcsin \frac{a}{\rho}} \int_0^{\pi/2} d\theta \int_{\frac{\rho \cos \varphi - \sqrt{a^2 - \rho^2 \sin^2 \varphi}}{\sin \theta}}^\infty dr' \Phi_1 \frac{\sqrt{a^2 - \rho^2 \sin^2 \varphi}}{2\pi\lambda} e^{-\frac{r'}{\lambda}} \cos^2 \theta \right].$$

很清楚, 当 ρ 增大时积分号下的函数迅速减小, 所以我们按 ρ 积分一直积到无穷大. 按 r' 积分并由变数 ρ 与 φ 转换到 $\sigma = \sqrt{a^2 - \rho^2 \sin^2 \varphi}$ 和 $\tau = \rho \cos \varphi - \sqrt{a^2 - \rho^2 \sin^2 \varphi}$, 有

$$\Delta L_k = 2 \int_0^\infty d\tau \int_0^a d\sigma \frac{\Phi_1 \sigma^2}{\sqrt{a^2 - \sigma^2}} \int_0^{\pi/2} e^{-\frac{\tau}{\lambda \sin \theta}} \cos^2 \theta d\theta = \frac{\lambda}{6} \pi a^2 \Phi_1. \quad (12)$$

在所有上列计算中我们都把孔道附近中子密度的横向分布视作不变值, 略去了它由于孔道的存在而生的变化. 现在我们来估计一下由于这种省略而生的误差.

在孔道的内表面上靠近点 P 处取一个元面积 $d\sigma$. 经过这一元面积进入孔道的中子流为

$$J_+ d\sigma = \int_v \frac{\Phi e^{-\frac{r'}{\lambda}} \cos \theta dV}{4\pi\lambda r^2} d\sigma. \quad (13)$$

(把元面积的法线取作了极轴).

把函数 $\Phi(\rho, z)$ 分解为马克洛林函数, 取最初几项, 将(13)式按 r 进行积分, 即得经过 $d\sigma$

进入孔道的中子角分布为:

$$F(P, \theta, \psi) d\theta d\psi = \frac{\sin \theta \cos \theta}{4\pi} \left\{ \Phi(P) + \lambda \cos \theta \left(\frac{\partial \Phi}{\partial r} \right)_P + \lambda \sin \theta \cos \psi \left(\frac{\partial \Phi}{\partial z} \right)_P \right\},$$

式中 ψ 是向量半径 r 和孔道轴的夹角. 在(13)式中进一步进行积分, 即得大家已知的结果:

$$J_+ = \frac{\Phi(P)}{4} + \frac{\lambda}{6} \left(\frac{\partial \Phi}{\partial r} \right)_P.$$

由孔道内经过元面积外出的中子流 $J_-(P)$ 为:

$$J_-(P) = \int \frac{F(P', \theta, \psi)}{\sin \theta} \frac{\cos \theta}{r^2} d\sigma = J_1 \Phi + J_2 \frac{\partial \Phi}{\partial \rho} + J_3 \Phi,$$

其中

$$\begin{aligned} J_1 = & \frac{a^3}{2\pi} \left\{ \int_{-\frac{H}{2}}^{+\frac{H}{2}} \cos \alpha k dk \int_0^\pi \frac{(1 - \cos \beta)^2 d\beta}{[k^2 + 2a^2(1 - \cos \beta)]^2} + \right. \\ & + \int_{\frac{H}{2}}^{\frac{H}{2}+z} \cos \alpha k dk \int_0^\pi \frac{(1 - \cos \beta)^2 d\beta}{[k^2 + 2a^2(1 - \cos \beta)]^2} - \\ & - \int_{\frac{H}{2}-z}^{\frac{H}{2}} \cos \alpha k dk \int_0^\pi \frac{(1 - \cos \beta)^2 d\beta}{[k^2 + 2a^2(1 - \cos \beta)]^2} + \\ & + \operatorname{tg} \alpha z \left[\int_{\frac{H}{2}}^{\frac{H}{2}+z} \sin \alpha k dk \int_0^\pi \frac{(1 - \cos \beta)^2 d\beta}{[k^2 + 2a^2(1 - \cos \beta)]^2} + \right. \\ & \left. \left. + \int_{\frac{H}{2}-z}^{\frac{H}{2}} \sin \alpha k dk \int_0^\pi \frac{(1 - \cos \beta)^2 d\beta}{[k^2 + 2a^2(1 - \cos \beta)]^2} \right] \right\}, \\ J_2 = & \lambda \frac{a^4}{2\pi} \left\{ \int_{-\frac{H}{2}}^{+\frac{H}{2}} \cos \alpha k dk \int_0^\pi \frac{(1 - \cos \beta)^3 d\beta}{[k^2 + 2a^2(1 - \cos \beta)]^{5/2}} + \right. \\ & + \int_{\frac{H}{2}}^{\frac{H}{2}+z} \cos \alpha k dk \int_0^\pi \frac{(1 - \cos \beta)^3 d\beta}{[k^2 + 2a^2(1 - \cos \beta)]^{5/2}} - \\ & - \int_{\frac{H}{2}-z}^{\frac{H}{2}} \cos \alpha k dk \int_0^\pi \frac{(1 - \cos \beta)^3 d\beta}{[k^2 + 2a^2(1 - \cos \beta)]^{5/2}} + \end{aligned}$$

$$\begin{aligned}
& + \operatorname{tg} \alpha z \left[\int_{\frac{H}{2}}^{\frac{H}{2}+z} \sin \alpha k \, dk \int_0^\pi \frac{(1 - \cos \beta)^3 d\beta}{[k^2 + 2a^2(1 - \cos \beta)]^{5/2}} + \right. \\
& \left. + \int_{\frac{H}{2}-z}^{\frac{H}{2}} \sin \alpha k \, dk \int_0^\pi \frac{(1 - \cos \beta)^3 d\beta}{[k^2 + 2a^2(1 - \cos \beta)]^{5/2}} \right] \Bigg\}, \\
J_3 = & \lambda \frac{a^3}{2\pi} \left\{ \int_{-\frac{H}{2}}^{\frac{H}{2}} [-\alpha \sin \alpha k] k \, dk \int_0^\pi \frac{(1 - \cos \beta)^2 d\beta}{[k^2 + 2a^2(1 - \cos \beta)]^{5/2}} + \right. \\
& + \int_{\frac{H}{2}}^{\frac{H}{2}+z} [-\alpha \sin \alpha k] k \, dk \int_0^\pi \frac{(1 - \cos \beta)^2 d\beta}{[k^2 + 2a^2(1 - \cos \beta)]^{5/2}} - \\
& - \int_{\frac{H}{2}-z}^{\frac{H}{2}} [-\alpha \sin \alpha k] k \, dk \int_0^\pi \frac{(1 - \cos \beta)^2 d\beta}{[k^2 + 2a^2(1 - \cos \beta)]^{5/2}} - \\
& - \operatorname{tg} \alpha z \left[\int_{\frac{H}{2}}^{\frac{H}{2}+z} (-\alpha k) \cos \alpha k \, dk \int_0^\pi \frac{(1 - \cos \beta)^2 d\beta}{[k^2 + 2a^2(1 - \cos \beta)]^{5/2}} + \right. \\
& \left. + \int_{\frac{H}{2}-z}^{\frac{H}{2}} (-\alpha k) \cos \alpha k \, dk \int_0^\pi \frac{(1 - \cos \beta)^2 d\beta}{[k^2 + 2a^2(1 - \cos \beta)]^{5/2}} \right] \Bigg\}.
\end{aligned}$$

式中 β 是经过孔道轴和点 P 的平面与经过孔道轴与点 P' 的平面的夹角。
 结果所得经过元面积 $d\sigma$ 进入孔道的中子流为

$$J_+ - J_- = \frac{\Phi}{4} [1 - 4J_1 - 4J_3] + \frac{\lambda \partial \Phi}{6 \partial \rho} \left(1 - \frac{6}{\lambda} J_2 \right).$$

在扩散近似下这一通量等于 $\frac{\lambda}{3} \left(\frac{\partial \Phi}{\partial \rho} \right)_{\rho=a}$ 。由此

$$\left(\frac{\partial \Phi / \partial r}{\Phi} \right)_{\rho=a} = \frac{\frac{1}{4} - J_1 - J_3}{\frac{\lambda}{6} + J_2}.$$

求出积分 J_1 , J_2 和 J_3 的平均值后即得

$$\left(\frac{\partial \Phi / \partial \rho}{\Phi} \right)_{\rho=a} \approx \frac{(\alpha a)^2}{\lambda} \left(1 + \frac{\lambda}{a} \right).$$

由于方程式(5)是线性的,略去中子密度在横向上的变化时所生的误差是

$$\lambda \left(\frac{\partial \Phi / \partial \rho}{\Phi} \right)_{\rho=a} \simeq (\alpha a)^2 \left(1 + \frac{\lambda}{a} \right) \simeq \left(\frac{a}{H} \right)^2.$$

对结果的讨论

为了能把所得的结果和其他作者的结果相比较起见, 假定系统的某一单位格子中有一圆柱形孔道, 单位格子的横截面 W 比孔道的横截面 πa^2 大得多, 并假定垂直于孔道轴的方向上中子的分布维持不变来比较中子经过单位格子顶端表面漏逸的情况.

在别里斯, 索波列夫和富尔索夫的工作中孔道的存在只改变了介质的扩散特性, 中子由单位格子的漏逸仍由下列扩散公式表示:

$$L_{\pi} = -D_{||} \left(\frac{\partial \Phi}{\partial z} \right)_{\text{rp}} W,$$

式中 $D_{||} = L_{||}^2 \Sigma'_a$ 是扩散系数; $\Sigma'_a = \Sigma_a \left(1 - \frac{\pi a^2}{W} \right)$ 是中子在有孔道的介质中的有效吸收截面; Σ_a 是连续介质中的宏观吸收截面.

由这些公式及公式(2)可得

$$D_{||} = \frac{\lambda}{3} \left[1 + \frac{\pi a^2}{W} \left(1 + 2 \frac{a}{\lambda} \right) \right]$$

$$\text{及} \quad L_{\pi} = -\frac{\lambda}{3} \left(\frac{\partial \Phi}{\partial z} \right)_{\text{rp}} W \left[1 + \frac{\pi a^2}{W} \left(1 + 2 \frac{a}{\lambda} \right) \right]. \quad (14)$$

在索波列夫的工作中所得的结果和这完全一样.

对用公式(10)及(12)求出的中子漏逸有

$$\begin{aligned} L_{\pi} &= \left(\frac{\Phi_0}{4} - \frac{\lambda}{6} \frac{\partial \Phi}{\partial z} \right) (W - \pi a^2) - \frac{\lambda}{6} \frac{\partial \Phi}{\partial z} \pi a^2 \left[2 + 2 \frac{a}{\lambda} - C \frac{a}{\lambda} \frac{a}{H} \right] + \frac{\Phi_0}{4} \pi a^2 = \\ &= \frac{\Phi_0 W}{4} - \frac{\lambda}{6} W \left(\frac{\partial \Phi}{\partial z} \right)_{\text{rp}} \left[1 + \frac{\pi a^2}{W} \left(1 + 2 \frac{a}{\lambda} - C \frac{a}{\lambda} \frac{a}{H} \right) \right], \\ C &= \frac{3\pi^2}{4} - \frac{3}{2} + \frac{3\pi}{2} \text{Si}(\pi). \end{aligned}$$

使用在介质边界上在反方向上的中子流为零这一条件即得

$$L_{\pi} = -\frac{\lambda}{3} \left(\frac{\partial \Phi}{\partial z} \right)_{\text{rp}} W \left[1 + \frac{\pi a^2}{W} \left(1 + 2 \frac{a}{\lambda} - C \frac{a}{\lambda} \frac{a}{H} \right) \right]. \quad (15)$$

很清楚, 公式(15)和以前的公式之间的差别只在于考虑了介质的有限性及中子通量分布的非线性的这一项 $\sim \frac{a}{H}$.

要是用由文献[3]中取来的表示式(4)来计算穿经孔道在一个方向上的中子漏逸, 则可得下列结果:

$$L_k = -\frac{\lambda}{3} \left(\frac{\partial \Phi}{\partial z} \right)_{\text{rp}} \pi a^2 \left[2 + 2 \frac{a}{\lambda} - \frac{3}{4} \pi^2 \frac{a}{\lambda} \frac{a}{H} \right].$$

由于在使用“负源”法时中子在孔道周围的漏逸不变, 则由单位格子的漏逸为:

$$L_{\pi} = -\frac{\lambda}{3} \left(\frac{\partial \Phi}{\partial z} \right)_{\text{rp}} W \left[1 + \frac{\pi a^2}{W} \left(1 + 2 \frac{a}{\lambda} - \frac{3}{4} \pi^2 \frac{a}{\lambda} \frac{a}{H} \right) \right]. \quad (16)$$

精确度直到含 $\sim \frac{a}{H}$ 的諸項为止的这一公式和所有过去的公式相符合, 而 $\frac{a}{H}$ 項的系数和公式

(15) 中相应的系数很相近. 这样, 文献[3]中孔道附近的附加漏逸似乎轉到了由孔道外出的漏逸上. 这种形式下的結果在計算孔道对临界质量的影响时是很方便的. 实际上我們可以把表示式

$$\left(\frac{\Phi}{\partial \Phi} \right)_{r=a} \simeq \frac{\lambda}{(\alpha a)^2 \frac{a + \lambda}{a} - \frac{3\pi(\alpha a)^3}{8}}$$

作为在孔道壁上的边界条件并认为堆表面上的边界条件不变而用扩散近似解出反应堆方程式. 如我們把經過孔道的漏逸和經過孔道附近的附加漏逸分开, 則函数 Φ 的边界条件就会很复杂了. 文献[3]中給出了由于孔道的存在对临界质量須作的修正的表示式.

由上述可知, 考虑了介质的有限性和中子密度分布对綫性的偏差給出了項 $\sim \frac{a}{H}$. 如它們可以略去, 則就可以用扩散理論来研究有孔道介质中中子的分布, 只是扩散特性上要作相应的改变.

不难証明, 不但当中子密度的横向分布不变时上述公式正确, 就在分布按綫性变化时它們也是正确的. 在中子密度横向分布不按綫性变化时所生的誤差为

$$\eta = \frac{(\lambda + a)^2}{2} \frac{\partial^2 \Phi}{\partial x^2} \frac{1}{\Phi}.$$

当

$$\Phi(x) = \cos \alpha_1 x \text{ 时 } |\eta| \approx \frac{(\lambda + a)^2}{2} \alpha_1^2.$$

$$\Phi(x) = e^{\frac{x}{L_1}} \text{ 时 } |\eta| \approx \frac{(\lambda + a)^2}{2L_1^2}.$$

中子通量按长度方向作指数变化时的圆柱形孔道

上面已經确定了和孔道尺寸有关的中子扩散理論能应用的范围. 但是还有問題的另一方面. 到現在为止我們只研究了中子通量沿孔道长度方向上作綫性或余弦性变化的情况, 同时經過孔道某一截面的中子流由靠近这一截面的那些区域来决定, 因为由远处所作的貢獻是反比于到这截面的距离的三次方而减少的. 如中子通量沿孔道长度正比于 z^3 变化或变化得更快一些, 則这些远处地区所起的作用就可能变得比較显著而扩散公式就不能应用了. 我們以实际上很重要的一种情况——中子按孔道长度作指数分布的圆柱形孔道为例来研究一下.

在連續介质中, 通量按指数規律 $\exp z/L$ 变化时必须滿足条件 $\lambda \ll L$ (弱吸收) 才能应用扩散公式. 我們現在来研究一下在介质中有孔道的情形下扩散公式的应用范围問題.

先来計算經過处于厚为 H 的一片介质中的孔道截面上的中子流 J , 中子通量在这片介质中沿厚度分布的指数性变化規律是 $\Phi(z) = \Phi_0 \exp \frac{z}{L}$. 我們用 h 来表示由截面按指数上升的方向上到孔道頂端的距离.

經過孔道截面上离孔道軸距离 e 处的元面积上的中子流为 $dJ = dJ_+ - dJ_-$, 这里

$$\left. \begin{aligned} dJ_+ &= \int_0^{2\pi} d\varphi \int_{\theta_0}^{\pi/2} d\theta \int_{\frac{b}{\sin\theta}}^{\frac{h}{\cos\theta}} dr \frac{\Phi_0 e^{\frac{r \cos\theta}{L}} e^{-\frac{r'}{\lambda}}}{4\pi\lambda} \cos\theta \sin\theta; \\ dJ_- &= \int_0^{2\pi} d\varphi \int_{\pi/2}^{\pi-\theta_1} d\theta \int_{\frac{b}{\sin\theta}}^{\frac{H-h}{\cos\theta}} dr \frac{\Phi_0 e^{\frac{r \cos\theta}{L}} e^{-\frac{r'}{\lambda}}}{4\pi\lambda} \cos\theta \sin\theta; \\ \theta_1 &= \operatorname{arctg} \frac{b}{H-h}. \end{aligned} \right\} \quad (17)$$

其他符号和上面相同。把函数 $\Phi(z)$ 表成 $\frac{z}{L}$ 的幂级数之和,得

$$\Phi(z) = \Phi_0 \sum_{n=0}^{\infty} \left(\frac{r \cos\theta}{L} \right)^n \frac{1}{n!}.$$

公式(7')表示上列幂级数和中 $n=0$ 及 $n=1$ 两项在(17)式各积分中的组成部分,不过这里要把 Φ 改成 $\frac{\Phi_0}{L}$. 如把中子流的这一部分写成 dJ_0 , 则

$$J_0 = \int_0^a dJ_0 2\pi e de = -\frac{\lambda\Phi_0}{3L} \left[1 + 2\frac{a}{\lambda} - \frac{3}{2} \frac{a}{\lambda} \frac{a}{h} - \frac{3}{2} \frac{a}{\lambda} \frac{a}{H-h} \right] \pi a^2.$$

幂级数和其他各项对中子流的贡献为

$$\begin{aligned} dJ_1 &= \int_0^{2\pi} d\varphi \int_{\theta_0}^{\pi/2} d\theta \int_{\frac{b}{\sin\theta}}^{\frac{h}{\cos\theta}} dr \frac{\Phi_0 \sum_{n=2}^{\infty} \frac{1}{n!} \left(\frac{r \cos\theta}{L} \right)^n e^{-\frac{r'}{\lambda}}}{4\pi\lambda} \sin\theta \cos\theta - \\ &\quad - \int_0^{2\pi} d\varphi \int_{\pi/2}^{\pi-\theta_1} d\theta \int_{\frac{b}{\sin\theta}}^{\frac{H-h}{\cos\theta}} dr \frac{\Phi_0 \sum_{n=2}^{\infty} \frac{1}{n!} \left(\frac{r \cos\theta}{L} \right)^n e^{-\frac{r'}{\lambda}}}{4\pi\lambda} \sin\theta \cos\theta. \end{aligned}$$

在右端第二项中的积分号下转换变数,由 θ 转到 $\vartheta = \pi - \theta$,并在两项内同时由 r 转换到 $r' = r - \frac{b}{\sin\theta}$, 进一步进行积分,以对 $\frac{a}{h}$, $\frac{\lambda}{h}$, $\frac{a}{H-h}$ 及 $\lambda(H-h)$ 的二级无穷小各项为限,可得

$$\begin{aligned} J_1 &= \int_0^a dJ_1 2\pi e de = -\frac{\Phi_0\lambda}{3L} \left\{ \frac{3}{4} \frac{a}{\lambda} \frac{aL}{h^2} - \frac{3}{4} \frac{a}{\lambda} \frac{aL}{(H-h)^2} + \frac{3}{2} \frac{a}{\lambda} \frac{a}{h} + \right. \\ &\quad \left. + \frac{3}{2} \frac{a}{\lambda} \frac{a}{H-h} + \frac{3}{4} \frac{a}{\lambda} \frac{a}{L} \left[Z\left(\frac{h}{L}\right) - Z\left(-\frac{H-h}{L}\right) \right] \right\} \pi a^2, \end{aligned}$$

式中

$$Z(y) = \int_{-\infty}^y \frac{e^t}{t} dt - \frac{e^y}{y} - \frac{e^y}{y^2}.$$

把 J_0 和 J_1 相加,并注意到 $\frac{\Phi_0}{L} = \left(\frac{\partial\Phi}{\partial z} \right)_{z=0}$, 有

$$J = -\frac{\lambda}{3} \frac{\partial\Phi}{\partial z} \left\{ 1 + 2\frac{a}{\lambda} + \frac{3}{4} \frac{a}{\lambda} \frac{aL}{h^2} - \frac{3}{4} \frac{a}{\lambda} \frac{bL}{(H-h)^2} + \right.$$

$$+ \frac{3}{4} \frac{a}{\lambda} \frac{a}{L} \left[Z\left(\frac{h}{L}\right) - Z\left(-\frac{H-h}{L}\right) \right] \} \pi a^2.$$

可以証明孔道附近的附加中子流为

$$\tilde{j} = -\frac{\lambda}{3} \frac{\partial \Phi}{\partial z} \pi a^2 + 0 \left(\frac{a^2 L^2}{h^4} e^{\frac{h}{L}} \right).$$

由此可見,如要和別灵斯与索波列夫的公式符合,必需满足下列条件:

$$\frac{a}{h} \ll 1, \frac{a}{H-h} \ll 1 \text{ 及 } \frac{a}{L} Z\left(\frac{h}{L}\right) \ll 1.$$

当 $\frac{h}{L}$ 大时 $Z\left(\frac{h}{L}\right) \approx 2e^{\frac{h}{L}} / \left(\frac{h}{L}\right)^3$, 最后一条件变成下形:

$$\frac{aL^2}{h^3} e^{\frac{h}{L}} \ll 1.$$

最后作者对斯捷潘諾夫 (П. Е. Степанов) 对上述問題提了宝貴的意見表示感謝.

譯自 Атомная энергия том 7 (1959) вып. 1, 18—26.

参 考 文 献

- [1] D. Behrens: *Proceed. of Phys. Soc.*, **62** (s. A), 607 (1949).
- [2] J. Chernick, J. Kaplan: *J. Nucl. Energy*, **2**, 41 (1955).
- [3] Пешхаген: Материалы Международной конференции по мирному использованию атомной энергии (Женева, 1955), т. 5, ч. IVa. Изд-во АН СССР, 1958, стр. 306.
- [4] E. Gritoph, R. Pearce: *J. Nucl. Energy*, **4**, 445 (1957).

用物理模拟法确定临界质量和中子通量分布

德米特里耶夫斯基 (В. А. Дмитриевский)

格里哥里耶夫 (И. С. Григорьев)

原子反应堆，特别是新型的反应堆的设计，必须事先进行确定参数的实验工作。本文提出了一个预先确定反应堆临界质量和中子通量分布的新方法——物理模拟法。为了进行试验，应用了不包含分裂物质的反应堆模型。模型的“工艺”管道填满了中子吸收截面类似于分裂物质的中子吸收剂。裂变快中子的产生由沿管道不断移动的中子源模拟。热中子通量的分布是用对热中子灵敏的探测器测量的。如果知道源强度和中子通量的绝对值，则从试验中可以求出反应堆的临界质量。

模拟法在六氟化铀的反应堆中进行了检验。由试验求得的临界质量数值和在真实堆中得到的数值很好地符合。

除了临界试验和指数实验外，上述方法对选择最佳栅格参数、反应堆的设计等初步研究是很有用的。模拟法很简单，应用这方法时并不需要裂变物质或大的中子通量。

方法的简述

设想一个几何尺寸、结构材料和慢化剂同所要研究的反应堆一样的堆模型，它的管道中所充满的中子吸收剂起着分裂物质的作用。最好所选用的吸收剂的中子吸收截面同能量的依赖关系和分裂物质的这种关系差别很小。

首先要指出，在这模型中借助于中子源完全能够模拟反应堆中的中子通量分布。为此，假定将包含有吸收剂的模型管道分为一个个的栅胞。在反应堆处于临界状态时，每一个这样的栅胞是局部中子源。在坐标 \mathbf{r} 的一个栅胞在时间 t 内所放出来的快中子数目等于

$$N_p(\mathbf{r}) = \eta \Phi_0 \psi(\mathbf{r}) \Sigma t, \quad (1)$$

这里 η ——每吸收一个热中子的核所放出的裂变快中子数； Φ_0 ——在活性区中心处热中子通量的值； $\psi(\mathbf{r})$ ——归一化的通量分布的无因次函数； Σ ——属于一个栅胞的裂变物质中子的宏观吸收截面。

为了借助于模型模拟快中子的产生，将连续地在管道的每个栅胞中放置快中子源。如果源强度是 Q 中子/秒，则为了放出 $N_m(\mathbf{r})$ 个中子，源在栅胞中停留时间应等于

$$\tau(\mathbf{r}) = \frac{N_m(\mathbf{r})}{Q}. \quad (2)$$

为了确定热中子通量分布，在模型中安放热中子指示剂（如由镅做成）。假定指示剂的半衰期比它被照射的时间大得多。在这情况下探测器的活性是和它同时为很多的源（正如在反应堆中所发生的）或是仅仅为依次放置在所有栅胞中的一个源（正如在模型中发生的）所活化无关。这个论断的正确性是这样得出的：在反应堆中任意一点的中子通量可以表示为单个源的通量迭加。

反应堆不同地点源强度的变化正比于热中子通量 $\Phi(\mathbf{r})$ 。不同强度的源可以用在管道每个栅胞中停留正比于通量的时间 $\tau(\mathbf{r})$

$$\tau(\mathbf{r}) = \tau_0 \phi(\mathbf{r}) \quad (3)$$

来模拟。

为此不必事先知道热中子通量的分布。首先给定任意分布规律(例如,将源均匀地通过管道)。这时,按热中子指示剂的活性求得一级近似分布。当逐次给出了新求得的分布规律后,就能够求出极限的(真实的)分布。正如下面可以看到,逐次渐近序列收敛得很快。在类似的系统中逐次渐近序列的收敛性在文献[1]中应用来计算反应堆的临界质量。

须指出,模拟法也给出了确定临界质量的可能性。反应堆的每一体积元都是在 t 时间内放出 $N_p(\mathbf{r})$ 快中子的中子源。使反应堆的基本体积元所放出的快中子数 N_p 和模型的 N_m 相等,得出

$$\eta \Phi_0 \phi(\mathbf{r}) \Sigma t = Q \tau_0 \phi(\mathbf{r}). \quad (4)$$

因此对 η 有

$$\eta = \frac{Q \tau_0}{\Phi_0 \Sigma t}. \quad (5)$$

这表示式的分子是由位于堆中心的分裂物质细胞在时间 t 内所放出的快中子数,而分母是被它所吸收的热中子数。在模型中相同的过程在时间 $\tau_1 + \tau_2 + \dots = \sum_i \tau_i$ 内发生,它等于总的试验时间。

假定源强度 Q 已知,按指示剂所引起的活性 A 可以决定热中子的积分通量值

$$\Phi t = \frac{A}{B}, \quad (6)$$

式中 $1/B$ ——考虑了试验几何情况和活性计数率的比例系数。

这时,联合(5)和(6)式,计算出数值

$$\eta = \frac{B Q \tau_0}{A \Sigma}. \quad (7)$$

依所选择的材料和系统的几何尺寸为转移量 η 可以是大于或等于1的任意数值。公式(5)是中子的平衡条件。由于中子从系统中漏失和在慢化过程中被吸收,为单位细胞所吸收的热中子数不可能大于它所放出的快中子数。可以证明,等效于实际的临界系统(其中的分裂物质宏观吸收截面为 Σ)的模型在每吸收一个热中子时放出 η 个快中子。特别是在采用 U^{235} 时,如果从试验求得 $\eta < 2.07$,反应堆将处于超临界,在 $\eta > 2.07$ 时则是次临界。

进行具有不同数量的吸收物质的试验和作出函数 $\eta = f(\Sigma)$ 的图表,根据它和直线 $\eta = 2.07$ 的交点可以决定 $\Sigma_{\text{临界}}$,亦即反应堆的临界质量。

事实上为了估计临界质量只要一个试验就够了。这可以从关系式 $\eta = f\left(\frac{1}{\Sigma}\right)$ 近似地是在纵坐标轴上的截距接近于1的直线求出。例如,在纯 $U^{235}(\rho = 1)$ 的无穷大反应堆这样一种最简单的情况下,线性关系准确地满足,由 $k_{\infty} = 1$ 的条件得出

$$\eta = \frac{k_{\infty}}{f} = 1 + \beta \frac{1}{\Sigma}.$$

式中 f ——热利用系数,而 β ——与栅格参数和慢化剂性质有关的系数。

确定反应堆临界质量的困难在于:为了计算 η ,必须知道源强度 Q 和热中子通量的绝对值(B)。这些量中的每一个的测量一般说来是独立的和足够复杂的实验。而既然我们所感兴趣的不是这些量本身,而是它们的乘积 QB ,这些困难可以借助于下面的试验克服。设想一个半径为 R 的球充满理想的(没有中子吸收的)慢化剂。在这个球心放置一强度为 Q 的源。如果球的半径和慢化长度比较起来是足够的大,则穿过球表面飞出的将仅仅是热中子,在表面的通

量将等于 $\frac{Q}{4\pi R^2}$ 。放在球表面上的热中子指示剂的饱和活性

$$A' = \frac{Q}{4\pi R^2} \frac{B}{\lambda}, \quad (8)$$

λ ——指示剂的衰变常数。

考虑到(8)则量 η 的表达式将为

$$\eta = \frac{A'}{A} \cdot \frac{4\pi R^2 \lambda \tau_0}{\Sigma}. \quad (9)$$

由此可见,为了计算 η 必须测量的只是指示剂的相对活性。

方法的实验检验

为了从实验上对方法进行检验,建立了一个最简单的反应堆模型,其中用普通水作为中子的慢化剂和反射层。模型的示意图示于图 1。反应堆模型是一个铝制的充满水的箱子,内装有 37 根铝管构成了高 52 厘米、半径 25 厘米的圆柱形活性区。铝管内壁嵌有结实的纸做的管子,碳化硼粉末用胶粘在纸上。硼模拟了 U^{235} 对热中子的吸收。利用强度为 $3 \cdot 10^6$ 中子/秒的 Po- α -B 源作中子源;氧化镉薄片作中子通量指示剂。

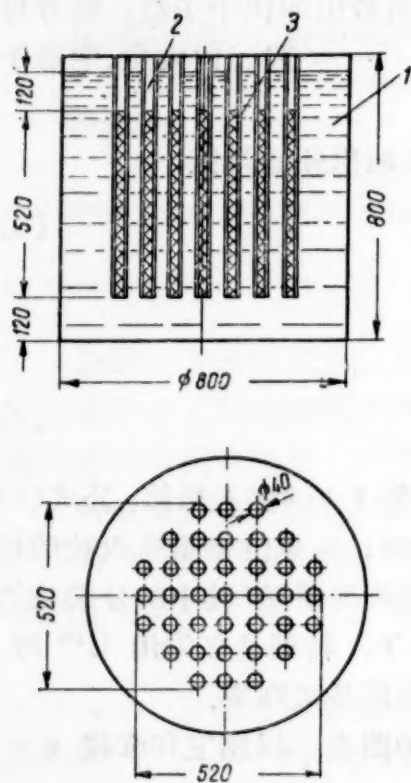


图 1 水反应堆模型的示意图
1——水; 2——“活性区”管道(格距 80 毫米); 3——碳化硼薄层。
管道大小单位为毫米。

因为镉的半衰期 $T_{1/2} = 139.2$ 分^[2], 所以总的被照射时间选取为 30 分(大约 $0.2T_{1/2}$)。为了确定热中子通量分布, 作为一级近似是用均匀分布。每一管道是按高度划分为 10 等分, 按这种方法共得到 370 个细胞, 源在每一个这种细胞里停留 5 秒钟。

正比于热中子通量的指示剂的活性分布, 由第一次实验求得的结果画在图 2 和图 3 (曲线 1) 上。然后在保持总的活化时间不变下源在每个细胞停留时间按照所得到的分布变化。由于这样逐次近似就得到热中子通量分布 (曲线 2, 3 和 4)。由图可以看出曲线 3 和 4 实际上是符合的。

由此可见, 逐次渐近序列实际上收敛为极限分布, 即相当于所研究的系统的热中子通量分布。

为了举例说明, 在图 4 上引入了测量的热中子通量分布, 相应的浓度为在每根管道中有 18 克碳化硼 (等效于 324 克 U^{235})。得到的分布和所研究的类型的反应堆热中子通量分布相似。

为了确定量 η 和 $\frac{1}{\Sigma}$ 的依赖关系, 作出了相应的浓度为每根管道有 2.52; 5.5; 9.0; 12.6 和 18 克碳化硼的分布曲线。量 η 在每种情况下按公式(7)计算。系数 B 的值是在已知中子通量下根据指示剂的活性确定。

$\eta = f\left(\frac{1}{\Sigma}\right)$ 的关系列于图 5。实验点很好地落在直线上, 和纵坐标轴的截距接近于 1。正如前面所指出, 直线 $\eta = f\left(\frac{1}{\Sigma}\right)$ 和 $\eta = 2.07$ 的交点^[3] 给出了数值 $1/\Sigma_{\text{临界}}$ 。对于所描述的模型, 关于 U^{235} 的临界质量大约是 13 公斤。

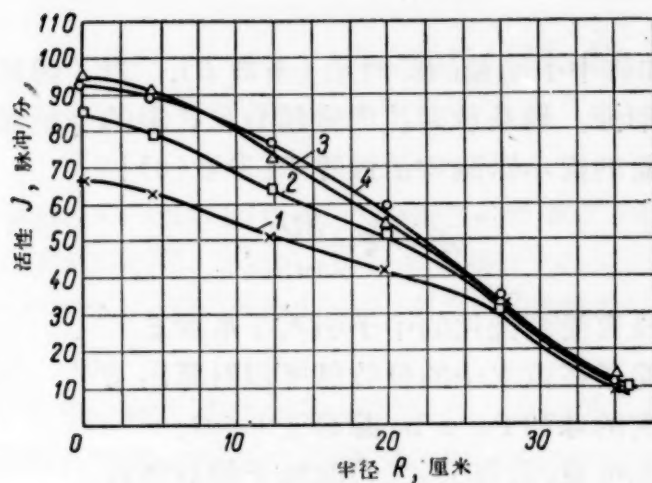


图2 指示剂活性按模型半径的分布

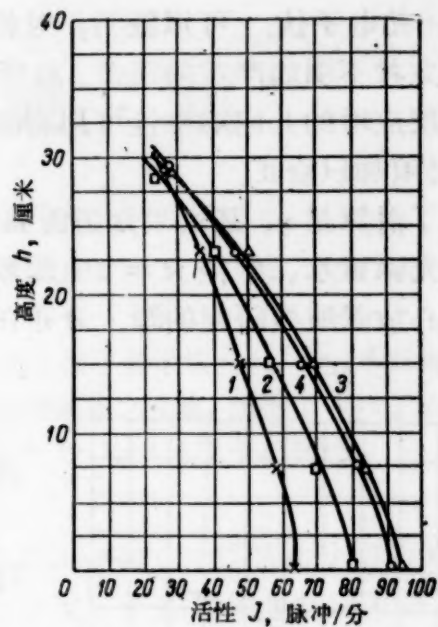


图3 指示剂活性按模型高度分布

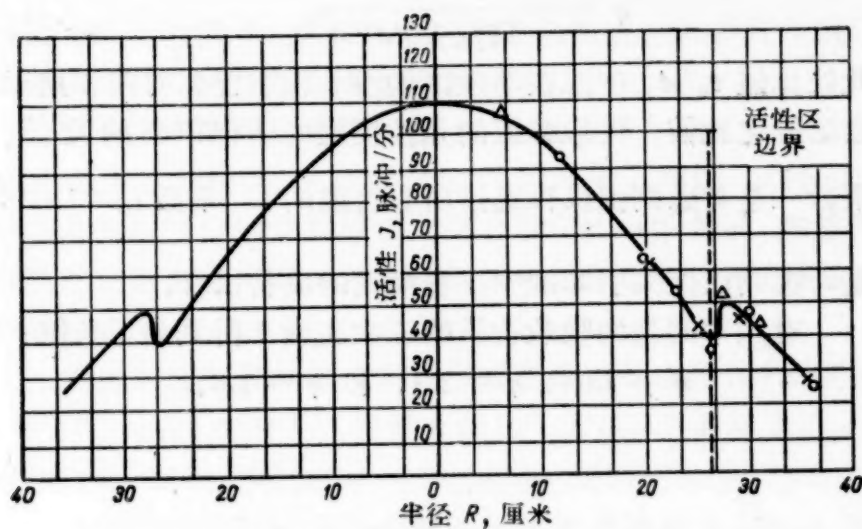


图4 指示剂活性沿模型径向的分布,相应的吸收剂浓度为每根管道中有18克碳化硼
 Δ, \times, \circ ——在三个独立的实验中所得到的值。

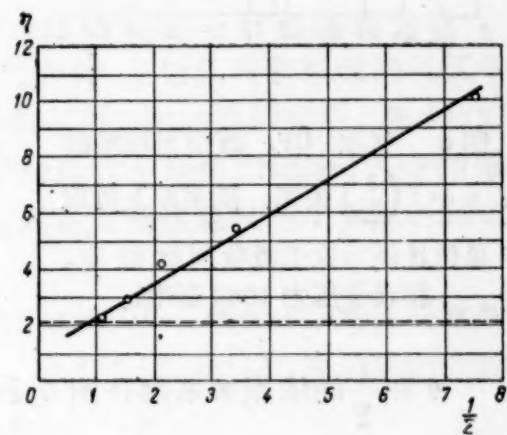


图5 关系 $\eta = f\left(\frac{1}{\Sigma}\right)$. 在横坐标上所取的单位比例对应吸收剂浓度在每根管道中有19.2克碳化硼

在气态分裂物质反应堆工作台上的模拟实验

很有趣的是在临界质量已精确知道的反应堆模型上检验模拟方法。这样的试验是在气态分裂物质的反应堆工作台上进行的^[4]。

在我们进行模拟实验前,所有148根反应堆的工艺管道换以具有碳化硼薄层的管道。利用含有不同数量的吸收物质进行了三次试验。附着在纸上的碳化硼的宏观吸收截面是用测量单色中子束的穿透的方法来决定^{*})。导至温度343°K时的 Σ 值等于0.85; 1.33和2.06厘米²,分别相当于压力为500,785和1210毫米水银柱,温度为350°K时具有90% U²³⁵的六氟化铀。(取中子气体温度比慢化剂温度高50°。)

由于Po- α -B中子源对这些实验强度不够,后来用了Po- α -Be源,其中子平均能量我们估

^{*}) 根据我们的要求,由康纳霍维奇 (Ю. Я. Конахович) 完成的。

計是 4.4 兆电子伏。可以証明，对給定系統裂变中子譜和所用的源的中子譜的差別对临界質量的确定并不引起严重的誤差。对所进行的实验的某些不方便是由于存在大量管道(148 根)。应用了反应堆的几何对称性可以将源限于通过 37 根管道(总数的 1/4)。相应地在計算公式(9)中必須加以修正。

为了計算量 η ，还必須知道源强度 Q 和热中子通量的绝对值(系数 B)。为了确定其乘积应用了充滿重水、半径 $R = 30$ 厘米的球形壳。球是放置在内壁鋪有片状鎘的金属套内。在球的中心放置所要研究的源。分布在球表面的指示器饱和活性等于[参看(8)]

$$A' = \xi \frac{BQ}{\lambda 4\pi R^2}. \quad (10)$$

考虑到沒有受到慢化的中子引入了系数 ξ 。

忽略了在重水中的吸收就可以計算出 $\xi^{[5]}$ 。这个系数对所研究的球和 Po- α -Be 源等于 0.607。

由此可見，計算公式(9)取如下最后形式：

$$\eta = \frac{\frac{1}{4} A' \lambda 4\pi R^2 \int \tau dV}{\Sigma \xi f_E \int A dV}, \quad (11)$$

此处比值 τ_0/A ，即源在活性区的中心栅胞停留时间和指示剂活性之比值，代以相应的量按模型的体积积分的比值。

系数 $\frac{1}{4}$ 是考虑到源仅仅通过所有管道的 $\frac{1}{4}$ 。系数 $f_E = 1.026$

是考虑到由探头引起的中子場畸变的波特修正。

对用不同量的吸收物質的三次实验 η 得到如下数值：

$$\eta = 3.04; \eta = 2.3; \text{ 和 } \eta = 1.8.$$

η 和 $\frac{1}{\Sigma}$ 的依賴关系画在图 6 上。

根据直綫 $\eta = f\left(\frac{1}{\Sigma}\right)$ 和直綫 $\eta = 2.07$ 的交点求出临界压力的数值 $P_{\text{临界}} = 935$ 毫米水銀

柱。在反应堆工作台上所确定的真实临界压力数值等于 1018 毫米水銀柱，是符合的足够好的。

結 論

模拟法可以求出热中子通量分布和进行估計密度小的浓集鈾反应堆的临界質量。应用这方法到其他反应堆的可能性局限于中子吸收剂的选择須和分裂物質原来性質相类似。这个方法在解决一系列相似的中子物理問題时也可以应用。

譯自 Атомная энергия том 7 (1959) вып. 1, 27—32.

参 考 文 献

- [1] A. Thompson: *J. Appl. Phys.*, **22**, No. 10, 1223 (1951).
- [2] А. Н. Несмеянов, А. В. Лайцкий, Н. П. Руденко: Получение радиоактивных изотопов. М., Госхимиздат, 1954.
- [3] D. Hughes, R. Schwartz: Neutron Cross Sections, BNL-325, U. S. Government Printing Office, 1958.
- [4] И. К. Кикоин, В. А. Дмитриевский, И. С. Григорьев, С. В. Керсновский, Ю. Ю. Глазков, Б. Г. Дубовский: *Атомная энергия*, **5**, № 3, 294 (1958).
- [5] И. Снеддон: Преобразования Фурье. Изд-во иностр. лит., 1955.

UBe₁₃ 的 生 成 热

伊万諾夫 (М. И. Иванов)

冬巴可夫 (В. А. Тумбаков)

将铍粉和細散的鈾(由氫化物分解而得的)的混合物加热,便制得了基本組成为 UBe₁₃ 和数量不多的游离鈾的制剂。由制剂 UBe₁₃ 和它組份中相应的混合物的溶解热之差值,求得了 UBe₁₃ 的生成热($-\Delta H_{298}^0$),該生成热在考虑了对于杂质的修正后,其值等于 39.3 ± 3.8 千卡/克分子。

关于 UBe₁₃ 的生成热的数据尚沒有,它的值是按制剂 UBe₁₃ 和(与制剂成分相同的)原組份的机械混合物的溶解热之差值确定的,以前在文献[1]中叙述了所采用的量热計和进行热量試驗的方法。热量单位采用 15 度卡,而精确度則采用結果的可能誤差。

原料 采用碎块状的鈾和粉末状的鈹(电解制备的),鈾表面上的氧化膜在 H₃PO₄ 中用电解抛光的方法除去,在表 1 中列出了鈾和鈹中的杂质含量以及它們預定的相組成,基于該数据便确定了取作研究的鈾和鈹的相組成。

UBe₁₃ 的制取和鑑定 UBe₁₃ 是由鈹粉和細散状的鈾的混合物,在电炉內和純氫的气氛中(620 毫米水銀柱),在 $1300 \pm 50^\circ\text{C}$ 的温度下加热 1.5 小时而制得的,在加热结束后,在 600°C 时将氫气从反应的空間抽去。混合物(含 34% 的鈹,按重量計)存放在 BeO 坩堝中,BeO 坩堝則放置在帶有磨口塞的用水冷却的石英安瓿中,冷却后的产品在充滿純氫气的小室里的瑪瑙研钵中磨碎。

用粉末法所作的制剂的伦琴綫照象的研究指出:制剂是由单相 UBe₁₃ 所組成,其晶格常数 $a = 10.236 \pm 0.001 \text{ kX}^*)$,根据文献[2], UBe₁₃ 的晶格常数 $a = 10.235 \pm 0.001 \text{ kX}$,这与我們的数据相吻合,根据文献[3] $a = 10.26 \text{ kX}$,資料[4] $a = 10.3489 \pm 0.0001 \text{ kX}$ 。

金相的研究証实所制得的制剂其組成基本为 UBe₁₃;在 UBe₁₃ 的晶界边沿,发现有少量的其它相,而这些相未获得成功的鑑定。为了測定制剂中鈾和鈹的含量(鈾、鈹中杂质含量的計算列在表 1 內)已确定了:

1. 在将鈾、鈹及其制剂煅烧到恆重时,加入到鈾、鈹及其制剂中的氧气量。鈾和 UBe₁₃ 制剂是在空气中,在 800° 下进行煅烧,鈹是先在空气中在 800°C 下煅烧 8 小时,然后再在 1300°C 下在氧气中煅烧。

2. 在将鈾、鈹及制剂 UBe₁₃ 溶解到試驗中測定溶解热用的溶剂組分中时所析出的气体量(基本上是氫)。該溶剂的組成为: HCl (分析純,比重 1.78) 600 毫升, H₃PO₄ (分析純,比重 1.39) 400 毫升, Na₂SiF₆ (純的) 0.25 克, CuSO₄·5H₂O (分析純) 0.12 克。

測定析出气体量的方法与文献[1]所发表的不同之处,仅在于焊合帶試驗物的薄壁玻璃球和焊合反应的玻璃容器之前,从其中抽出空气,而不采用二氧化碳来排代,这是为了工作方便。

在表 2 中,列出了在氧化情况下,样品增添的重量和在溶解鈾、鈹、UBe₁₃ 时所析出的气体量的測定結果。

在所获得的制剂 UBe₁₃ 中,鈹的含量,按煅烧时增添的重量計等于 33.60 ± 0.09 (重量)% ,

*) $1 \text{ kX} = 1.02 \text{ \AA}$ ——譯者註。

表 1 鈾、鈹中所含雜質的成分及其預定相的組成

雜 質	成 分 (重 量 百 分 比)			
	在 鈾 中	相 型	在 鈹 中	相 型
碳	6×10^{-3}	UC	11×10^{-3}	Be ₂ C
氧	9×10^{-3}	UO	7×10^{-3}	BeO
氮	5×10^{-3}	UN	6×10^{-3}	Be ₃ N ₂
矽	3.6×10^{-3}	U ₃ Si	9×10^{-3}	Si
鐵	1.4×10^{-3}	U ₆ Fe	1.4×10^{-3}	Fe
錳	3×10^{-3}	U ₆ Mn	1×10^{-3}	Mn
鎳	6×10^{-4}	U ₆ Ni	—	—
鎂	$< 1 \times 10^{-3}$	Mg	2.3×10^{-3}	Mg
銅	9×10^{-4}	UCu ₅	2.8×10^{-3}	Cu
鉻	—	—	$< 3 \times 10^{-3}$	Cr
鋁	—	—	7×10^{-3}	Al
硼	5×10^{-4}	UB ₂	—	—

表 2 煅燒和溶解的結果

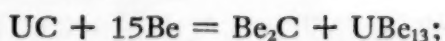
物 料	在 1 毫克物料中 平均增添的氧量(毫克)	試驗次數	在溶解一毫克物質時所析出的氣 体量(毫米水銀柱, 299°K, 容積 565.5 厘米 ³)	試驗次數
U	0.18070 ± 0.00017	6	0.2735 ± 0.0002	5
Be	1.77031 ± 0.00113	3	3.6552 ± 0.0057	5
UBe ₁₃	0.71474 ± 0.00023	5	1.4105 ± 0.0005	5

而按析出的氣體量計則等於 33.62 ± 0.06 (重量)%, 鈹的平均含量等於 33.61 ± 0.05 (重量)%。

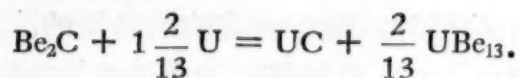
在制取合金時, 存在在原來鈾、鈹中的雜質, 能夠與鈾、鈹或雜質本身之間起反應, 但可惜, 用任何直接的實驗或計算來估計加入到合金中去的雜質的量都未成功 (由於缺少最重要的參與反應的化合物的生成自由能的值)。因此對有關反應作了以下的假設:

1) 雜質不參與反應;

2) 只是鈾中的雜質與鈹發生反應, 例如



3) 只是鈹中的雜質與鈾發生反應, 例如



UBe₁₃ 制劑和原組份混合物的溶解熱的測量結果 UBe₁₃ 制劑的溶解熱等於 3631.0 ± 4.1 卡/克 (七個試驗測量所得)。鈾及鈹 (33.61 (重量)%Be) 混合物的溶解熱等於 3737.5 ± 5.1 卡/克 (六個試驗測量所得)。其差等於 106.5 ± 8.6 卡/克。該差值的誤差也考慮到測定合金內各組份的分析誤差。

當制取制劑 (標準條件) 時, 合金組份間所產生反應的熱效應即為組份混合物的溶解熱和制劑溶解熱 (合金每 100 克為 10650 ± 860 卡) 之間的差。

根據 2), 3) 假設計算 UBe₁₃ 生成熱時, 必須要知道雜質的生成熱, 我們所採用的值列於表 3。

表 3 为计算 UBe₁₃ 生成热所采用的铀、铍及合金中杂质的生成热值

物 质	$-\Delta H_{298}^0$	根 据 文 献
UC	40,000	[5]
UO	135,000	[7]
UN	68,000	[8]
BeO	147,000	[9]
Be ₂ C	8,000	对于 Be ₂ C ^[6] 近似地按照 $\Delta F_{2400}^0 \text{ K} = -7830$ 卡
U ₃ Si	40,000	同 ThSi ₂ 的 ΔH_{298}^0 比较 ^[10]
U ₆ Fe	20,000	任意地,但考虑到金属互化物 ΔH_{298}^0 的数量级
U ₆ Mn	20,000	同 上

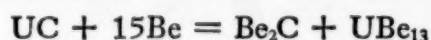
从可能反应的假设 1), 2), 3) 及表 3 得出, UBe₁₃ 的生成热 ($-\Delta H_{298}^0$) 相应地等于 39.3 ± 3.1 ; 38.6 ± 3.1 和 40.0 ± 3.1 千卡/克分子。

既然原来的金属中所存在的杂质, 当制取合金时在某种程度上与铀及铍相互作用, 因而未考虑该相互作用而计算出的 UBe₁₃ 的生成热可能具有最大的系统误差, 其值为 $\pm \frac{40.0 - 38.6}{2} =$

± 0.7 千卡/克分子。因此, 我们采用 39.3 ± 3.8 千卡/克分子为 UBe₁₃ 的生成热 ($-\Delta H_{298}^0$)。

测定 UBe₁₃ 生成热的误差的讨论 UBe₁₃ 生成热的测定其最大误差是由于不精确的测定合金中铀及铍的含量而引起的。如果测定铍时的误差为 0.01%, 则在测定 UBe₁₃ 生成热时所产生的系统误差 $\sim 1\%$ 。

碰到这样的情况, 即在制取合金的过程中, 合金组份中已有的杂质和合金组份, 和形成的金属互化物, 或杂质本身之间可能发生的反应, 并不影响我们分析的结果 (见表 2)。在用煅烧方法作分析的情况下这种见解是明显的。用有杂质参与反应的溶解方法, 仅反应



影响分析的结果, 因为在该方程式左, 右两方的物质溶解时, 将放出不同数量的气体。但是实验证明, 在溶解 UC 于我们所采用的溶剂中时, 每一克分子的 UC 将逸出 0.83 克分子的气体 (按理想气体计算)。由于该值趋近于 1 克分子, 因此用溶解法进行的合金分析和用煅烧法进行的分析一样得到正确的结果。

用这两种方法分析的系统误差与杂质的相对含量的变化有关, 这种变化是由铍或某些杂质的蒸发以及在制取合金过程中渗入的新杂质所引起的。在制取合金时铍的蒸发具有最大的可能性。但是在我们的条件下, 配料中铍的蒸发量不超过 0.4% (重量)。计算证明, 这种情况在分析中引起的系列误差 $< 0.01\%$ 。

至于谈到在制取的过程中合金中渗入新的杂质, 则最大的可能是进入氧。在具有铂金熔池的石墨坩埚内用真空熔炼法作合金分析指出, 合金中所含的氧为 0.05 (重量)%, 而根据配料的重量及配料组份中氧的含量计算而求得的氧的值等于 0.03 (重量)%。在合金及配料组份中测定氧的误差范围内还存在差别。但如果其中补充适当的计算, 即是在制备合金过程中有 1% 的氧化物 (铀或铍) 存在, 那么我们所求得的 UBe₁₃ 的生成热改变, 只稍大于 1%, 因此很明显, 在测定 UBe₁₃ 生成热时, 按照氧 0.02 (重量)% 的差别, 不至于产生误差。合金的制备过程中曾避免了其中落入其他的杂质, 因为配料是在纯氧化铍 (作萤光粉) 的坩埚内, 并在最纯的氢气中进行加热。同时在充有纯氢气的室中将合金磨碎。

作者非常感谢切巴达列夫 (H. T. Чеботарев) 在伦琴线照相研究方面, 明舍柯夫 (T. C.

Меньшиков)在金相研究方面,哈勒拉莫夫 (В. Т. Харламов) 及列別奇夫 (А. И. Лебедев) 对测定合金及其組成中氧含量方面給予的帮助。

譯自 Атомная энергия том 7 (1959) вып. 1, 33—36.

参 考 文 献

- [1] М. И. Иванов, В. А. Тумбаков, Н. С. Подольская: *Атомная энергия*, 5, № 2, 166 (1958).
- [2] N. Baenziger, R. Rundle: *Acta cryst.*, 2, 258 (1949).
- [3] W. Koehler, I. Singer, A. Coffinberry: *Acta cryst.*, 5, 394 (1952).
- [4] R. Buzzard: *J. Research NBS*, 50, No. 63 (1953). R P 2389.
- [5] Ядерные реакторы. Сб. III. М., Изд-во иностр. лит., 1956, стр. 96.
- [6] Там же, стр. 83.
- [7] Д. Кац, Е. Рабинович: *Химия урана*. М., Изд-во иностр. лит., 1954, стр. 244.
- [8] О. Кубашевский, Э. Эванс: *Термохимия в металлургии*. М., Изд-во иностр. лит., 1954, стр. 290.
- [9] Там же, стр. 250.
- [10] D. Robins, J. Jenkins: *Acta metallurgica*, 3, 598 (1955).

Am(VI) 和 Am(V) 的輻射还原

查頁采夫 (А. А. Зайцев)

闊夏闊夫 (В. Н. Косяков)

雷 闊 夫 (А. Г. Рыков)

邵巴列夫 (Ю. П. Соболев)

耶闊夫列夫 (Г. Н. Яковлев)

以还原产物的輻射产額求得了在氯酸、硫酸和硝酸中 AmO_2^{2+} 的輻射还原的速度常数。找出的值結合过氧化氢产額的数据可以估計在总的还原反应中氢基的量。闡述了 AmO_2^{2+} 和 AmO_2^+ 的輻射还原机制。 AmO^+ 还原速度的数学公式可以計算在所研究的溶液中过氧化氢和氢基的产額。

在氧化鋇得到高价态 Am(VI) 和 Am(V)^[1-4] 的同时,曾經証明在水溶液中, Am(VI) 和 Am(V) 的自还原作用分別以每小时約 4 和 2% 的速度进行着。这一过程的产生是由于在 Am^{241} 的 α 輻射作用下,水輻射分解时形成了还原剂。

在最初鋇的自还原动力学的研究工作^[3-5]中,曾发现此反应速度直接和鋇的总浓度成正比,而不取决于 Am(VI) 或 Am(V) 的浓度。然而,更为詳細的研究^[6] 表明后者只是对于 Am(VI) 来說才是正确的。

Am(VI) 和 Am(V) 輻射还原的研究,对于强电离輻射作用較小的水溶液的輻射化学,同样具有重大意义。

实 驗 部 分

鋇 实验中所用的系半衰期为 461.3 年的鋇的同位素 $\text{Am}^{241[7]}$ 。光谱分析表明实际上完全没有杂质(<1%)。

试剂 在所有情况下,所用的无需事前純化的试剂的規格为“化学純”。水系从过锰酸钾氧化溶液中二次重蒸的。硫酸和硝酸,在使用以前也应进行蒸餾。硝酸中应用硝酸銀进行氯离子反应来檢驗无氯存在。氯酸在压力为 30 毫米汞柱下蒸餾。高氯酸钠系用氯酸中和碳酸钠制得并从中或酒精中重結晶来提純。

輻射测量分析 溶液中鋇的总浓度系根据 Am^{241} 的 α 輻射在計数效率为 4.85×10^{-6} 的开縫电离室中用輻射测量的办法測定。

Am(V) 的制取 将用蒸餾水洗滌过的鋇(III)的氢氧化物溶于热的 40% 的碳酸钠溶液中。在 80—90°C 温度下通臭氧于制得溶液中,历时 30—40 分钟。臭氧氧化后,将鋇(V)的和钾的二元碳酸盐的悬浮物在水浴上加热約 30 分钟。离心分离出沉淀并用 40% 的碳酸钾溶液洗滌之,然后再用水洗滌,以除去痕量的 Am(III)。将得到的 Am(V) 和钾的二元碳酸盐溶于 0.1M 的氯酸中,并用 40% 碳酸钾溶液来再沉淀。

Am(VI) 的制取 将含水的 Am(V) 的和钾的二元碳酸盐的悬浮物轉移至臭氧氧化器中。在水浴上,在通臭氧流的情况下蒸发以赶去水。将干的黑色沉淀溶于 0.1M 的氯酸中并重新在臭氧流中蒸发此溶液。

Am(V) 和 Am(VI) 的自还原 将 Am(V) 和钾的二元碳酸盐或 Am(VI) 的高氯酸盐溶

于所需的酸中,并转移至置于恒温器中的石英棱柱形或玻璃圆柱形的液槽里。液槽中温度保持在 $\pm 0.2^\circ\text{C}$ 。用分光光度计 CФ-4 进行溶液的光密度测量。曾取用波长 992—997 毫微米为 Am(VI) 的, 715—718 毫微米为 Am(V) 的和 809—815 毫微米为 Am(III) 的吸收带作为分析谱带。曾事先摄取所有被研究的溶液中的 Am(VI) 和 Am(III) 的吸收光谱。Am(V) 的吸收光谱实际上与溶液的组成无关。

过氧化氢在 Am^{241} 溶液中的聚积 将镅(III)的氢氧化物或镅(V)的和钾的二元碳酸盐溶于 0.1 或 1.0M 含有 Ti(IV) 的硫酸盐的硫酸中。钛的浓度为 0.5 克/升。根据在波长为 400, 450 和 470 毫微米处钛的络合物的吸收来测定过氧化氢。Am(III) 和 Am(V) 的浓度根据在 811 和 717 毫微米处溶液的吸光来测定。Ti(IV) 和 Ti(IV) 的过氧络合物, 在 811 和 717 毫微米处不起吸收作用。

过氧化氢的浓度根据预先刻度得到的关系式来计算

$$[\text{H}_2\text{O}_2] (\text{微克分子浓度}) = 456D_{400} = 644D_{450} = 950D_{470},$$

其中 D ——为该波长处的光密度。

结果和讨论

Am(VI) 和 Am(V) 在氯酸和硫酸溶液中的辐射还原 图 1 和图 2 是镅相应地在 2.0M

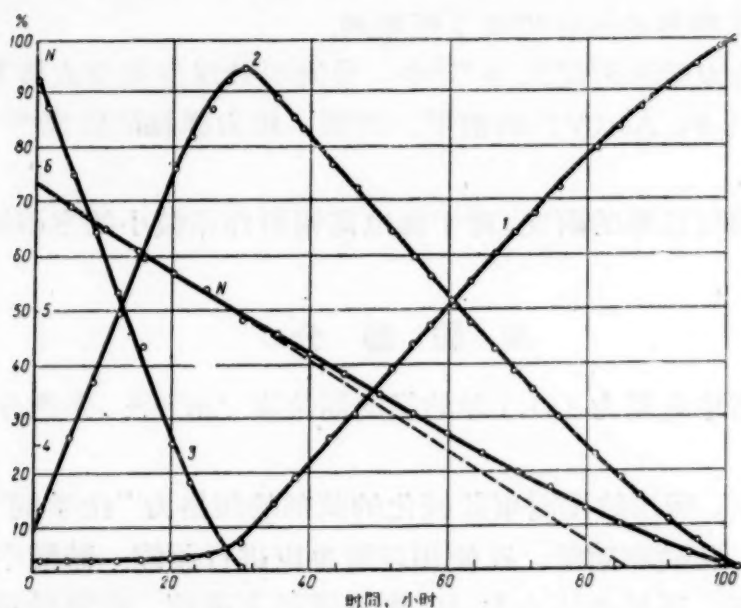


图 1 在 2.0M 的 HClO_4 中镅的辐射还原 ($[\text{Am}]_0 = 5.19 \text{ 毫M}$)

1—Am(III); 2—Am(V); 3—Am(VI).

HClO_4 和 0.2M $\text{HClO}_4 + 1.0\text{M Li}_2\text{SO}_4$ 溶液中典型的还原曲线。图上, 可看出与 Am(VI), Am(V) 和 Am(III) 的浓度改变的同时, 镅的平均价态(N)也在变化, 此值由下面关系式决定:

$$N = \frac{6[\text{AmO}_2^{2+}] + 5[\text{AmO}_2^+] + 3[\text{Am}^{3+}]}{[\text{Am}]_0}.$$

当氯酸的浓度大于 2M 和硫酸的浓度大于 1M 时, Am(V) 的不成比例是在 Am(VI), Am(V) 和 Am(III) 浓度变化下所引起的基本过程。然而不成比例反应的结果, 平均价态并不改变, 而它只是受还原所制约和随时间而减少。

如由图 1 和图 2 所见那样, 在开始时期, 出现 Am(VI) 浓度的线性减少和 Am(V) 浓度的线性增加; 同时 Am(III) 的浓度则保持不变。当溶液中积聚着大量的 Am(V) 的时候, Am(VI) 的还原速度则减小并且 Am(III) 的浓度开始增长。在 Am(VI) 消失以后, 五价的镅以随其浓度

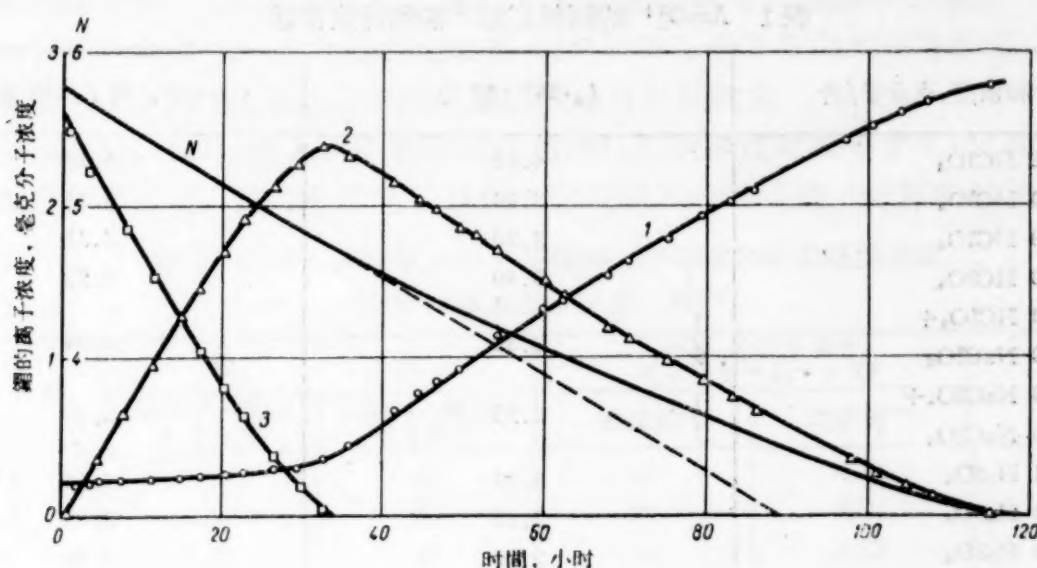


图2 在 $0.2M \text{HClO}_4 + 1.0M \text{Li}_2\text{SO}_4$ 中铈的辐射还原 ($[\text{Am}]_{\text{总}} = 2.79 \text{ 毫M}$)

1—Am(III); 2—Am(V); 3—Am(VI).

而变化的速度而还原。平均价态实际上一直到 Am(VI) 完全还原线性地在随着时间的变化而变化着。Am(VI) 和辐射分解生成的还原剂相互作用的速度要比这些还原剂生成的速度大得多, 所以当溶液中有 Am(VI) 存在时, 全部还原剂都将被消耗掉。在 Am(VI) 以恒定速度

$$-\frac{d[\text{AmO}_2^{2+}]}{dt} = \frac{d[\text{AmO}_2^+]}{dt} = k_a[\text{Am}]_{\text{总}}$$

进行还原的时间里, 而

$$\frac{d[\text{Am}^{3+}]}{dt} = 0.$$

$$\begin{aligned} \text{那么, } -\frac{dN}{dt} &= -\frac{1}{[\text{Am}]_{\text{总}}} \frac{d}{dt} (6[\text{AmO}_2^{2+}] + 5[\text{AmO}_2^+] + 3[\text{Am}^{3+}]) = \\ &= -\frac{1}{[\text{Am}]_{\text{总}}} \frac{d[\text{AmO}_2^{2+}]}{dt} = k_a. \end{aligned}$$

k_a 值, 它是根据平均价态改变的曲线的直线部分的斜率计算出来的, 被列在表 1 里; 此外, 该表还给出还原起始产额值 $G_{\text{AmO}_2^{2+}}$.

常数 k_a 与产额 G 以下列关系相联系:

$$G = \frac{T_{1/2}}{0.693 Q_a} k_a = 103.4 k_a,$$

其中 $T_{1/2}$ —— Am^{241} 的半衰期 (以小时表示); Q_a ——每当一次蜕变时所放出的能量 (以电子伏表示)。

霍尔 (G. Hall) 和马尔金 (T. Markin)^[8] 在这些酸里曾观察到还原常数类似的减少。然而表 1 中列举的 k_a 值高于这些作者所得到的相应的常数。溶液组成对还原速度的严重影响, 就象早期所假定的那样^[9] 不能用生成络合物来解释。既然还原的速度决定于还原剂的形成速度, 那 Am(VI) 的还原速度常数的改变就仅与辐射还原产物产额的改变有关。

过氧化氢是在 α 辐射的作用下水的分解产物之一。在 Am(III) 的 0.1 和 1.0M 的 H_2SO_4 溶液中测定了其辐射产额; 测得每 100 电子伏为 1.18 ± 0.12 和 0.69 ± 0.05 过氧化氢分子。将这些值和在相应酸里 Am(VI) 的还原产额的值比较看出: Am(VI) 的还原仅是部分地 ($\sim 50\%$) 由

表1 AmO_2^{2+} 的辐射还原产额和速度常数

溶液的组成和浓度, 克分子/升	$k_a \cdot 10^3$ (时 ⁻¹)	$G_{\text{AmO}_2^{2+}}$, 离子/100 电子伏
0.2 HClO_4	4.04	4.18
2.0 HClO_4	3.20	3.31
4.0 HClO_4	3.20	3.31
6.0 HClO_4	3.40	3.52
2.0 HClO_4 + +4.0 NaClO_4	}	3.81
4.0 NaClO_4 + +2.0 NaClO_4		
4.0 NaClO_4 + +2.0 NaClO_4	}	3.55
0.1 H_2SO_4		
1.0 H_2SO_4	4.04	4.18
2.0 H_2SO_4	2.85	2.95
2.0 H_2SO_4	2.50	2.59
4.0 H_2SO_4	2.02	2.09
6.0 H_2SO_4	1.80	1.86
10.0 H_2SO_4	2.20	2.28
0.2 HClO_4 + +1.0 Li_2SO_4	}	3.15
0.2 HClO_4 + +2.0 Li_2SO_4		
	2.54	2.63

过氧化氢所引起。剩下的部分, 看来是被氢原子所还原, 这些氢原子在被空气饱和的溶液中以 HO_2 基的形式存在。

也曾分析过 Am(VI) 和 Am(V) 的溶液中自由过氧化氢的含量。当 Am(VI) 存在时, 在溶液中觉察不出有过氧化氢。在 Am(V) 的硫酸溶液中过氧化氢的积聚曲线如图 3 所示。象从

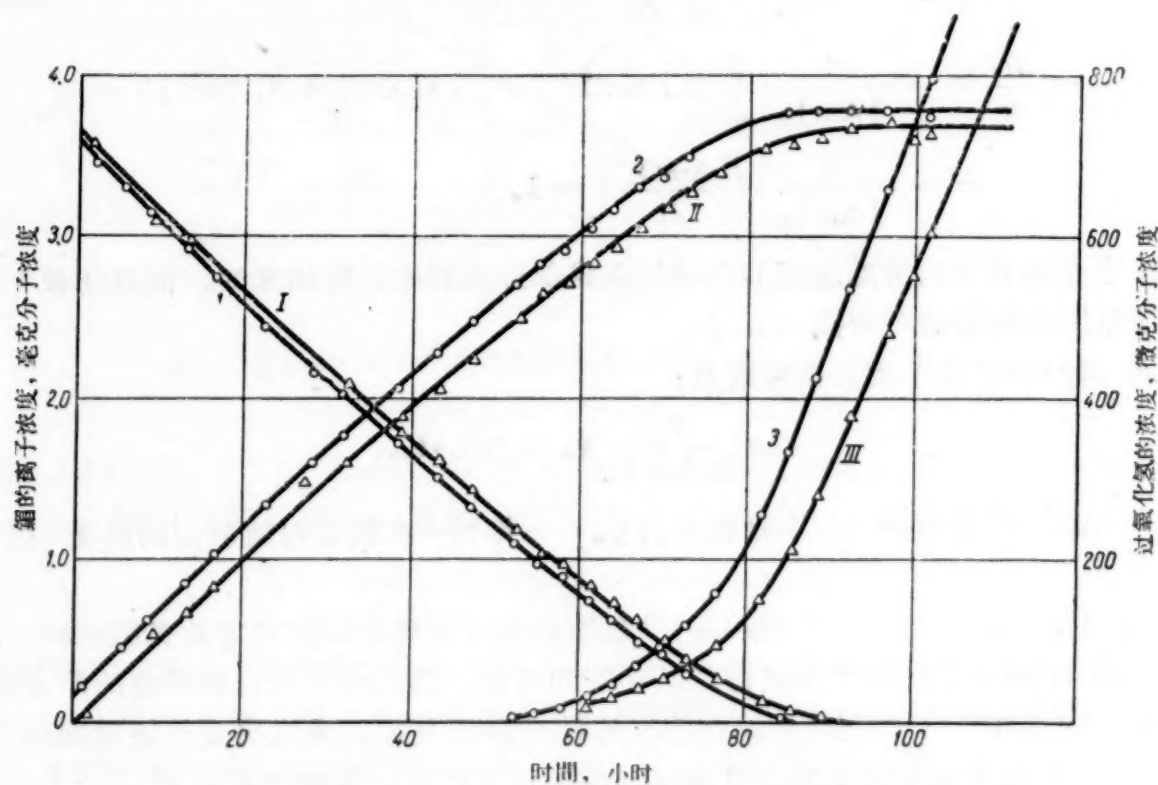


图3 在 $1.0 \text{ M H}_2\text{SO}_4$ 中, Am(V) 的辐射还原和过氧化氢的积聚
 第一个实验 ($[\text{Am}]_{\text{总}} = 3.76 \text{ 毫 M}$): I— Am(V) 浓度的变化; II— Am(III) 浓度的变化; III—过氧化氢的积聚。第二个实验 ($[\text{Am}]_{\text{总}} = 3.64 \text{ 毫 M}$): I— Am(V) 浓度的变化; II— Am(III) 浓度的变化; III—过氧化氢的积聚。

这个图上看到的一样,自由过氧化氢至 Am(V)还原終了时才在溶液中出现。

利用我們所得到的 AmO_2^+ 和过氧化氢在 0.1M HClO_4 中反应的速度常数,可以估計出在我們所观察的 Am(V) 的辐射还原中溶液里过氧化氢积聚的量。

曾經采用 0.1M H_2SO_4 中 AmO_2^+ 和过氧化氢的反应的速度常数等于 0.1M HClO_4 中該反应的速度常数进行了計算。这样的假定,显然不应当引入大的誤差。計算的結果列于表 2。从

表 2 0.1M H_2SO_4 中 AmO_2^+ 的观测还原速度和計算还原速度
($k = 14.8$ 克分子 $^{-1}$ 升·时 $^{-1}$)

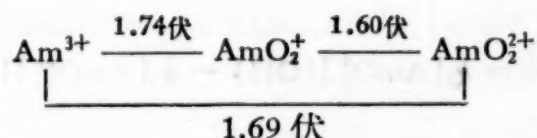
時間, 小时	濃 度		AmO ₂ ⁺ 的还原速度, 克分子升 ⁻¹ 时 ⁻¹ ×10 ⁶		v_s^1/v_s , %
	AmO ₂ ⁺ , 毫克 分子浓度	H ₂ O ₂ , 微克 分子浓度	观测值*	計算值**	
42	1.72	26	92	0.66	0.7
44	1.54	30	88	0.82	0.9
46	1.37	33	86	0.67	0.8
48	1.19	36	86	0.63	0.7
50	1.03	40	83	0.61	0.7
52	0.86	44	80	0.56	0.7
54	0.71	56	79	0.59	0.7
56	0.55	84	73	0.68	0.9
58	0.42	130	60	0.81	1.4
60	0.31	208	51	0.96	1.9
62	0.22	286	43	0.93	2.2
64	0.14	370	31	0.77	2.5

$$* \quad v_s = \frac{d[\text{AmO}_2^+]}{dt}$$

$$** \quad v_s^1 = k[\text{AmO}_2^+][\text{H}_2\text{O}_2]$$

表 2 看到,溶液中积聚的过氧化氢实际上并不参与 Am(V)的还原。

就 Am 的氧化还原电势^[10]:



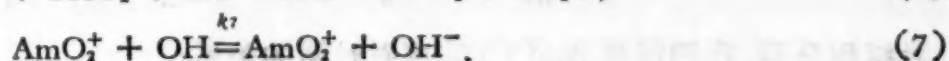
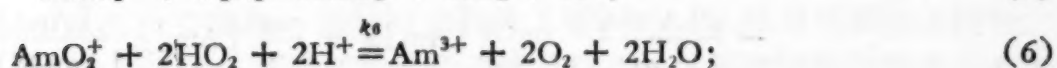
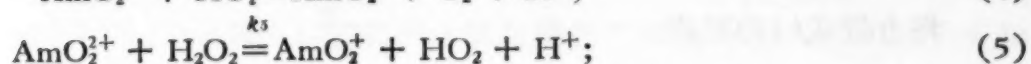
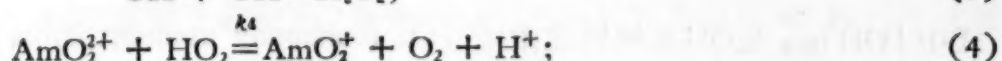
而言以及考虑了 Am(V) 和过氧化氢的相互作用的常数值不大,可以作出下述假定:

Am(V) 仅仅被 HO_2 基所还原;

Am(V) 可以被 OH 基氧化至 Am(VI), 且此反应和形成过氧化氢的反应竞争;

过氧化氢仅仅被消耗于 Am(VI) 的还原上。

在空气饱和的水溶液中 AmO_2^{2+} 和 AmO_2^+ 辐射还原的动力学可以用以下的反应来闡明:



在 AmO_2^{2+} 还原开始时期, 当 AmO_2^+ 的浓度还小时, 全部过程的动力学将由反应(1—5)所决定:

$$-\frac{d[\text{AmO}_2^{2+}]}{dt} = k_4[\text{AmO}_2^{2+}][\text{HO}_2] + k_5[\text{AmO}_2^{2+}][\text{H}_2\text{O}_2]; \quad (8)$$

$$\frac{d[\text{H}_2\text{O}_2]}{dt} = k_3[\text{OH}]^2 - k_5[\text{AmO}_2^{2+}][\text{H}_2\text{O}_2] = 0; \quad (9)$$

$$\frac{d[\text{HO}_2]}{dt} = r_{\text{H}}[\text{Am}]_{\text{总}} + k_5[\text{AmO}_2^{2+}][\text{H}_2\text{O}_2] - k_4[\text{AmO}_2^{2+}][\text{HO}_2] = 0; \quad (10)$$

$$\frac{d[\text{OH}]}{dt} = r_{\text{OH}}[\text{Am}]_{\text{总}} = 2k_3[\text{OH}]^2 = 0, \quad (11)$$

式中 r_{H} 和 r_{OH} 是在 Am^{211} 辐照下生成 H 和 OH 基的速度常数.

综合方程式(8—11), 我们得到:

$$-\frac{d[\text{AmO}_2^{2+}]}{dt} = (r_{\text{H}} + r_{\text{OH}})[\text{Am}]_{\text{总}} = k_a[\text{Am}]_{\text{总}}, \quad (12)$$

式中 $k_a = (r_{\text{H}} + r_{\text{OH}})$.

由方程式(11)得出辐射生成过氧化氢的产额等于 OH 基产额之半, 那时

$$k_a = r_{\text{H}} + 2r_{\text{H}_2\text{O}_2}.$$

当溶液中积聚时 AmO_2^+ 开始影响(6)和(7)反应, 并导致 AmO_2^{2+} 的还原速度减小和使 Am^{3+} 浓度增加.

当溶液中仅有 AmO_2^+ 和 Am^{3+} 时, 反应(1—3)和(5—7)是主要的反应. 既然 AmO_2^{2+} 根据反应(7)形成的浓度比 AmO_2^+ 的浓度小很多倍和在很大程度上不能和 AmO_2^+ 竞争 HO_2 基, 那反应(4)就可忽略. 在此情况下,

$$-\frac{d[\text{AmO}_2^+]}{dt} = k_6[\text{AmO}_2^+][\text{HO}_2]^2 + k_7[\text{AmO}_2^+][\text{OH}] - k_5[\text{AmO}_2^{2+}][\text{H}_2\text{O}_2]; \quad (13)$$

$$\frac{d[\text{AmO}_2^{2+}]}{dt} = k_7[\text{AmO}_2^+][\text{OH}] - k_5[\text{AmO}_2^{2+}][\text{H}_2\text{O}_2] = 0; \quad (14)$$

$$\frac{d[\text{OH}]}{dt} = r_{\text{OH}}[\text{Am}]_{\text{总}} - 2k_3[\text{OH}]^2 - k_7[\text{AmO}_2^+][\text{OH}] = 0; \quad (15)$$

$$\frac{d[\text{HO}_2]}{dt} = r_{\text{H}}[\text{Am}]_{\text{总}} + k_5[\text{AmO}_2^{2+}][\text{H}_2\text{O}_2] - 2k_6[\text{AmO}_2^+][\text{HO}_2]^2 = 0, \quad (16)$$

由此得

$$-\frac{d[\text{AmO}_2^+]}{dt} = \frac{r_{\text{H}}}{2}[\text{Am}]_{\text{总}} + \frac{r_{\text{OH}}}{2}[\text{Am}]_{\text{总}} \frac{[\text{AmO}_2^+]}{[\text{AmO}_2^+] + \frac{2k_3}{k_7}[\text{OH}]_{\text{固定}}}, \quad (17)$$

式中 $[\text{OH}]_{\text{固定}}$ 是 OH 基的固定浓度 (стационарная концентрация).

将方程式(17)写成

$$-\frac{d[\text{AmO}_2^+]}{dt} = \frac{r_{\text{H}}}{2}[\text{Am}]_{\text{总}} + \frac{r_{\text{OH}}}{2}[\text{Am}]_{\text{总}} \frac{[\text{AmO}_2^+]}{[\text{AmO}_2^+] + c} \quad (18)$$

并积分后, 我们得到 Am(V) 浓度对时间的关系:

$$[\text{AmO}_2^+] = [\text{AmO}_2^+]_0 - \frac{k_a}{2} [\text{Am}]_0 t + \beta_1 \ln \frac{[\text{AmO}_2^+]_0 + \beta_2}{[\text{AmO}_2^+] + \beta_2}, \quad (19)$$

式中 $k_a = r_H + r_{OH}$; $\beta_1 = \frac{r_{OH}}{k_a} c$; $\beta_2 = \frac{r_H}{k_a} c$.

当 $[\text{AmO}_2^+]_0$ 和 $[\text{AmO}_2^+]$ 间的差值不大时, 方程式(19)中对数项趋近于零, 且 AmO_2^+ 的浓度实际上随时间线性地改变着. 随着 AmO_2^+ 的还原, 开始影响到考虑 AmO_2^+ 的还原速度与其浓度之间关系的方程式(19)中的最后一项.

变换方程式(19)成

$$\beta_1 \ln([\text{AmO}_2^+] + \beta_2) = x - A, \quad (20)$$

式中

$$x = \frac{k_a}{2} [\text{Am}]_0 t + [\text{AmO}_2^+];$$

$$A = [\text{AmO}_2^+]_0 + \beta_1 \ln([\text{AmO}_2^+]_0 + \beta_2),$$

或变成指数函数的形式:

$$[\text{AmO}_2^+] = \frac{e^{x/\beta_1}}{e^{A/\beta_1}} - \beta_2, \quad (21)$$

就可以定出常数 β_1 和 β_2 .

所有在含有 x 的式中的各数值, 可以经验地确定, 同时基于这些数值可以制成方程式(21)的图表. 取以 $x_3 = \frac{x_1 + x_2}{2}$ 的关系相联系且相应于 AmO_2^+ , $[\text{AmO}_2^+]_i$ 的浓度的三个 x 值后, 我们可根据方程式

$$\beta_2 = \frac{[\text{AmO}_2^+]_1 [\text{AmO}_2^+]_2 - [\text{AmO}_2^+]_3^2}{[\text{AmO}_2^+]_1 + [\text{AmO}_2^+]_2 - 2[\text{AmO}_2^+]_3}, \quad (22)$$

求得常数 β_2 .

知道了常数 β_2 后, 可以绘制方程式(20)的图表, 根据所得到的斜率可以直接确定常数 β_1 的值. 图4是实验之一(0.2M HClO_4 + 1.0M Li_2SO_4)的 $\ln([\text{AmO}_2^+] + \beta_2)$ 对 $x = \frac{k_a}{2} [\text{Am}]_0 t + [\text{AmO}_2^+]$ 的关系图.

得到的线性关系证明: 方程式(19)和我们原先的前提本身被实验的结果证实了.

知道了常数 β_1 和 β_2 后, 可以确定常数 r_H 和 r_{OH} 以及氢基和 OH 基 (利用 r_i 和 G_i 间的联系) 的产额值. 显然,

$$\beta_1 + \beta_2 = \frac{r_{OH}}{k_a} c + \frac{r_H}{k_a} c = \frac{r_{OH} + r_H}{k_a} c = c. \quad (23)$$

代 $c = \beta_1 + \beta_2$ 到 β_1 和 β_2 的式子中, 得

$$r_{OH} = \frac{\beta_1}{\beta_1 + \beta_2} k_a; \quad r_H = \frac{\beta_2}{\beta_1 + \beta_2} k_a. \quad (24)$$

假如考虑到 $r_{\text{H}_2\text{O}_2} = \frac{r_{OH}}{2}$, 那在确定了常数 k_a , β_1 和 β_2 后, 可以计算不同溶液(表3)中过氧化氢和氢基产额值. 所引的 0.1 和 1.0M H_2SO_4 溶液中过氧化氢的产额值与在 Am^{3+} 溶液中直接测得过氧化氢积聚的 $G_{\text{H}_2\text{O}_2}$ 值很好地吻合. 这种吻合证实了所述 AmO_2^+ 还原机制的正确性.

图5是在恒定酸度下, AmO_2^+ 的还原产额和过氧化氢及氢基的部分产额随硫酸锂和高氯酸钠浓度的改变图. 取 0.1M H_2SO_4 中所得到的 $G_{\text{H}_2\text{O}_2}$ 和 G_H 值作为相应于 0.2M HClO_4 (Li_2SO_4

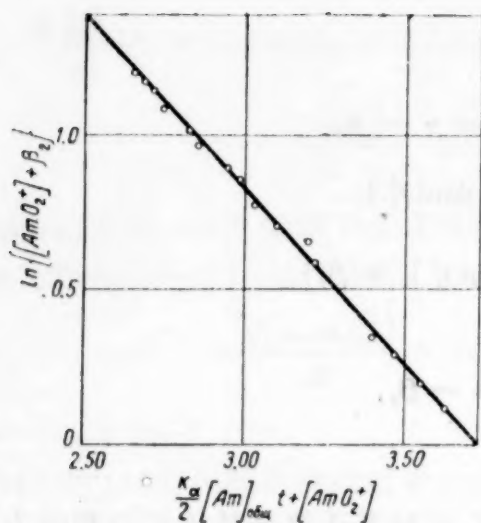


图4 $0.2M \text{HClO}_4 + 1.0M \text{Li}_2\text{SO}_4$
 实验中 $\ln\{[\text{AmO}_2^+] + \beta_2\}$ 对 $\frac{k_a}{2} \times$
 $[\text{Am}]_{\text{总}} t + [\text{AmO}_2^+]$ 的关系:
 $[\text{Am}]_{\text{总}} = 3.19$ 毫克分子浓度;
 $\frac{k_a}{2} = 1.58 \times 10^{-2}$ 时 $^{-1}$;
 $\beta_2 = 0.90$ 毫克分子浓度.

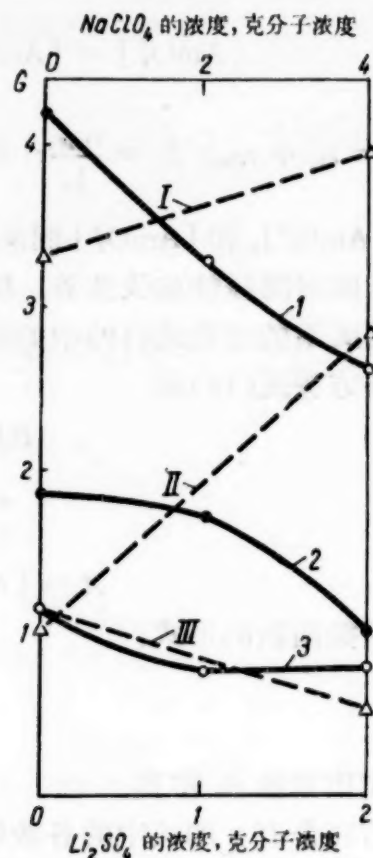


图5 AmO_2^{2+} 的还原产额和过氧化氢及氢基
 的部分产额随硫酸盐离子和高氯酸盐离子浓
 度的改变.

I— $G_{\text{Am(VI)}}(0.2M \text{HClO}_4 + nM \text{Li}_2\text{SO}_4) n = 0, 1, 2$;
 2— $G_{\text{H}}(0.2M \text{HClO}_4 + nM \text{Li}_2\text{SO}_4) n = 0, 1, 2$;
 3— $G_{\text{H}_2\text{O}_2}(0.2M \text{HClO}_4 + nM \text{Li}_2\text{SO}_4) n = 0, 1, 2$;
 I— $G_{\text{Am(VI)}}(2M \text{HClO}_4 + nM \text{NaClO}_4) n = 0, 4$;
 II— $G_{\text{H}}(2M \text{HClO}_4 + nM \text{NaClO}_4) n = 0, 4$;
 III— $G_{\text{H}_2\text{O}_2}(2M \text{HClO}_4 + nM \text{NaClO}_4) n = 0, 4$.

表3 在硫酸或氯酸的溶液中氢基和过氧化氢的产额

溶液的组成和浓度, 克分子/升	$G_{\text{H}_2\text{O}_2}$, 克分子/100 电子伏	G_{H} , 克分子/100 电子伏
0.1 H_2SO_4	1.16 ± 0.04	1.86 ± 0.11
1.0 H_2SO_4	0.54 ± 0.04	1.87 ± 0.07
0.2 HClO_4 + +1.0 Li_2SO_4	0.78 ± 0.04	1.73 ± 0.08
0.2 HClO_4 + +2.0 Li_2SO_4	0.81 ± 0.04	1.01 ± 0.02
2.0 HClO_4	1.15 ± 0.03	1.02 ± 0.09
2.0 HClO_4 + +4.0 NaClO_4	0.56 ± 0.02	2.82 ± 0.04

的浓度为零)的实验点。因为 AmO_2^{2+} 在 $0.2M \text{HClO}_4$ 和 $0.1M \text{H}_2\text{SO}_4$ 中的还原产额实际上是相同的(见表1), 故这样的置换被证明是正确的。

如由图5所见, Li_2SO_4 浓度的增加, 由于氢基和过氧化氢的产额减小, 导致 AmO_2^{2+} 还原产额的减小。过氧化氢随着 Li_2SO_4 或 H_2SO_4 浓度的增加而减少以及与此有关的 AmO_2^{2+} 的还原产额的减小(见表1和表3)可以解释为在硫酸溶液中存在着这样的反应:



或



而就是这些和 $\text{OH} + \text{OH} = \text{H}_2\text{O}_2$ 反应相竞争的反应减低了过氧化氢的产额。HSO₄ 基或当它参加过酸形成的 H₂SO₅ 和 H₂S₂O₈ 能够氧化 AmO₂²⁺ 至 AmO₂³⁺，更加减小了 AmO₂²⁺ 的还原产额。当 γ 辐照硫酸溶液时生成过酸 H₂SO₅ 和 H₂S₂O₈，曾为丹尼尔斯，那盖翁和瓦易斯 (M. Daniels, J. Lion, J. Weiss)^[11] 实验证明。在 10M H₂SO₄ 中根据和 6MH₂SO₄ 比较看出的 AmO₂²⁺ 的还原产额有某些增加，看来系由于辐射直接作用于 H₂SO₄ 分子导致还原剂型的 SO₂ 生成所造成的。

在增浓的 (9 和 12M) 氯酸溶液中，镅的还原产额和在硫酸溶液中的以及极其稀释的氯酸溶液中的还原产额相差很大。在 9M HClO₄ 中，原先为 ~2.9 的 AmO₂²⁺ 的还原产额迅速地减低 (图 6)。随着镅的总浓度的增加，从而辐射剂量增加，还原产额减少得更为剧烈。在 12M HClO₄ 中，经历 300 小时未觉察出 AmO₂²⁺ 的还原现象。此现象从镅的高价态的稳定性观点来看是很有趣的。镅在增浓的氯酸中减慢了还原作用或完全不出现还原现象可能和氯酸的辐射分解有关。诒丁 (M. Cottin)^[12] 曾指出：当 γ 辐射作用于增浓的氯酸溶液时，有 Cl₂ 和 ClO₂ 生成。可以推测，Am²⁴¹ 的辐射作用也引起氯和二氧化氯的生成，而这些东西阻碍了 Am(VI) 和 Am(V) 的还原。这种推测被下列观察所证实：Am³⁺ 的 9 和 12M HClO₄ 溶液的光密度在光谱的短波 (λ < 500 毫微) 区迅速地增加，这可以认为是由于在这一光谱区吸收的 Cl₂ 和 ClO₂ 的形成。

温度对 AmO₂²⁺ 还原速度的影响曾在 4.0M HClO₄ + 2.0M NaClO₄ 溶液中研究过。在 4.0M HClO₄ + 2.0M NaClO₄ 的溶液中，对于温度为 25, 50 和 75°C 时 AmO₂²⁺ 的还原产额值列举于下：

温度 °C	G _{AmO₂²⁺} , 离子/100 电子伏
25	3.67
50	4.07
75	15.9 ^{*)}

在温度为 75°C 时 AmO₂²⁺ 的还原产额随 Am(VI) 的浓度减小而减小。基于 AmO₂²⁺ 还原速度随温度的增高而增大，以及还原速度取决于 AmO₂²⁺ 的浓度，可以假定：因为辐射还原产额不应该很取决于温度，当升高温度时，有 AmO₂²⁺ 被水还原的现象发生。这一假定可以最终地用镅的长寿命的同位素——Am²⁴³ 来研究确定。

Am(VI) 和 Am(V) 在硝酸溶液中的辐射还原 图 7 上是镅的平均价态随硝酸的浓度而变化的曲线。曲线的直线部分符合于溶液中 Am(VI) 的含量，它证实了 AmO₂²⁺ 辐射还原的一般动力学的规律性的存在 (在氯酸和硫酸溶液中观察到的)，并也适用于硝酸溶液。



图 6 辐射还原作用下，9.0M HClO₄ 中镅的平均价态(N)的变化
镅的浓度，毫克分子浓度：1—4.69；2—4.60；3—3.83；4—2.02。

^{*)} AmO₂²⁺ 的起始的还原产额值。

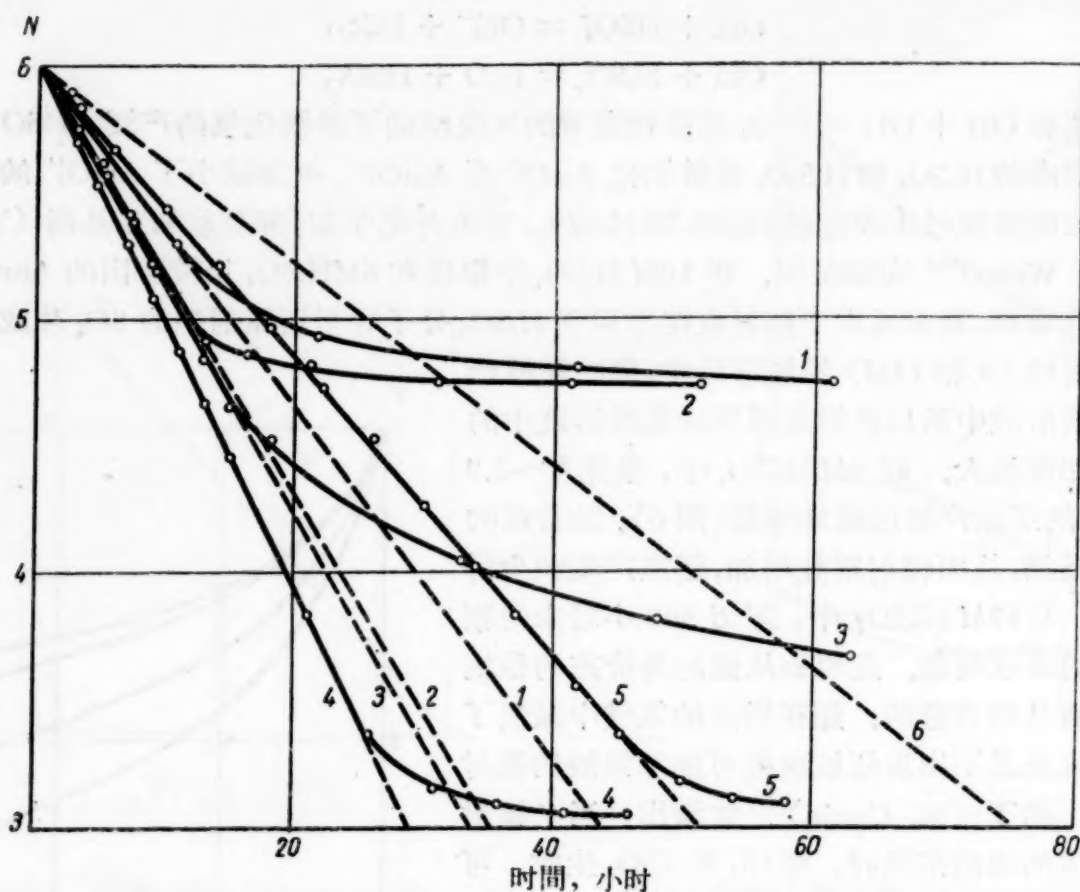


图7 在硝酸中, 当在辐射还原作用下, 镅的平均价态(N)的变化
 1—0.5M HNO_3 ; 2—3.0M HNO_3 ; 3—6.0M HNO_3 ; 4—9.0M HNO_3 ;
 5—14.3M HNO_3 ; 6—0.2M HClO_4 .

然而, Am(VI) 在硝酸中的还原产额大约比在 0.2M HClO_4 和 0.1M H_2SO_4 中得到的最大产额要高 1.5—2 倍, 且与氯酸和硫酸溶液相反, 它随硝酸浓度的增加而增加(14.3M HNO_3 例外, 那里 AmO_2^{2+} 的还原产额减低着). 在硝酸溶液中得到的 AmO_2^{2+} 的还原产额和速度常数数值列举如下:

HNO_3 浓度, 克分子	$k_a \cdot 10^3, \text{时}^{-1}$	$G_{\text{AmO}_2^{2+}}, \text{离子/100 电子伏}$
0.5	6.9	7.1
3.0	8.6	8.9
6.0	8.7	9.0
9.0	10.3	10.6
14.3	5.8	6.0

Am(V) 与 Am(VI) 不同, 它在硝酸中还原很慢, 并且它的还原速度随 AmO_2^+ 的浓度减小而减小. AmO_2^+ 还原速度最大值在 0.5M HNO_3 中每小时是 $\sim 1\%$, 在 3.0M HNO_3 中每小时是 $\sim 0.8\%$. 在硝酸溶液中未发现过氧化氢.

AmO_2^{2+} 和 AmO_2^+ 在硝酸中的辐射还原特性比起在氯酸和硫酸中的特性有所改变, 这种改变致使不得不假定: 在硝酸溶液中还原作用的进行是由于当基作用于硝酸时形成二级产物的缘故. 该种二级产物(以当量表示)的总产额高于水辐射分解的还原产物的总产额, 也就导致 AmO_2^{2+} 还原速度的增长. 另一方面, 对 AmO_2^+ 来说所得到的二级产物是弱还原剂.

Ce(IV) 在硝酸中还原产额类似的增加, 曾用形成亚硝酸盐离子来解释^[13]. 我们曾证实亚硝酸盐离子对 AmO_2^+ 的还原作用. 曾指出: 加入十倍于 AmO_2^+ 的亚硝酸钠不能使 1.0M HNO_3 中缓慢的 AmO_2^+ 的辐射还原速度加快. 相反, 亚硝酸盐倒有效地还原了 AmO_2^{2+} 离子. 这种对

亚硝酸盐离子不同的关系,看来,也可以解释为:在硝酸溶液中 AmO_2^{2+} 和 AmO_2^+ 的还原特性不同.

译自 Атомная энергия том 7 (1959) вып. 1, 37—46.

参 考 文 献

- [1] L. Werner, I. Perlman: *J. Amer. Chem. Soc.*, **73**, 495 (1951).
- [2] S. Stephanou, J. Nigon, R. Penneman: *J. Chem. Phys.*, **21**, 42 (1953).
- [3] G. Hall, P. Herniman: *J. Chem. Soc.*, 2214 (1954).
- [4] L. Asprey, S. Stephanou: AECD-924 (1950).
- [5] S. Gunn: UCRL-2541 (1954).
- [6] Г. Н. Яковлев, А. А. Зайцев, В. Н. Косяков, А. Г. Рыков, Ю. П. Соболев: Сб. «Изотопы и излучения в химии». Изд-во АН СССР, 1958, стр. 326.
- [7] G. Hall, T. Markin: *J. Inorg. and Nucl. Chem.*, **2**, 202 (1956).
- [8] G. Hall, T. Markin: *J. Inorg. and Nucl. Chem.*, **4**, 296 (1957).
- [9] Г. Н. Яковлев, В. Н. Косяков: Исследования в области геологии, химии и металлургии. Доклады советской делегации на Международной конференции по мирному использованию атомной энергии (Женева, 1955). Изд-во АН СССР, 1955, стр. 237.
- [10] Р. А. Пеннеман, Л. Б. Аспрей: Химия ядерного горючего. Доклады иностранных ученых на Международной конференции по мирному использованию атомной энергии (Женева, 1955). Госхимиздат, 1956, стр. 475.
- [11] M. Daniels, J. Lion, J. Weiss: *J. Chem. Soc.*, 4388 (1957).
- [12] M. Cottin: *J. Chim. Phys.*, **53**, 903 (1956).
- [13] G. Challenger, B. Masters: *J. Amer. Chem. Soc.*, **77**, 1063 (1955).

鈾的矿物学特征

盖拉西莫夫斯基 (В. И. Герасимовский)

文中討論了鈾的矿物学如下諸特征:(1)所有的已知鈾矿物和含鈾矿物成分中均含有氧;(2)鈾在矿物中只有处于四和六价状态的;(3)地壳中大部分鈾集中在非鈾矿物里,成为它們里面其他元素(鈷、鋳、稀土元素等)的类质同像交替物;(4)鈾矿物和含鈾矿物可以在各种各样的矿物形成过程中形成;(5)放射性是鈾的矿物的最大特征之一。

鈾在地壳中有各种各样存在的方法。鈾在地壳中形成化学化合物(矿物),以类质同像离子的形式参加到許多非鈾矿物的晶体結構中去,以及处于分散状态(在組成岩石的矿物晶体和顆粒表面,以被吸附的形式存在)和溶解状态(在矿物的液态包裹物中和岩石的顆粒間液体中)。

鈾的最典型的矿物学特征如下:

所有的已知鈾矿物和含鈾矿物^{*}成分中均含有氧 鈾是化学活泼性很高的元素,自然界缺乏天然鈾就能証实这点;鈾的特征不仅是与氧共生,而且与磷、砷、钒、硅、鈦、鋳、鉍、鈾、稀土元素、鈷、鈣、銅及其他元素共生。自然界条件下,鈾可以和許多元素起反应,形成很多种鈾矿物和含鈾矿物。

鈾的矿物有各种各样的化学成分。現在已知,鈾的矿物已超过 100 种。一般可把它們分为如下諸类:氧化物,氢氧化物(简单的和复杂的),硅酸盐,碳酸盐,硫酸盐-碳酸盐,硫酸盐,磷酸盐,砷酸盐,钒酸盐和鉍酸盐。

含鈾矿物中含鈾量最多的矿物有:鈦、鋳、鉍的复杂氧化物(鈦酸盐,鈦鉍鋳酸盐),鋳、鈷和稀土元素的硅酸盐,磷酸盐等。

鈾在矿物中只有处于四和六价状态的 在各种成因(岩浆、伟晶岩、热液和沉积)的原生鈾矿物和含鈾矿物中,鈾基本上都是四价,間或有四和六价的;后者一般占次要数量。氧化带形成的矿物中,鈾总是六价的,可是它并不以 U^{6+} 离子的形式加入这些矿物,而是以 $[UO_2]^{2+}$ 絡合正离子的形式加入。由于 $[UO_2]^{2+}$ 离子的半径較大,故难于以类质同像物进入非鈾矿物的晶体結構中去,于是也限止了六价鈾以类质同像形式分散在其他矿物中。这也就是氧化带中广泛发育着各种各样鈾的次生矿物的道理。

地壳中大部分鈾集中在非鈾矿物里,成为它們里面其他元素(鈷、鋳、稀土元素等)的类质同像交替物 这些矿物里,鈾的含量有时相当可观,特別在鈦、鋳和鉍的复杂氧化物类矿物中。

四价鈾以类质同像而进入含鈷、鋳和稀土元素的矿物中,是由于它們的离子半径大小相近所致,以埃(Å)計: $U^{4+} = 1.05$; $Th^{4+} = 1.10$; $Ce^{4+} = 1.02$; $Ce^{3+} = 1.18$; $Y^{3+} = 1.06$; $Zr^{4+} = 0.87$; $Ca^{2+} = 1.06$ 。因为鈾在地壳中的量少于鈷、鋳、稀土元素或鈣,所以它常常分散在这些元素的矿物結構里。

氧化物类的矿物,如方鈷石及其变种里,鈾以类质同像交替鈷。不久前曾查明^[1],从晶質鈾矿($U_{1-x}U_x^{6+}O_{2+x}$)到方鈷石(ThO_2)有一个連續的类质同像过渡系列。这些矿物都有相同的、类似螢石的等軸結構。

^{*} 鈾在其中以类质同像交替其他元素的矿物。

鈾、鈮和鉭的复杂氧化物类矿物里,鈾一般在下列矿物的成分内:矿物中鈮多于鉭,并有許多稀土元素或鈣,而且鈳族稀土元素的量大大超过鉕族稀土元素。在这样的矿物里,鈾以类质同像交替的首先可能是鈳族稀土元素,也有可能是鈣。这些元素和四价鈾几乎有相等的离子半径,此外,这些矿物中鈳族稀土元素的量大大超过鉕族稀土元素。鈾交替鈳族稀土元素的简单过程可以 $U^{4+} Ti^{4+} \rightarrow Y^{3+} Nb^{5+}$ 的形式表示。复杂氧化物类的含鈾矿物成分中总是有鈾的。

磷酸盐中,鈾以类质同像交替鈳(独居石中的鈳)、鈳族稀土元素(磷鈳矿中的)、并还可能交替鈣(磷灰石中的)。磷鈳矿中,鈾以类质同像交替鈳时,可能是按如下过程进行的: $U^{4+} Ca^{2+} \rightarrow 2Y^{3+}$ 。在含有鈾的磷鈳矿中,一般也有鈣存在。

硅酸盐中,鈾以类质同像交替鈳(在鈳石及其变种里的)、稀土元素(褐帘石里的)和鋯(鋯石及其变种里的),而且后一种情况下鈾极可能不仅交替鋯,还能交替稀土元素,因在鋯石的某些变种里往往存在着显著数量的稀土元素(TR_2O_3 达 15.89%)。

应指出,地壳中的鈾,大部分并不是集中在鈾矿物和含鈾矿物中,而是处于分散状态,这一点首先是由維尔納茨基(В. И. Вернадский)注意到的^[2]。

鈾矿物和含鈾矿物有各种不同的形成条件 它們是在各式各样的矿物形成作用中形成的:有岩浆的、伟晶岩的、热液的、沉积的、变质的,还有表生带中风化作用时形成的。鈾矿物和含鈾矿物的共生組合也有很多不同。

岩浆作用时一般形成含鈾矿物,間或有鈾矿物。它們这一列中包括:硅酸盐(褐帘石、鋯石、鈳石、榍石),磷酸盐(磷鈳矿、独居石、磷灰石),氧化物(方鈳石,可能还有鈾的氧化物和复杂氧化物,諸如:鈳鈾矿、烧綠石、黑稀金矿-复稀金矿組的矿物,褐鈳鉭矿及其他)。属于氧化物和复杂氧化物的矿物,在岩浆岩中很少見,而且量不多。硅酸盐类和磷酸盐类中的含鈾矿物分布虽广,但不能形成大的堆积,鈾在其中含量不大。

岩浆成因的矿物中,鈾主要是四价的,并且以类质同像交替其中的鈳、鋯、稀土元素和鈣。

伟晶岩中絕大部分的鈾倒不是富集在鈾矿物(主要是晶质鈾矿及其变种)里,而是富集在含鈾矿物里。含鈾矿物之中分布最广的是复杂氧化物类的矿物,特別是鈳鉭鈮酸盐。

鈾矿物和含鈾矿物中的鈾一般是四价,往往也有四和六价的。四价鈾以类质同像交替鈳、稀土元素、鈣和鋯。

有鈾矿物和含鈾矿物在内的伟晶岩,照例都与酸性岩石有关,而且在加拿大、巴西、斯堪的那维亚、非洲、澳洲、印度的前寒武紀地盾的面积内分布最广。据貝奇的資料^[3],鈾矿物和含鈾矿物在大多数情况下生于富含鉀长石的伟晶岩内,而在伟晶岩里,又生于富含紋长石的带中。伟晶岩中的鈾矿物和含鈾矿物有各种各样的共生組合。

現在,从伟晶岩中开采鈾矿石的只有加拿大安大略省的班克罗夫特伟晶岩,其組成是微斜长石、酸性斜长石和石英。这些伟晶岩里有晶质鈾矿、鈳鈳石、螢石、鋯石、榍石、黄鉄矿、磁黄鉄矿和方解石^[4]。

热液作用的特征是有少量的鈾矿物。热液成因的矿床中只有鈾的氧化物(晶质鈾矿和瀝青鈾矿*)分布才广,另有少量的复杂氧化物(鈳鈳鉄矿)和硅酸盐(鈳石)。热液成因的晶质鈾矿和瀝青鈾矿中,照例都沒有或只有少量(一般不超过1%)的鈳和稀土元素,然而伟晶岩里的晶质鈾矿中却含到12.24%的 TR_2O_3 和14%以上的 ThO_2 。維尔納茨基(В. И. Вернадский)^[2]第一个指出,虽然在伟晶岩中鈾和鈳有共同的地球化学命运,但热液作用时却只有鈾。同时他

* 属于晶质鈾矿的是以晶体出現的鈾的氧化物,而属于瀝青鈾矿的是隱晶质的,一般是胶状、致密状、腎状、泉华状和葡萄串状分泌物。

也指出了热液成因的瀝青鈾矿成分中缺乏鈾。岩浆后期鈾鈾分开是由于四价鈾氧化成为六价鈾,被热水溶液带出而与四价鈾分离的缘故。

晶質鈾矿和瀝青鈾矿中,鈾是四和六价的,而且,如果这些矿物未受到外生变化,則四价鈾一般居多数。六价鈾在晶質鈾矿和瀝青鈾矿中出现,是由于放射性蜕变时四价鈾氧化的結果;可能在这些矿物形成的时候,它就已进入了矿物成分中。

热液成因的矿床和矿点中,鈾的氧化物(晶質鈾矿和瀝青鈾矿)有各种各样不同的共生組合。鈾的氧化物几乎始終与硫化物、石英和碳酸盐在一起。最有意义的矿物共生組合之一,要算是鈾-鎳-鈷-銀-鉍組合了,或者往往称为砷化物組合。这种类型的鈾矿床具有鎳、鈷和鉄的砷化物,也有天然鉍和銀,还常有銅、銀等的硫化物。鈾矿物之中見有瀝青鈾矿。矿化順序在加拿大埃尔多拉多矿床为如下^[5]:赤鉄矿—石英;瀝青鈾矿—石英;石英—鎳和鈷的砷化物;銅硫化物—綠泥石;碳酸盐—自然金属(銀、鉍)。

热液成因的鈾矿床和矿点中第二种分布最广的矿物組合,是鈾的氧化物与硫化物(硫化物型矿床)的組合。这种組合有各种各样的情况,故其中又可分为如下几种亚类:

1. 瀝青鈾矿与普通硫化物、黄鉄矿(有时白鉄矿)、閃鋅矿、方鉛矿和黄銅矿的組合。其中分布最广的一般是黄鉄矿。脉石矿物之中有石英(往往是玉髓状和碧玉状的),有时有碳酸盐和螢石。作为实例可以举出法国、葡萄牙及其他国家的一些鈾矿床^[6]。

2. 瀝青鈾矿与輝鉍矿的組合,这是苏联鈾的热液矿床中分布最广的組合之一。与瀝青鈾矿和輝鉍矿共生的还有黄鉄矿、毒砂、純閃鋅矿、方鉛矿、黄銅矿、白鉄矿、方解石、石英、鉄白云石、錳鉄白云石、綠泥石、水云母和螢石^[7]。

瀝青鈾矿与天然輝鉍矿(硫鉍矿)共生的現象已在犹他州的墨里斯魏矿床上发现,那里发现瀝青鈾矿与黄鉄矿、磁鉄矿、赤鉄矿、石英、玉髓、螢石和冰长石在一起。該矿床上除了原生的硫酸鉍矿外,还发现了次生的鉍矿物:鉍鈾矿(鈾的鉍酸盐)和蓝鉍矿^[8]。

3. 瀝青鈾矿与方鉛矿的組合在苏联的一些矿床上已确定。瀝青鈾矿和方鉛矿伴随有以下諸矿物:輝鉍矿、閃鋅矿、黝銅矿、土質堇青石、黄銅矿、白鉄矿,还有方解石、絹云母、螢石、鈉长石、石英、綠泥石等^[7]。

4. 瀝青鈾矿与閃鋅矿的組合在苏联的一些矿床上已发现。瀝青鈾矿和閃鋅矿与方鉛矿、輝鉍矿、黄銅矿、綠泥石、石英、方解石、螢石等在一起^[7]。

5. 瀝青鈾矿与銅的硫化物的組合在苏联某些矿床上有广泛分布。与瀝青鈾矿的共生組合中找到了以下諸矿物:自然銅、鉍和銀、針鉄矿、赤鉄矿、黄銅矿、斑銅矿、輝銅矿、銅蓝、白鉄矿、閃鋅矿、方鉛矿、砷黝銅矿、輝鉍矿、方解石,偶然也有石英、綠泥石、白云石、重晶石等^[7]。

6. 晶質鈾矿与金的組合。这种組合見于墨西哥的奇瓦瓦矿床和科罗拉多州圣拉西集区的矿床。奇瓦瓦矿床上的鈾矿(晶質鈾矿)見于石英和方解石夹少量长石的脉内。矿石矿物为:晶質鈾矿、黄鉄矿、自然金和少量的磁鉄矿。在圣拉西集区的矿床^[9]上,含碳酸盐的石英脉中有瀝青鈾矿,与自然金和硫化物(黄鉄矿、閃鋅矿、黄銅矿、硫砷銅矿)成共生組合。

7. 瀝青鈾矿与銀的組合見于蒙塔那州的博烏德尔岩基区的矿床上。此处的瀝青鈾矿与輝鉍矿、黄鉄矿、方鉛矿、閃鋅矿和黄銅矿在一起,脉石矿物則有微晶石英、玉髓、方解石和菱鉄矿^[10]。

8. 晶質鈾矿与鈷和鎳的硫化物的組合見于比属刚果的申戈洛布維矿床^[11]。那里广泛地分布着硫化物:卡硫鈷矿(CoS_2)、鎳卡硫鈷矿、二硫鎳矿(NiS_2)、鈷-二硫鎳矿和方硫鎳鈷矿(含鎳的硫鈷矿)。一般的副矿物是:黄鉄矿、黄銅矿和輝鉍矿;也发现有金。矿床上碳酸盐(菱鎂矿、白云石)相当发育,其他非金属矿物中应提出的是石英和綠泥石。据德里克斯(Ж. Деррикс)

和魏斯 (Ж. Баес) 的資料, 矿床上矿物組合沉积的次序如下: 第一阶段形成菱錳矿, 第二阶段分出品質鈾矿, 第三阶段沉积輝鉬矿、独居石和綠泥石 (矽也与該阶段有关), 第四阶段沉积鈾和錳的硫化物 (二硫錳矿、卡硫鈾矿以及它們的变种), 第五阶段形成白云石和黃銅矿。

热液成因的矿床也具有瀝青鈾矿与赤鉄矿的組合, 而赤鉄矿是分布最广的矿石矿物 (第三类型)。硫化物則几乎始終存在, 但为量不多, 其中最普通的主要是黃鉄矿、黃銅矿和方鉛矿。脉石矿物有方解石、石英和綠泥石。属于本类型的矿床有加拿大薩斯卡奇温省阿塔巴斯克湖以北的比維洛支湖区的鈾矿床^[12, 13]。

品質鈾矿与硅鈾鈣錳矿共生的情况也有很大意义, 这两种矿物可能是热液成因 (第四类型)。硅鈾鈣錳矿^[14] 見于鉄鈾矿床的鈉交代作用带, 与鈾鈾矿、鉍榴石、品質鈾矿、含鈾的水鋁石和磷灰石共生。

热液成因的鈾矿物列中还可能包括鈾鈾鉄矿。它与其他矿物的共生 (第五类型) 很为特殊, 并且对于热液成因的矿床來說不很典型。例如澳洲的拉奇烏希尔的鈾鈾鉄矿, 常与金紅石、鈾鉄矿、赤鉄矿紧密共生, 間或与磁鉄矿共生, 而非金属矿物中的石英和黑云母也共生^[15]。

鈾矿物之中的鈾石, 在热液矿床中虽然少見, 但也有。

热液矿床上除了鈾矿物的上列諸組合外, 还有品質鈾矿和瀝青鈾矿的其他共生組合。

沉积成因的岩石形成作用中, 只有少部分鈾进入鈾矿物的成分内。属于沉积成因鈾矿物之列的有瀝青鈾矿和鈾石。瀝青鈾矿分布甚广, 而且在沉积岩中一般与有机物质、鉄的硫化物 (黃鉄矿、白鉄矿) 共生, 間或与銅、鉛、鋅的硫化物, 磷酸盐共生, 有时則与鈾、鉬等共生。

沉积矿床, 例如美国科罗拉多高原的矿床, 其瀝青鈾矿的特征是与鈾 (монтрозеит, 鈾云母), 鉄的硫化物 (黃鉄矿、白鉄矿), 銅的硫化物 (黃銅矿、斑銅矿、輝銅矿和銅藍), 鉛的硫化物 (方鉛矿), 碳酸盐 (方解石、白云石) 以及有机物质有关^[16]。

鈾石仅在科罗拉多高原普遍見到。例如新墨西哥州的安勃罗集亚列克矿床是美国最大的鈾矿床之一, 那里的鈾就是鈾石, 并与瀝青物质紧密联系^[17]。

沉积岩中的絕大部分鈾也和岩浆岩中的鈾一样处于分散状态。鈾在沉积岩中的分布不均匀。专门在有机物质、鈣的磷酸盐、黏土类的矿物、鉄和錳的氢氧化物中。特別典型的是分散的鈾与有机物的关系, 它常常富集在有机物内。維尔納茨基早在 1934 年曾就此問題写过: 鈾被有机物质所富集, 是鈾在地球化学历史中的一个特殊事实^[2]。

現在大家都承認, 沉积物的有机物质内富集着鈾。美国、瑞典及其他国家已很清楚地知道有含鈾的黑色海相頁岩^[18, 19]。鈾还見于煤和含油岩石中, 呈含鈾瀝青 (瀝青岩) 而出現。

根据近代研究者的概念^[20, 21], 煤和頁岩中的有机物质使鈾集中的作用, 是由于形成鈾的氧化物 (瀝青鈾矿)、鈾被吸附 (极可能以氧鈾离子 UO_2 的形式被吸附) 以及形成鈾的有机絡合物 (鈾的腐植酸盐和 фульват, 含鈾的 меланоидин) 的結果, 鈾在这些物质里可能处于六和四价状态。有时在煤中的絕大部分鈾都处于氧化物的形式, 并与黃鉄矿紧密組合^[22]。

有机物质在还原条件下进行分解时就形成硫化氢, 与天然有机物中的碳一起促进六价鈾还原到四价鈾, 使它沉淀成为微細分散的鈾的氧化物 (瀝青鈾矿)。沉积成因的矿床中, 瀝青鈾矿一般伴有黃鉄矿。

鈾还可以富集在含磷灰岩的海相沉积岩里。鈾进入磷酸鈣的方式, 有些人認為是以类质同像交替其中的鈣^[23, 24], 另外有些人認為是由于吸附所致^[25]。在磷酸盐类的岩石中, 即使鈾含量很高也不能形成鈾矿物。

應該指出: 日本“訖許同卦”矿床的湖相地层里曾发现了新的鈾矿物 (нингѐнт) —— $CaU^{4+}(PO_4)_2 \cdot nH_2O$ ^[26]。

沉积岩中堆积铀时无论在形成沉积岩的同时(同生矿床)或在以后(后生成矿),起主要作用的都是吸附作用。

含铀的沉积岩中还包括独居石砂矿。例如印度的独居石成分中含有 0.2—0.46% 的 U_3O_8 和 5—11% 的 ThO_2 。那里已经确定了一种独居石的变种,称为“чералит”,含 4—6% 的 U_3O_8 和 19—32% 的 ThO_2 。

铀在变质作用时的情况研究得还差。变质矿床里的铀矿物中已确定的有铀的氧化物:晶质铀矿、沥青铀矿、铀铀矿,它们都与钍沥青铀矿成共生组合。属于变质成因的铀矿床之列者有南非联邦的维特瓦特尔斯兰,加拿大的勃兰德河等含铀砾岩。

维特瓦特尔斯兰矿床的晶质铀矿或与钍沥青铀矿在一起,或不在一起,但总见于含金砾岩中,砾岩由细粒石英、絹云母和綠泥石所胶结成的石英卵石组成。砾岩中还有黄铁矿、磁黄铁矿、方铅矿、閃鋅矿、黄铜矿、镍黄铁矿、輝鈷矿、硫鈷矿和砷黄铁矿。钍沥青铀矿是固体碳氢化合物、铀的氧化物及其他矿物的混合物^[27]。

勃兰德河区域的含铀砾岩中^[28],铀矿物(铀铀矿、晶质铀矿、沥青铀矿)都在基质内,而基质胶结着砾岩并且是由石英颗粒、絹云母、綠泥石和黄铁矿(达 15%)所组成。黄铁矿则与铀矿物紧密共生,共生组合中除铀矿物外还有钍沥青铀矿。此外,含铀砾岩中曾发现了磁黄铁矿、方铅矿、閃鋅矿、黄铜矿、輝鈷矿、白铁矿和輝鈷矿。

风化作用的结果,由铀的原生矿物,主要是晶质铀矿和沥青铀矿,在表生作用带中形成许多次生的铀矿物,尤其在氧化带的次生铀矿物种类特别繁多。

氧化带矿物中的铀一般是六价的,并且以氧铀类(UO_2)²⁺的形成而起着二价阳离子的作用。

属于胶结带所形成的铀的次生矿物之列者有铀黑(氧化物)、水沥青铀矿和水斑铀矿(氢氧化物)、莱蒙托夫石(磷酸盐)、多水铜铀矿(钼酸盐)。胶结带形成的铀矿物中,铀是四和六价,而且六价铀一般多于四价铀。

表生作用带内铀矿物的成分及其共生组合首先决定于原生的矿石矿物和脉石矿物、以及铀矿所在围岩的成分,其次也决定于气候、地形、构造、水文地质条件等。

氧化带铀的矿物共生组合种类殊为繁多,但可以分为两个主要类型。

第一种类型以铀的磷酸盐和砷酸盐为特征。一般是在矿床的氧化带内形成,其原生矿石中有许多硫化物(特别是黄铁矿)。硫化物破坏时,氧化带中的溶液具有硫酸盐的性质,结果就出现了适宜的条件,使铀溶解并从铀矿床的氧化带中带走,而且在氧化带中还形成铀的次生矿物,其成分往往殊为繁复。这些矿物在铀矿床的氧化带中的分布有时具有分带性。例如氧化带发育良好的矿床之中,曾经有一个矿床经过研究和描述^[29],该矿床上铀的矿物分布具有明显的垂直分带性:沥青铀矿—铀黑—铀的砷酸盐—铀的磷酸盐—铀的硅酸盐—含铀的玻璃蛋白石等。

通常把氧化带划分为三个发育阶段:早期、中期和末期^[30]。氧化带水中阴离子(SO_4^{2-})的作用,到了氧化带发育的末期已经变得微不足道,而(CO_3^{2-})和(SiO_3^{2-})离子却具有了很大的意义。氧化带的上层,与中、下层比较,则氧化作用一般是在氧化带发育的末期进行,所以上层由于 pH 值增长,因此代替铀的磷酸盐和砷酸盐而出現的却是铀的硅酸盐。

铀的热液矿床的第二种氧化带类型以发育铀的硅酸盐和氢氧化物为特征。此时铀一般见于缺乏硫化物或只有很少量硫化物的矿床的氧化带内,脉石矿物中有许多碳酸盐。在这样的条件下,氧化带中流动的水就有了碳水化合物的性质,并且具有中性和弱硷性反应。若矿床中绝大部分脉石矿物或围岩由碳酸盐组成,则即使在有显著数量硫化物存在的情况下,氧化带里流动的水仍不能够象第一种类型中那样具有硫酸盐性质以利于形成铀的硫酸盐和铀的砷酸

盐。

氧化带中水的碳水化合物性质决定了鈾的氢氧化物和硅酸盐的形成。氧化带中硷性碳酸盐溶液,一般与鈾的强烈气化矿物——晶质鈾矿和瀝青鈾矿——相互作用,促使这些矿物溶解并形成氧鈾碳酸盐络合物。络合物水解就形成鈾的氢氧化物。含碳水化合物的水常常是硷性的,它里面总是有少量已溶解的二氧化硅^[30],与氧鈾根离子相互作用,在整个氧化带里形成鈾的硅酸盐。作为例子,具有氧化带的鈾矿床,氧化带中含鈾的硅酸盐和氢氧化物的如申戈洛布維矿床。該矿床中鈾的氢氧化物和硅酸盐甚为发育。

热液矿床氧化带除了两种主要的矿化类型外,还有一些过渡类型。过渡类型中既有鈾的磷酸盐类矿物,亦有鈾的硅酸盐类矿物。已知有些热液成因的鈾矿床和矿点的氧化带中,鈾的矿化是属于磷酸盐类或硅酸盐类中的一种或两种矿物,例如斜磷鉛鈾矿(法国的拉紹矿床);鈣鈾云母和銅鈾云母(法国許多区域);銅鈾云母和正銅鈾云母;硅鈣鈾矿;硅鈾鉛矿等。此外,某些鈾矿床的氧化带内缺乏鈾的矿物。鈾在其中只处于分散状态,被鉄、錳和硅的氢氧化物所吸附,这种情况是在原生矿石中硫化物很少而含鉄碳酸盐很多的矿床上。

考虑到鈾矿床組合的过渡类型,氧化带内有时可以划分如下諸矿物类型:氢氧化物-硅酸盐类,真硅酸盐类,硅酸盐-云母类,真云母类,云母-褐鉄矿类和真褐鉄矿类^[31]。

沉积成因的鈾矿床和矿点的氧化带内,鈾的鈳酸盐(鉀鈳鈾矿、鈳鈣鈾矿)有时甚为发育。具有此类矿化的最有意义的区域之一就是科罗拉多高原^[16, 32, 33]。当原生鈾矿石的成分中有很多鈳的时候,則次生鈾矿物中只見鈾的鈳酸盐。在氧化弱的含鈳和鈾的矿石中見有紅鈳鈣鈾矿,氧化强的矿石中有鉀鈳鈾矿和鈳鈣鈾矿。有时局部地区由于沉积围岩中含鈣量很高,故鈳鈣鈾矿的数量大大超过鉀鈳鈾矿。

伟晶岩氧化带中,由于伟晶岩里的硫化物数量少,含有硷类的矿物数量很多,所以那儿的水不太可能具有硫酸盐的性质,因此,次生鈾矿物中以鈾的氢氧化物和硅酸盐最为发育,而碳酸盐、磷酸盐(鈣鈾云母)等則少得很。

某些鈾矿床的原生矿石成分中如果硫化物太多,則也可能沒有次生鈾矿物,硫化物(黃鉄矿和白鉄矿)含量太高的时候就产生强烈溶解,并使鈾从矿床中帶走的条件。氧化带中硅的氢氧化物(蛋白石),和鉄、錳的氢氧化物,以及水鋁硅酸盐一般都是鈾的吸着剂。

胶結带的典型特征則是:由水溶液从氧化带中攜出而进入胶結带的六价鈾,还原結果生成再生鈾黑。也有在胶結带中和氧化带下部由于四价鈾氧化而形成的殘余鈾黑。除了鈾黑而外,还有鈾的氧化物水化后的产物,称为水瀝青鈾矿。

在胶結带,可能就在胶結带和氧化带的界綫上見有水斑鈾矿和萊蒙托夫石等分布很少的矿物^[34]。

在鈾的地球化学中,查明鈾的搬运和沉积形式,特别是在形成热液和沉积成因矿床时的搬运和沉积形式具有重大意义。

在岩浆期和伟晶岩期的矿物形成作用中,鈾(确切地說是四价鈾)的历史与鈷、鋳和稀土元素之历史相同,在伟晶岩中还与鈮和鉭历史相同。

鈾在热液作用期則不同于鋳、鈷、稀土元素、鈮、鉭和鈳。对于热液成因的矿床来講,这些元素的矿物并不典型。絕大部分鈾在热液作用时呈鈾的氧化物——瀝青鈾矿和分布較少的晶质鈾矿而富集。

关于热液作用期鈾的搬运和沉积方式有着各种不同的观点。大多数研究者^[23, 24]认为,鈾是以六价状态而被热水溶液搬运,多半是以碳酸盐络合物的形式,很可能呈 $[\text{UO}_2(\text{CO}_3)_3]^{4-}$ 而被搬运。

根据別捷赫金 (А. Г. Бетехтин) 的概念, 鈾的搬运是在四价状态下进行; 根据謝尔宾納 (В. В. Щербина) 等的資料^[35], 鈾以四价和六价状态而被搬运取决于不同条件。

正如現在被大多数研究者都承認的一样, 在热水溶液中, 二价鉄、硫化物中的硫和有机物质都是六价鈾的沉淀剂, 六价鈾沉淀后即形成鈾的氧化物。实验研究^[35, 36]也証实了这种意見。

从六价鈾到四价鈾的还原剂——鉄, 人們賦予特別大的注意。因为在許多鈾矿床上都能看到围岩的赤鉄矿化, 使围岩具有各种不同深度的紅色。二价鉄可能来自角閃石、輝石、綠泥石、碳酸盐、硫化物及其他脉石矿物和鈾矿围岩的矿物。以鉄还原鈾的簡單过程可用以下方式表示: $U^{6+} + Fe^{2+} \longrightarrow U^{4+}$ (鈾的氧化物) + Fe^{3+} (赤鉄矿)。

六价鈾从热水溶液中沉淀出来, 可能是由于含鈾溶液的硷度降低, 并且其中 CO_3^{2-} 离子浓度下降 (即去 CO_2), 因而破坏了氧鈾-碳酸盐絡合物所致。

鈾以四价形式搬运时, 从热水溶液中以氧化物的形式沉淀下来, 其原因首先是由于溶液与围岩起相互作用而使其 pH 值有了变化的緣故。

研究得最深刻的是表生作用带中鈾的搬运和沉积方式。这个带中, 鈾最可能呈 $Na_4[UO_2(CO_3)_3]$ 类的复合碳酸盐、呈成分为 $[UO_2(OH)_2]_n$ 的氢氧化物的胶体溶液 (溶胶) 以及有机絡合物 (腐植酸盐、фульфат 和 меланоидин) 的形式而被搬运^[21]。

鈾呈硫酸盐形式搬运的情况, 看来只是在鈾矿床和矿点的氧化带和胶結带內, 而且意义不大, 因为对于 0.1N 的溶液來說, 在 $pH < 4.25$ 时, UO_2SO_4 在其中才能稳定。

鈾在表生带中的沉淀条件极为复杂。不久前, 謝尔宾納曾詳尽地研究过^[37]。

形成沉积矿床时, 鈾的沉积条件也有各种各样的。沉积在水盆地底部 (同生沉积的鈾) 或由潛水中沉积到沉积岩中 (后生沉积的鈾) 的鈾, 主要都是从溶解的复合碳酸盐或鈾的腐植酸盐之类的有机絡合物中, 还可能从鈾的氢氧化物溶胶中等等出来的。

鈾的沉淀是通过有机和无机吸着剂吸附鈾的方式, 由于类质同像交替 (例如在磷酸盐中鈾交替鈣) 和形成鈾矿物的結果。鈾的沉淀要决定于溶液 pH 值的变化, 在有机物质、硫化物、二价鉄等影响下, 氧化还原电位降低及由此引起的还原作用降低。六价鈾还原到四价鈾一事, 对于鈾的沉淀无疑是有很意义的。我們知道, 沉积成因的矿床中, 鈾几乎总与有机物和硫化物 (黄鉄矿等) 共处, 这就可以証明此点。

放射性是含鈾的矿物最典型特征之一 鈾自发蜕变的結果形成了一系列放射性元素, 其蜕变的最終产物为鉛和氦。鈾的放射性蜕变还伴随着分出带电的 α 和 β 粒子, 并放出 γ 射线。于是用放射性测量仪器就容易发现含鈾的矿物, 也容易测定其中鉛的同位素成分和确定这些矿物的绝对地质年龄。

为了发现含鈾的許多矿物, 还利用它們的另一特性——在紫外綫中发光的現象。而不发光的鈾矿物可用珠球发光法測定。

上述資料說明, 鈾矿物是多么形式式。这都是因为鈾的化学活泼性高, 它有与許多种元素 (再加上还以各种不同的化合价) 能起相互作用的特性。鈾的結晶化学特点也起重要作用, 它以类质同像交替諸元素, 如鋯、鈷、稀土和鈣, 以致形成大量的含鈾矿物, 而在氧化带則形成許多独立的鈾矿物。因为鈾在这个带中以 $(UO_2)^{2+}$ 离子的形式存在, 这种离子的半径值很大, 不能以类质同像而进入其他矿物的晶体結構里去。

鈾矿物共生組合的多样性, 特別在热液矿床中和氧化带內其共生組合的多样性是由于鈾的化学特性决定的, 而且化学特性也决定了鈾以各种各样的形式被搬运和沉积。

热液矿床中, 鈾的氧化物組合种类特別繁多, 可能也是因为晶质鈾矿和瀝青鈾矿一般在热液作用末了时形成, 所以它們迭加在以前形成的矿物組合上,

鈾矿物之中特别有意义的是鈾的氧化物——晶質鈾矿和瀝青鈾矿——的共生組合，在各种各样的矿物形成作用中它們都能形成。岩浆作用期鈾的氧化物(晶質鈾矿)很少形成，而且为量不多，伟晶岩中也很少見。可能这是因为对形成鈾矿物条件不利，首先是鈳、鈷、稀土元素在数量上大大超过鈾，因此鈾只能以类质同像交替矿物中的上述元素。伟晶岩中很大一部分鈾堆积在鈳、铌和钽的复杂氧化物里(鈳酸盐和鈳铌钽酸盐)。

热液作用时絕大部分鈾呈鈾的氧化物形式(瀝青鈾矿，間或有晶質鈾矿)出現，它們与碳酸盐和鉄、銅、鉛、鋇等的硫化物，有时与鎳和鈷的砷化物，也往往与鉄的氧化物(赤鉄矿)，即与非典型岩浆和伟晶岩成因的矿物共生是为特征。鈾的矿物——瀝青鈾矿和晶質鈾矿——在热液矿床中分布很广，可能就是因为鈳、鈷、稀土的矿物，即鈾以类质同像交替的一些元素的矿物，不为热液作用的特征的緣故。

沉积成因的矿物里，鈾矿物之中分布很广的只有鈾的氧化物(瀝青鈾矿)，一般与有机物紧密共生，并常常与硫化物共生，說明水溶液中形成瀝青鈾矿是在还原环境下进行。

無論在沉积岩、或是岩浆岩中，鈾都以类质同像进入其他矿物的晶体結構里，并处于分散状态。处于分散状态的鈾易于从岩石中淋濾出来，可能因为它是形成工业矿床上鈾矿化的主要来源之一，所以它有极大的意义。

譯自 Атомная энергия том 7 (1959) вып. 1, 47—56.

参 考 文 献

- [1] S. Robinson, A. Sabina: *Amer. Mineralogist*, 40, № 7—8, 624 (1955).
- [2] В. И. Вернадский: Очерки геохимии. Горгеонефтеиздат, 1934.
- [3] Z. Page: *Econ. Geol.*, 45, No. 1, 12 (1950).
- [4] Z. Kelly: *Canad. Mining J.*, 77, No. 6, 87 (1956).
- [5] K. Donald: *Canad. Mining J.*, 77, No. 6, 77 (1956).
- [6] М. Рубо: Геология атомных сырьевых материалов. Госгеолтехиздат, 1956, стр. 270.
- [7] А. И. Тышкин, Г. А. Тананаева, Г. Д. Гладышев, И. В. Мельников, В. А. Поликарпова, М. С. Цыбульская: Парагенетические ассоциации гидротермальных урановых минералов в урановых месторождениях Советского Союза. Доклад № 2741, представленный на Вторую международную конференцию по мирному использованию атомной энергии (Женева, 1958).
- [8] Г. В. Уокер, Ф. В. Остервальд: Материалы Международной конференции по мирному использованию атомной энергии, т. 6. Госгеолтехиздат, 1958, стр. 337.
- [9] T. Sims: *Econ. Geol.*, 51, No. 8, 739 (1956).
- [10] G. Becraft: *Econ. Geol.*, 51, No. 4, 362 (1956).
- [11] Ж. Ж. Деррикс, Ж. Ф. Вазс: Геология атомных сырьевых материалов. Госгеолтехиздат, 1956, стр. 323.
- [12] B. MacDonald, J. Kermeen: *Canad. Mining J.*, 77, No. 6, 80 (1956).
- [13] S. Robinson: *Canad. Mining and Metallurg. Bull.*, 45, No. 480, 204 (1956).
- [14] В. А. Поликарпова: *Атомная энергия*, № 3, 132 (1956).
- [15] Рудопоявления урана и тория в Австралии. Геология атомных сырьевых материалов. Госгеолтехиздат, 1956, стр. 302.
- [16] А. Д. Уикс: Материалы Международной конференции по мирному использованию атомной энергии, т. 6. Госгеолтехиздат, 1958, стр. 609.
- [17] R. Zitting: *Mines Mag.*, 47, No. 3, 53 (1957).
- [18] Месторождения урана в Соединенных Штатах Америки. Геология атомных сырьевых материалов. Госгеолтехиздат, 1956, стр. 220.
- [19] П. Ф. Керр: Там же, стр. 119.
- [20] И. А. Брегер, М. Дьюл: Там же, стр. 95.
- [21] С. М. Манская, Т. В. Дроздова, М. П. Емельянова: *Геохимия*, № 4, 10 (1956).
- [22] З. А. Некрасова: К вопросу о формах нахождения урана в некоторых углях. Доклад № 2082, представленный на Вторую международную конференцию по мирному использованию атомной энергии (Женева, 1958).

- [23] В. И. Маккелви, Д. Л. Эверхарт, Р. М. Гаррелс: Геология атомных сырьевых материалов. Госгеолтехиздат, 1956, стр. 25.
- [24] И. Г. Ченцов: *Атомная энергия*, № 5, 113 (1956).
- [25] Е. В. Рожкова, Е. Г. Разумная, М. Б. Серебрякова, О. В. Щербак: Роль сорбции в концентрации урана в осадочных породах. Доклад № 2059, представленный на Вторую международную конференцию по мирному использованию атомной энергии (Женева, 1958).
- [26] Н. Katayama: Genesis of the Uranium Deposit in Tertiary Sediments in the Ningyô-tôgê Area, Western Japan. Доклад № 1356, представленный Японией на Вторую международную конференцию по мирному использованию атомной энергии (Женева, 1958).
- [27] W. Liedenberg: Trans. and Proceed. Geol. Soc. of South Africa, LVIII, 101 (1955).
- [28] F. Joubin, H. Donald: *Canad. Mining J.*, 77, No. 6, 84 (1956).
- [29] В. Г. Мелков: *Атомная энергия*, № 1, 83 (1956).
- [30] С. С. Смирнов: Зона окисления сульфидных месторождений. ОНТИ СССР, 1936, стр. 40.
- [31] Г. С. Грицаенко, Л. Н. Белова, Р. В. Гецева, К. Т. Савельева: Минералогические типы зон окисления гидротермальных урановых и сульфидно-урановых месторождений СССР. Доклад № 2155, представленный на Вторую международную конференцию по мирному использованию атомной энергии (Женева, 1958).
- [32] Я. В. Изаксен: Геология атомных сырьевых материалов. Госгеолтехиздат, 1956, стр. 396.
- [33] Р. П. Фишер: Там же, стр. 374.
- [34] В. Г. Мелков, Л. Ч. Пухальский: Поиски месторождений урана. Госгеолтехиздат, 1937.
- [35] Р. П. Рафальский: Экспериментальные исследования условий переноса и отложения урана гидротермальными растворами. Доклад № 2067, представленный на Вторую международную конференцию по мирному использованию атомной энергии (Женева, 1958).
- [36] Г. Б. Наумов, К. И. Тобелко: *Геохимия*, № 4, 24 (1956).
- [37] В. В. Щербина: *Геохимия*, № 6, 493 (1957).

具有径向行波磁场的回旋加速器

柯馬尔 (E. Г. Комар)

本文研究了具有径向行波磁场的回旋加速器可能的结构图,以及由作者所建議的这种类型的回旋加速器主要参数之間的关系。利用由交流发电机供电的特殊环形繞組,在回旋加速器磁极之間的縫隙中形成一个或者若干个同心的径向行波磁场。

提出了两种方案:第一种方案,行波是产生粒子加速的場。第二种方案,行波磁场迭加在回旋加速器普通的恒定磁場上,而加速是发生在合成磁場中。場在波中的空間分布要保證得到稳定区域 ($1 > n > 0$),而且稳定区域应该沿着径向方向以粒子的径向速度移动。如果在加速区域内,磁場的绝对值从中心到外径处显著地增加,那么稳定区域才能得到保証。

所建議的系统原則上允許建造任意多大能量的回旋加速器。不管該加速器的运行周期,現在有根据来推测由于聚焦較好的原故,其中的平均强度大概比在稳相加速器中的大。

列出了所提出的型式的加速器在不同能量时的实例計算。計算表明:这种加速器的重量和大小可能比同样能量的其他型式的加速器小得多。

一般考虑

所提出的回旋加速器与普通回旋加速器的区别,就是粒子在从机器中心沿径向运动的环形磁场波中加速。所得到的这种波的图案示于图1(仅仅标示了一个場波;这样的場波可能是若干个)。

波运动的速度 v_r 应该是这样的,即要使粒子在整个加速期間内处在磁场满足条件 $0 < n < 1$ 的部分。为此由加速电压的数值所决定的粒子速度的径向分量应该和場波的径向速度相同。

在該加速器中,磁场能够按照波向較大的半径移动而增加,在这种情况下保持了垂直的聚焦条件。这样便可能維持加速电压的頻率在粒子成为相对論粒子的范围内不变,亦即这种回旋加速器可能达到任意多大的能量。

应当指出,在这种情况下,能够选择 n 的数值以保証粒子的瞬时强度比普通回旋加速器或稳相加速器的更大。

在加速器中央部分,当場强的数值較小时,空隙可以选择得足够的大并按能量的增加而减小,这种情况将有助于提高强度。虽然如此,但是在該加速器中正如在稳相加速器中一样,粒子也是部分的被加速的。应当知道,平均强度由于較好的磁聚焦条件将要更大,自然和同步稳相加速器比較起来,平均强度将高若干个数量級。

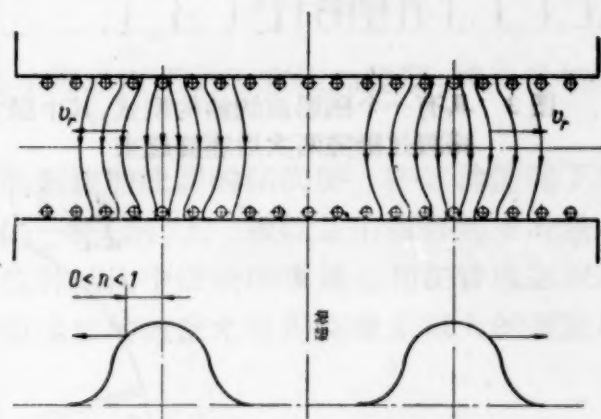


图1 利用在磁极表面上特殊配置的圓形导綫所得到的径向行波磁场图(图中磁軸即指磁鉄軸)

可能的結構图

图2代表所提出的加速器的可能的电磁鉄結構中的一种图案。真空室安置在两个具有圓

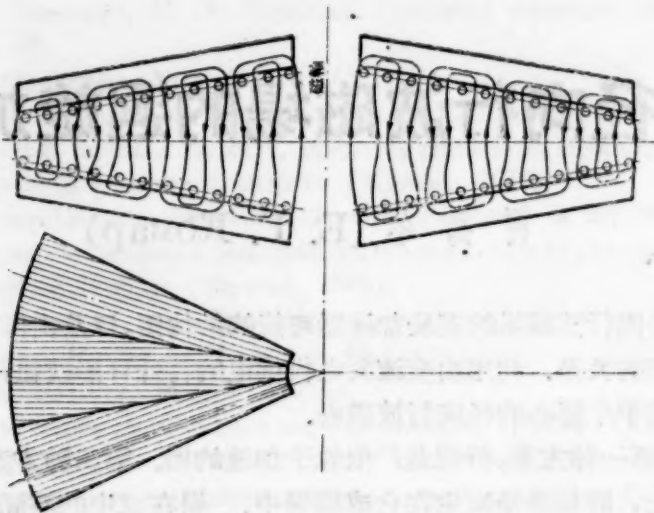


图2 加速器电磁铁的可能结构中的一种图案(图中磁轴即指磁铁轴)。

标示了若干个同心的磁场波(多极系统)。下面——极靴的径向组合型式

锥形的和由径向组合的铁片所排成的圆盘之间,同时圆盘也是磁极和磁导体。圆盘是由单个的扇形构成的。扇形的组合如图2所示。环形同心绕组安置在彼此面对面的圆盘的表面。

绕组的电源可以用各种方法供给。例如:如果将它们分成若干组,用适当的方法分开和由三相电源供电,那末正如大家知道的由电机原理就能够很容易地建立磁场(图2),磁场波将以一定的速度沿着径向方向移动,此速度与交流电的频率和绕组的间距有关。磁力线经过组合成的圆盘连接起来。如果造成多极系统,其中圆盘的厚度比较小,由于这个原故,磁导体的重量将大大地减小。

图3表示另一个结构型式,这里都只有一个磁场波。磁力线或者经过机器中的空隙(图3)连接起来,或者经过安置在加速器外面圆柱形的表面上的特殊的轭连接起来(图4)。

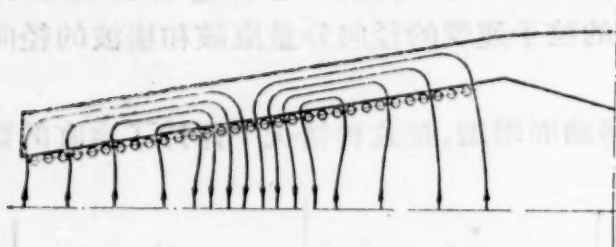


图3 具有一个磁场波的结构型式,其中磁力线经过缝隙两次后连接起来

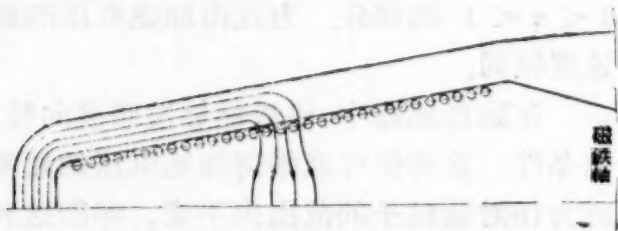


图4 磁波的力线通过空隙一次和经过极靴外径上的特殊的轭连接起来的结构型式

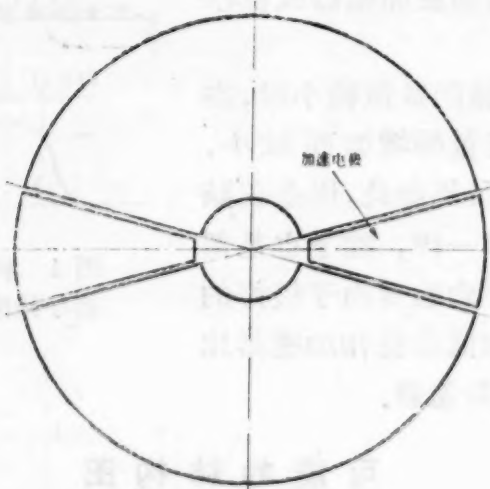


图5 加速电极的配置图

图3和图4中所提出的型式都需要应用特殊的整流设备,显然最容易的是利用离子阀来完成。为了减小无功功率,当从空间中的一点移动到另一点时,要能够使波中的磁能复原。

在所提出的加速器中,空隙的距离可以很小(在最大的半径上大约是5—10厘米)。

末端半径上的场强最大,这可以从铁的磁性和绕组可能的配置的考虑来选择场的强度;在一般电工技术中所用的钢能够适当地造成大约为20000奥斯特的磁场强度。

由于磁波运动的速度受到了限制,每转增加的能量大概是几百或者几千伏的数量级。虽然在这样的电压下,真空室内要求比较高的真空,但是高频振荡器的功率却大大地减小了,以及加速系统的结构也简化了。

在低能加速器中应用D形极是适宜的。在大型机器中可以利用安置在磁性圆盘扇形体(图5)之间空隙中的特殊扇形电极来加速。为了便于连接真空泵,圆盘也可以适当的分开。

当设计所提出的加速器时,拟制注入系统会发生较大的困难。现代文献中对于在运动着的磁波场中的粒子注入问题没有详细的研究。小型和中型加速器中,中心部分可以采用普通回旋加速器的形式,象这样的示意图示于图6,这里绕组A产生原始的回旋加速器的磁场;而绕组B激发行波磁场。

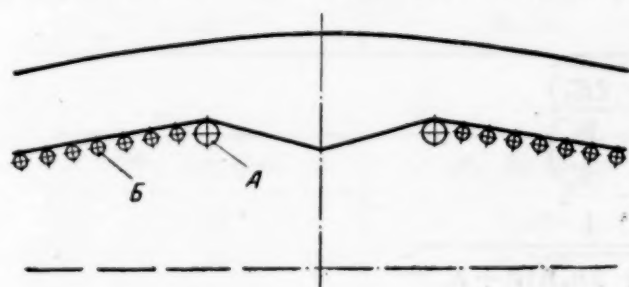


图6 加速器注入器部分可能的图形之一

A——回旋加速器中央注入用的绕组;
B——造成径向行波磁场的绕组。

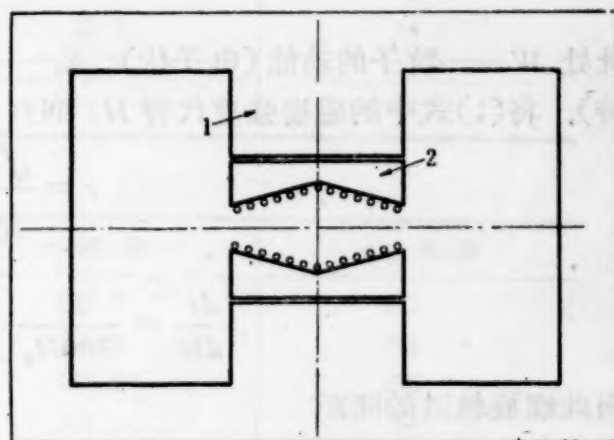


图7 径向行波磁场迭加在山形电磁铁的恒定磁场上的回旋加速器的结构图

1——实体部分;
2——组合部分。

加速器注入器部分的其他型式也是可能的,其中可以应用的有直线加速器,同步稳相加速器和稳相加速器。

应该单独地研究行波磁场迭加到恒定磁场上的回旋加速器的结构图。在这种情况下加速器的磁导体和在普通回旋加速器或稳相加速器中的一样(图7)。极靴是由组合起来的铁片构成的,在构造上极靴可以作为真空室的元件。在这种结构中磁铁的重量也和普通回旋加速器和稳相加速器中的重量同数量级,然而上面所描述过的效应允许得到能量很大的回旋加速

表 1

最后的能量, 兆电子伏	最后的轨道半径, 厘米	开始加速时缝隙中的磁场强度,奥斯特	粒子的回旋频率,兆赫兹	铁的重量,吨	电源功率,千伏安	
					没有整流时所有绕组的电源	没有回授时两个波的电源
100	74	18,000	27.6	4	37,000	—
1,000	284	9,750	14.5	60	550,000	108,000
10,000	1,810	1,720	2.64	2,400	—	750,000
50,000	8,500	367	0.56	53,000	—	—

器。

鉴于具有恒定磁场的回旋加速器的结构型式的特点,下面它将要被单独地加以研究。

没有恒定磁场的方案中基本参数之间的关系和实例计算

为了保证粒子的回旋频率以及加速电压的频率的稳定性,因而所有半径上的磁场强度

$$H = H_0 \left(1 + \frac{W}{E_0}\right), \quad (1)$$

此处 H_0 ——当 $W = 0$ 时,开始加速时的磁场强度。如果 W_m ——末端半径上的能量(加速器的额定能量),而 H_m ——末端半径上的最大磁场强度,那末开始的磁场强度

$$H_0 = \frac{H_m}{\left(1 + \frac{W_m}{E_0}\right)}.$$

当粒子的动能和磁场一定时,粒子是质子时的轨道半径等于(厘米)

$$r = \frac{\sqrt{W(W + 2E_0)}}{300H}, \quad (2)$$

此处 W ——粒子的动能(电子伏); E_0 ——粒子的静止能量(电子伏); H ——磁场强度(奥斯特)。将(1)式中的磁场强度代替 H , 则有

$$r = \frac{\sqrt{W(W + 2E_0)}}{300H_0 \left(1 + \frac{W}{E_0}\right)},$$

$$\frac{dr}{dW} = \frac{E_0^3}{300H_0} \frac{1}{\sqrt{W(W + 2E_0)}(W + E_0)^2}.$$

因此螺旋轨道的间距

$$\Delta r = u \frac{dr}{dW} = \frac{uE_0^3}{300H_0} \frac{1}{(W + E_0)^2 \sqrt{W(W + 2E_0)}}, \quad (3)$$

此处 u ——粒子在一转内所获得的能量。

粒子回旋的周期

$$T = \frac{2\pi r}{v} = \frac{2\pi r}{c} \frac{1}{\sqrt{1 - \left(\frac{E_0}{W + E_0}\right)^2}},$$

此处 v ——粒子运动的速度(厘米/秒); c ——光速(厘米/秒)。

粒子速度的径向分量

$$v_r = \frac{\Delta r}{T} = \frac{uc}{600\pi H_0 r} \left(\frac{E_0}{W + E_0}\right)^3. \quad (4)$$

由公式(4)得出结论,磁波运动的速度在加速器中央部分应该比在最后轨道上的速度大得多。

表1中列出了不同能量的加速器的某些参数。计算这些参数时采用了: $H_0 = 20,000$ 奥斯特,磁极间缝隙的数值 $\delta = 7.5$ 厘米,磁化绕组的电源频率 $f = 50$ 赫芝。

为了计算铁的有效重量,圆盘的厚度取15厘米。计算中没有计算辅助结构的重量,在大型加速器中,辅助结构可能相当的大(上面的圆盘应该利用相当复杂的桥式结构支持在正常的位置)。

设计时应该指出:为了安置磁化绕组,磁极间的缝隙要比计算中所采用的大,以及功率的

数值也要增加。对于 100 兆电子伏的加速器,其激发绕组直接由交流电源供电的方案无功功率曾进行了计算。利用普通电机中所使用的三相交流电造成行波磁场系统。对 1,000 兆电子伏的加速器的功率计算是在直接由交流电源供电和在各个激发绕组部分没有磁能回授应用整流系统的情况下做出来的。对于 10,000 兆电子伏的加速器,所引入的功率数字,仅是在没有磁能回授时应用整流系统的情况下得到的。

对于 50,000 兆电子伏的最大加速器的电源功率未曾计算。这种机器设备只可能应用磁能回授系统。

表 1 中所列出的数字表明了从经济观点上看来,这种型式的加速器的设备的合理性是值得商榷的。

表 2

W , 兆电子伏	H , 奥斯特	r , 厘米	v_r , 米/秒
10	18,200	25.2	28.7
20	18,400	39.3	24.2
40	18,800	49.1	18.2
60	19,150	53.3	14.1
80	19,500	67.7	11.9
100	20,000	74	10.1

表 3

W , 兆电子伏	H , 奥斯特	r , 厘米	v_r , 米/秒
15	9,800	57.3	422
50	10,200	101.5	214
100	10,800	137.5	136
300	12,900	209	54
500	14,900	244	28.9
1,000	20,000	284	10

表 2 中列出了能量在 100 兆电子伏内的回旋加速器在不同的轨道半径时磁场强度和磁波运动速度的数值。而表 3 中列出了能量在 1000 兆电子伏内的回旋加速器同样的一些参数。

对于能量在 100 兆电子伏内的回旋加速器,其加速电压取 115 伏,而能量在 1000 兆电子伏内的回旋加速器的加速电压是 1540 伏。

表 2 和表 3 中所列出的磁场运动的径向速度和与径向速度相对应的加速电压的数值与加速电压恒定值的方案有关。但是如果在加速回旋期间内,改变加速电压的幅度,在全部粒子轨道半径上就能够达到等速或者差不多等速的波的运动。那末这便使环形激发绕组的设计大大地简化了。

为了研究和计算简单起见,加速电压的数值是在没有考虑必要的涡旋场的补偿电动势时决定的。不难证明,径向运动的磁场波激发涡旋电场,涡旋电场的矢量与加速电压的矢量方向相反。为了补偿涡旋电场的影响,加速电压应该选择比上面所列出的大。

具有恒定磁场的方案中的基本参数之间的关系和实例计算

公式(1)——(4)对于径向行进的磁场波迭加在恒定磁场上的方案也是正确的(参看图 7)。如插图中所表明的,组合起来的极靴是这样构成的,即缝隙随加速粒子轨道半径的增加而逐渐减小。缝隙应减小到使与能量相关的磁场强度能由公式(1)来决定。

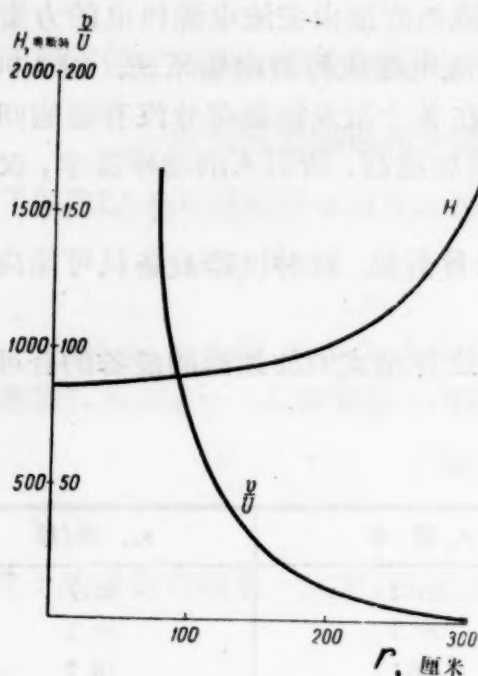


图8 磁极直径大约为700厘米时,具有恒定磁场的回旋加速器的磁场强度和波运动的速度与加速电压之比的曲线

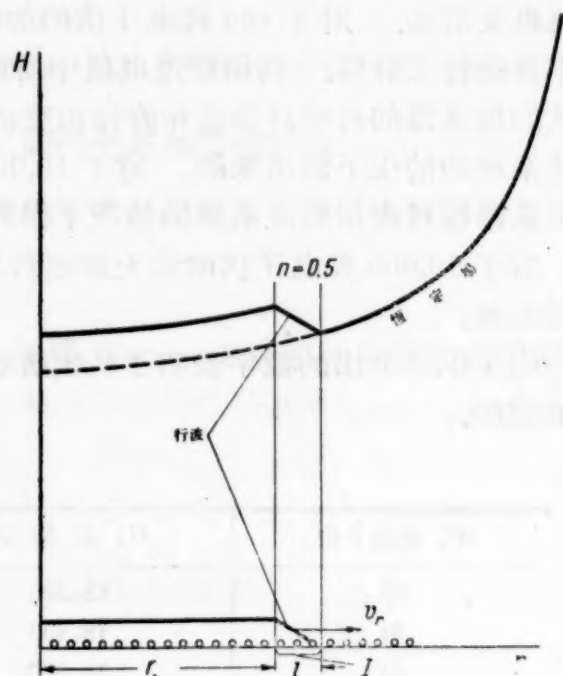


图9 行波磁场与回旋加速器的恒定磁场的迭加图

图8列出了磁极外径约为700厘米的电磁铁计算出来的磁场强度曲线。

为了保证聚焦的条件,使环形区域具有 $0 < n < 1$ 的行波应该迭加在恒定磁场上。这种行波迭加在恒定磁场上的图形示于图9。电流 I 流过宽度为 l , 从半径 r_1 开始的环形导线组。利用特殊的整流线路可以使导线组的半径增加, 限制由导线组造成磁通的圆周半径也将相应的增加。

恒定磁通和交变磁通迭加后形成环形区域, 环形区域中 n 具有我们所需要的数值。

如果 $\left(\frac{dH}{dr}\right)_1$ 和 $\left(\frac{dH}{dr}\right)_2$ ——在环形区域中磁场强度曲线对恒定通量和总强度的半径的导数的绝对值, 那末在宽度为 l 的环形区域的截面中流过绕组导线中的总电流

$$I = 0.8 \delta_1 l \left[\left(\frac{dH}{dr}\right)_1 + \left(\frac{dH}{dr}\right)_2 \right], \quad (5)$$

表 4

r , 厘米	W , 兆电子伏	H , 奥斯特	$\left(\frac{dH}{dr}\right)_1$	$\left(\frac{dH}{dr}\right)_2$	v , 米/秒	u , 伏当 $v_r =$ 常数 = 100 米/秒时	δ , 厘米	l , 厘米	I , 安培
0	0	8,600	—	—	—	—	61.2	—	—
76	20	8,750	—	—	595	437	—	—	—
113	50	9,100	8.7	40	365	705	58	58	131,000
155	100	9,550	10	31	230	1,130	55	—	—
213	200	10,300	24.3	24.2	127	2,050	51	—	—
276	500	13,200	61	24.1	48.7	5,340	39.8	39.8	107,000
305	800	15,900	108	26.2	24.9	10,400	33	—	—
318	1,000	17,700	167	27.8	17.1	15,200	29.7	—	—
327	1,200	19,600	250	30	12.5	20,850	27	—	—
332	1,350	21,000	415	31.8	10	26,100	25	25	224,000

此处 δ_1 ——半径为 r 时的縫隙距离。

在宽度为 l 的导线組中,行波磁通所激发的电动势可以根据下面的公式計算:

$$E = 2\pi r \frac{I}{0.8\delta_1} v_r \cdot 10^{-8} = 12.3r \frac{I}{\delta_1} v_r \cdot 10^{-8} \text{ 伏.}$$

表 4 中列出了具有磁极直径約为 700 厘米的电磁鉄方案中某些实例計算的結果。

在这个方案中,当沒有能量回授和单个波的速度大約为 100 米/秒数量級时,环形繞組的饋电功率共計为 2000—3000 千伏安。此功率与迴旋頻率成比例,因而也与强度成比例。

表 4 中所引的加速电压的数值,是对于等速运动的波計算的。实际上从迴旋过程中环形繞組所要求的功率稳定性出发較为合理。在这种情况下,当軌道半径增加时,波的速度應該逐漸減小。如同在前面計算中一样,此处沒有計算渦旋电场。

結 論

在描述所提出的加速器中,只是介紹了一般原理,某些可能的結構图以及实例計算。这些資料証实了关于所提出的系統进一步的計算、設計和实验工作的合理性。

譯自 Атомная энергия том 7 (1959) вып. 1, 57—63.

簡 報

在“箭牌”快速电子计算机上作原子电站 反应堆的多羣計算

楚亞諾夫 (В. А. Чуянов)

在文献[1]、[2]内所叙述的多羣方法是用来計算原子发电站均匀反应堆模型在装载近临界时的有效倍增系数和中子通量的。在径向方向上,反应堆是认为三个区域,两端的反射层可以认为在高度上引入有效增加。假定分裂中子是单能量的(能量为2兆电子伏),在截面中的共振可以用来考虑逃掉共振俘获的概率系数。所有中子羣(热中子羣除外)的方程是由按照所考虑的勒的間隔对年龄方程积分而求得的。中子通量的有效倍增系数和空間能量分布是用逐次近似法算得的。每一个中子羣的差分方程是用差分分因法解得的。

为了求出上述問題(以及其它类似問題)的解曾拟定了用“箭牌”电子计算机进行計算的計劃。用所得到的所有中子通量算出一个有效倍增系数的值須化6.5分钟(对于五羣方案,并在計算时沿半径上取100个点)。要使 $K_{有效}$ 的精确度达到0.01%,需要經過9次迭代。在图1中指出逐次近似的收斂速度,而在图2中指出在計算时所利用的羣的数目(从2羣到20羣)与 $K_{有效}$ 的关系的計算結果。在这些計算中,在半径上的点等于100。

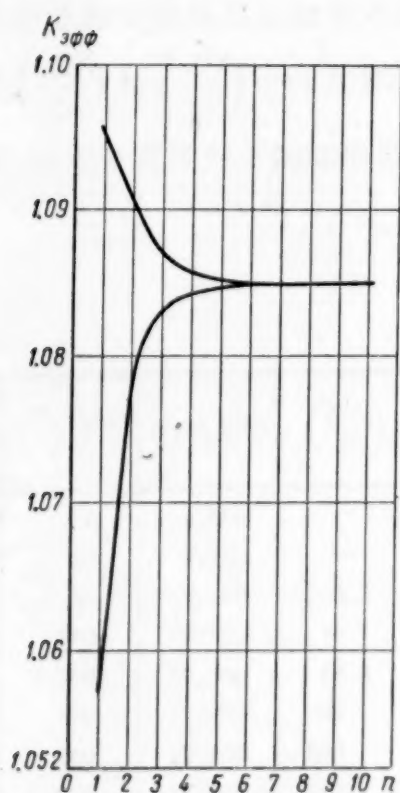


图1 $K_{有效}(r)$ 的上限与下限和迭代数目 n 的关系(5羣,在半径上15个計算点)

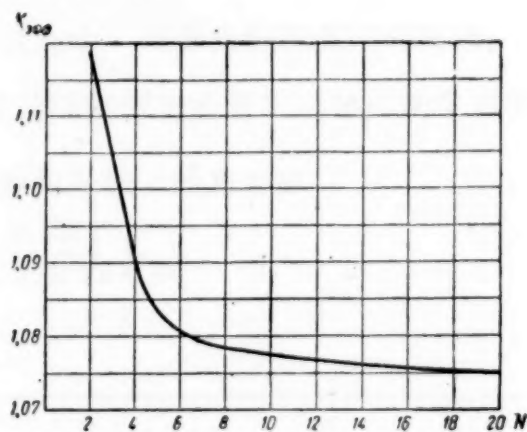


图2 $K_{有效}$ 与計算时所用的羣的数目的关系

为了估計羣的分法的影响,計算将在六羣近似下进行。例如把羣等值地增加(在中子的年龄单位下),对 $K_{有效}$ 的数值的影响是相当小的。在图3中标出在計算中用不同羣的数目而得到的热中子通量 Φ 分布图。

当把在文献[1]所得到的 $K_{有效}=1.023$ 的值和这里所得到的 $K_{有效}=1.0751$ 的值

比較,應該知道這是指不同的反應堆模型(在文獻[1]用二區域模型)而言,並且在文獻[1]中 $K_{有效}$ 的值是考慮了各種微小效應后用微擾方法得到的。

在我們的情況中,考慮熱中子在反射層中的吸收比在文獻[1]中所考慮的情況更為強烈(1.5倍—2倍),這樣推得熱中子分布的極大值有所減低。

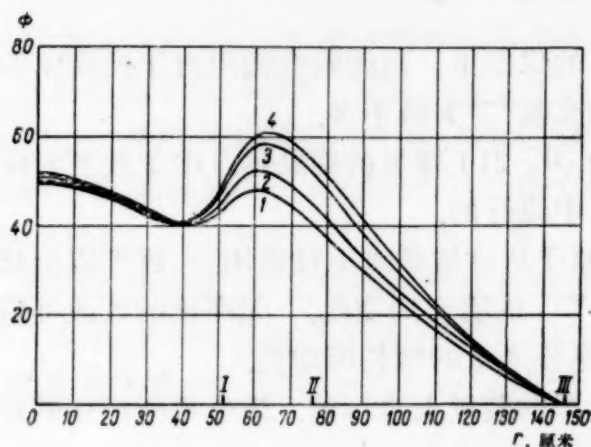


圖3 熱中子通量分布

1, 2, 3, 4——相對於2羣、3羣、5羣、20羣的計算; I, II, III——反應堆區域的界限。

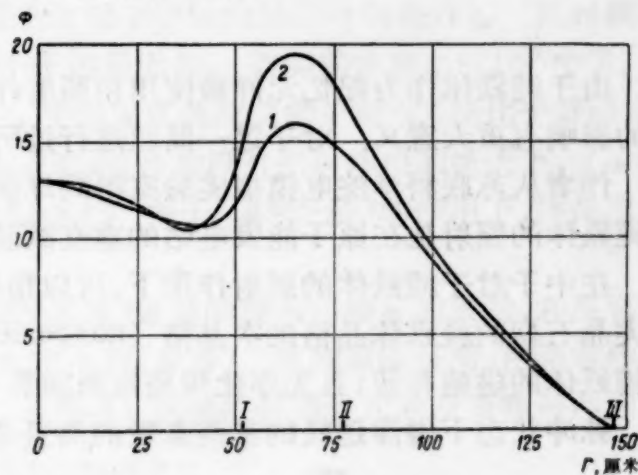


圖4 熱中子通量的空間分布

1——我們這個工作中的數據; 2——文獻[1]中的數據; I, II, III——反應堆區域的界限。

反應堆各區域的特性

	第一區域 ($r=0-52$ 厘米)	第二區域 ($r=52-77$ 厘米)	第三區域 ($r=77-147$ 厘米)
倍增系數*	1.3938	0	0
慢化長度 (厘米)	15.467	18.644	17.974
熱中子擴散長度 (厘米)	8.2039	42.732	54.138

* 在二十羣近似下所決定的。

在表中列出反應堆各區域的特性,並且對於所有這三個區域取反應堆的有效高度 $H_{有效} = 223.2$ 厘米(圖4)。

很遺憾,要想與文獻[3]、[4]中所表示的在反應堆半徑上的熱中子密度的理論與實驗分布作比較是不可能的,因為它們是與反應堆的其它裝載情況和工作條件有關的。

本文作者要向庫茲聶佐夫 (Е. С. Кузнецов) 致謝,他提出了這個問題,並且在他的指導下完成了這個工作;要向馬爾楚克 (Г. И. Марчук) 致謝,他在討論結果時給了有價值的指示;還要向圖爾恰尼諾夫 (О. К. Турчанинов) 致謝,他對於在計算機上進行計算和寫出這篇文章曾予以幫助。

譯自 Атомная энергия том 7 (1959) вып. 7, 64—65.

參 考 文 獻

- [1] Г. И. Марчук: Атомная энергия, № 2, 11 (1956).
- [2] Г. И. Марчук: Сб. «Физика и теплотехника реакторов». Приложение № 1 к журналу «Атомная энергия», 1958, 第7頁。
- [3] Д. И. Блохинцев, Н. А. Николаев: Реакторостроение и теория реакторов. Доклады советской делегации на Международной конференции по мирному использованию атомной энергии (Женева 1955). Изд-во АН СССР, 1955, 第3頁。
- [4] Д. И. Блохинцев, М. Е. Минашин, Ю. А. Сергеев: Атомная энергия, № 1, 24 (1956).

辐照对于純鉄体磁性的影响

奥美利雅茨斯卡娅 (Н. М. Омеляновская)

由于純鉄体作为记忆元件被使用在照射作用下的仪器里,因而研究辐照对于純鉄体的磁性的影响有重大意义。对于这一问题进行过研究的文献^[1-3]为数不多。

作者从苏联科学院电模拟实验室得到环影綫的 3K-210 牌号的純鉄体。中子及 γ 射綫对于純鉄体的照射是在原子能发电站的垂直試驗孔道中进行的。

在中子对于純鉄体的照射作用下,可以預期有原子从晶格結点上被击出。这可以引起組成尖晶石型的純鉄体晶格的次晶格 (подрешётка)^[4-5] 的填充的变化。无序化的效应可以改变純鉄体的磁飽和值;且无序化現象应当随着中子积分通量的增长而增长。

脉冲状态下磁滯迴綫的某些参数的测量是在專門的装置上进行的。发电机所产生的矩形脉冲电流 $-I, +I, -\frac{I^*}{2}$ 通入純鉄体的初級繞組,等于总电流的 60% 的半激发电流 I_{mb} 在次級繞組內引起不大的感应干扰的电动势 A_{mb} 。磁滯迴綫愈是趋近于理想的矩形,則 A_{mb} 的值愈小。因此可以按照 I_{mb} 的改变估計出磁滯迴綫水平部分的坡度改变的程度。

为了研究純鉄体去除辐照作用之后是否能够工作,将兩組純鉄体样品 (每組样品均由 10 个相同的,專門选来用于这些实验的样品組成) 经过 1.5×10^{13} 中子/厘米²·秒的中子流照射。第一組样品的总积分中子通量为 $2.15 \cdot 10^{17}$ 中子/厘米², 第二組—— 6.5×10^{17} 中子/厘米²。受过照射的样品的数据与照射前的数据的比較表明:照射以后,半激发电流的振幅和全电流反复磁化的振幅在测量誤差范围内沒有变化 (由于样品具有強烈的初始放射性,因此在去除照射后过了四天才进行测量)。

在样品被中子轰击的过程中,除了晶格的结构变化之外,还发生着致使磁滯迴綫改变的加热現象。为了区分这种效应,在用于反应堆內的实验装置上消除了迴綫参数与温度的关系。反应堆內、外的测量是这样进行的,当迴綫 (在温度和照射作用下) 畸变时,就把产生半激发振幅的半激发电流加以改变,使半激发振幅不超过容許限額。这样,就能測量出当具有純鉄体的矩陣在不利的条件下进行工作时,为了使鉄心能够正常工作 ($A_{mb} = \text{const}$) 必須使电流的改变量 ΔI 有多大。除此之外,还闡明在同样条件下当电流数值不改变时 A_{mb} 和有效振幅 A 如何变化。

温度测量 (从 20° 到 58.8°C) 的結果表明,随着温度的升高,迴綫宽度 (即 $A_{mb} = \text{const}$ 时的电流) 降低,而反复磁化的振幅,特别是在恆定电流时半激发振幅則增高。迴綫的直角性随着温度的上升而遭破坏,并在 50°C 时,有效振幅 A 和干扰 A_{mb} 在数值上实际是相等的 (迴綫上所有的由于温度而引起的变化是可逆的)。

在反应堆內照射时,通过改变样品在管道中浸沉的深度,可以在很大范围内改变中子流和 γ 射綫的強度。为了避免純鉄体在照射过程中由于支柱部分发热而产生附加的受热,将样品用細銅綫悬在容器內,細銅綫同时还当作样品的繞組来使用。为了控制温度,把两个細導綫 (0.1 毫米) 做成的銅、康銅热电偶固接在两个样品上。

下图表明在积分中子通量变化时經常維持半激发振幅的情况下,半激发电流改变的典型

* 在两个电流的符合綫路上測定矩陣純鉄体的工作是否适合时,研究脉冲状态下的鉄心是极其重要的。

关系,以及此振幅在半激发电流保持不变时的典型变化关系(初始 $A_{nb} = 0$)。同一图上还繪出相应的測量瞬間的样品温度及中子通量 nv 。如图所示, A_{nb} 及 I_{nb} 的变化与純鉄体温度及中子通量的变化过程相重合。将在中子流强度相同,但是积分中子通量相互相差 2.7 倍的情况所得到的数据加以比較,可以看出温度对純鉄体性质的影响。在較大的积分中子通量之下,样品温度低 8°C (中子流通量相同时,样品温度实质上依赖于管道内热传导的条件)。同时鉄心的性能被大大改善,这証明純鉄体的磁性与积分中子通量无关。当純鉄体在 $1.8 \cdot 10^{13}$ 中子/厘米²·秒的通量下被照射时(样品温度等于 46.3°C),半激发电流改变的平均值(正比于矫頑力)为 12%。然而当温度也升高到大約同一数值(47.2°C)可是却没有照射作用的情况下, I_{nb} 改变量的平均值为 13%。在被研究过的最大通量(8.5×10^{13} 中子/厘米²·秒)的作用下,样品温度为 60.5°C 时, I_{nb} 的最大改变量为 17%。

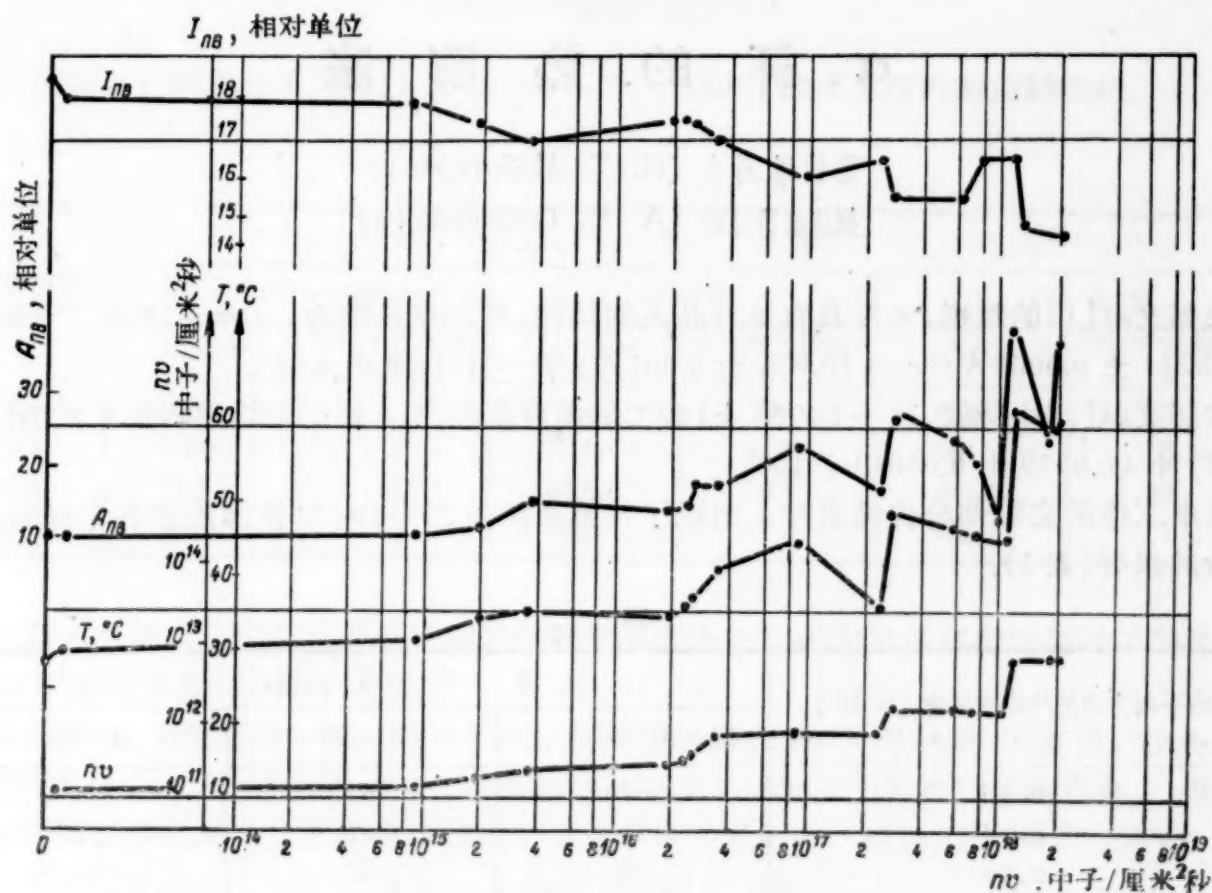
在照射中发现,反复磁化及半激发的振幅随着(温度)通量的加大而增长的数量,和沒有照射作用的情况下这些数值的温度变化比起来,是非常小的(見表)。这些事实証明,在照射作用下,磁滯迴綫的水平部分的坡度变化得較不剧烈,也即是,迴綫的直角性比起沒有輻照作用时

反复磁化振幅与半激发振幅的变化

	无	辐	照
样品温度	52.7°C	58.8°C	60.5°C
反复磁化的振幅的变化*	39%	45%	15%
半激发振幅的变化*	4 倍	6.2 倍	2.6 倍
全反复磁化的振幅与半激发振幅之比**	1.4	1.04	1.76

* 表中所列者系这些量与室温下該量的原始数值之比的平均值。

** 比值的原始数值等于 4。



半激发振幅 A_{nb} 和半激发电流 I_{nb} 的变化与积分中子通量的关系

由于温度而引起的变化有了改善。

已经指出过,纯铁体在晶格中无序化现象应随着积分中子通量的增长而增长。这个规律性之所以没有显示出来,可能是由于照射过程中,样品温度已达 $320-330^{\circ}\text{K}$ 的缘故。而无序化的速度是温度的函数,并随着温度的上升而下降。看来,空位和间隙原子在该温度下是十分活动的,并使照射作用下被无序化了的物质大部分又重归有序化。此外,在 $n-\gamma$ 照射场所观察到的迴线直角性的改善,可能也是与附加的、对于温度的影响有阻碍的、纯铁体热中子流里晶格的有序化相連系着。

因此,在较大的 $5 \cdot 10^{11} - 5 \cdot 10^{12}$ 中子/厘米²·秒的中子流及 γ 射线中工作的仪器里,纯铁体被作为记忆元件使用时,必须预先考虑到矩阵的电流的自动变化,或是使纯铁体在辐射情况下的工作过程中被强制冷却到所需温度。

馬塔林(Л. А. Маталин)提供了論文的題目,并引起作者对它的兴趣,庫斯闊夫(Ю. К. Гуськов)和緬希科夫(Н. В. Мешков)在工作中曾給予帮助,科沙列夫(А. А. Косарев)曾費心供給純鉄体样品。借此机会致以謝意。

譯自 Атомная энергия том 7 (1959) вып. 1, 66—68.

参 考 文 献

- [1] *Electr. Manufact.*, **59**, No. 1, 312 (1957).
- [2] *Electronics*, **30**, No. 10, 250 (1957).
- [3] M. Forestier et al: *Compt. rend. Acad. Sci. France*, **243**, No. 23, 1842 (1956).
- [4] Я. Г. Дорфман: Изв. АН СССР, Серия физ., 16, 412 (1952).
- [5] M. Vochiral: *Compt. rend. Acad. Sci. France*, **233**, No. 14, 736 (1951).
- [6] Л. А. Маталин, А. М. Шьяманский, С. И. Чубаров: *Приборы и Техника эксперимента*, №1, 64 (1957).
- [7] S. Zeitz: *Dis. Farad. Soc.*, **5**, 271 (1949); Дж. Глен: *Усп. физ. наук*, **LX**, № 3, 445 (1956).
- [8] C. Dixon, D. Bowen: *Phys. Rev.*, **2**, No. 94, 1418A (1954).

α 鈺 的 热 膨 胀

柴波塔列夫 (Н. Т. Чеботарев)

别茲諾西可娃 (А. В. Безноскова)

根据文献[1]的数据, α 鈺具有单斜晶系的结构,其点阵参数为: $a = 6.1835 \pm 0.0005 \text{ \AA}$; $b = 4.8244 \pm 0.0005 \text{ \AA}$; $c = 10.973 \pm 0.001 \text{ \AA}$; $\beta = 101.82 \pm 0.02^{\circ}$.

按照文献[2]中所叙,在 -186 到 $+100^{\circ}\text{C}$ 的温度范围内, α 鈺的平均热膨胀系数为 $[(46.85 \pm 0.05) + (0.0559 + 0.0004)t] \cdot 10^{-6}$.

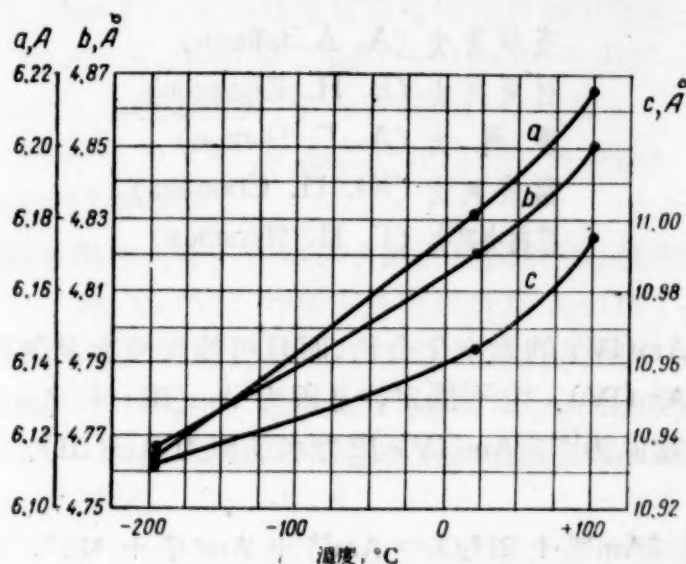
当本工作的实验部分告结束时,出现了有关 α 鈺在 $21-104^{\circ}\text{C}$ 范围内沿各个轴向的热膨胀系数的报导(表 1).

表 1

沿下列方向的热膨胀系数 ($\times 10^6$)	温 度 范 围, $^{\circ}\text{C}$		
	21—51	21—96	21—104
$\alpha_1 \perp c$	57	62	66
$\alpha_2 \parallel b$	58	71	73
$\alpha_3 \parallel c$	19	27	29
α_{cp}	45	53	56

在本文中測定了 -196 到 100°C 溫度範圍內, α 鈣沿各個方向的热膨脹系数。在室溫、液體氮的溫度及 100°C 時, 从所研究的絲狀样品(直径 0.5 毫米)得到銅靶輻射的 X 射綫圖象。在 -196 到 $+20^{\circ}\text{C}$ 的範圍內, X 射綫圖象是在 PKCO 暗箱中用倒逆照象法測得的。为了在 -196°C 获得 X 射綫圖象, 在測量过程中不断地用液體氮澆洒样品。 100°C 以下的 X 射綫圖象是在 PKY-86 暗箱中得到的。

被研究的試样在室溫下的晶格参数为: $a = 6.181 \pm 0.002 \text{ \AA}$; $b = 4.821 \pm 0.001 \text{ \AA}$; $c = 10.965 \pm 0.005 \text{ \AA}$; $\beta = 101.82^{\circ}$ 。在指出的溫度範圍內, 按照衍射綫 $714, 710, 545, 248, 445, 724, 452, 356, 060, 5112, 3213$ 的位移測定了热膨脹系数。上述各綫符合反射角在 63 到 81° 的範圍。



α 鈣的晶格参数随溫度的变化

图上列出 α 鈣的晶格参数 a, b, c 在 -196 到 $+100^{\circ}\text{C}$ 溫度範圍內的曲綫变化。

表 2

热膨脹系数 沿下列方向	溫度 范 围, $^{\circ}\text{C}$					
	$-196 - +20$		$20 - 100$		$-196 - +100$	
	$\alpha \times 10^6$	平均平方誤差, %	$\alpha \times 10^6$	平均平方誤差, %	$\alpha \times 10^6$	平均平方誤差, %
$\alpha_1 \perp c$	49 ± 6	12	68 ± 6	9	55 ± 7	13
$\alpha_2 \parallel b$	53 ± 3	6	77 ± 4	5	60 ± 5	8
$\alpha_3 \parallel c$	14 ± 3	21	35 ± 5	14	20 ± 4	20
α_{cp}	39 ± 3	8	60 ± 4	7	45 ± 4	9

表 2 列出 α 鈣沿三个互相垂直方向的热膨脹系数及在所研究的溫度範圍內的平均热膨脹系数 α_{cp} , 并表出測量的平均平方誤差。

应当注意到, 无论对于 -196 到 $+100^{\circ}\text{C}$ 範圍內被测得的平均热膨脹系数, 或是 $20 - 100^{\circ}\text{C}$ 範圍內沿不同方向的膨脹系数, 所得到的結果均与已发表的数据很好地符合。某些分歧可用所研究的样品的晶格参数有少許差別及溫度范围比較小(特别是从 20 到 100°C) 来解释。較小的溫度范围是被 122°C 处 $\alpha \rightarrow \beta$ 的相变所限定了的。

譯自 Атомная энергия том 7 (1959) вып. 1, 68—69.

参 考 文 献

- [1] W. Zachariasen, F. Ellinger. J. Chem. Phys., 27, No. 3, 811 (1957).
 [2] E. Cramer, L. Hawes, F. Schonfeld. Progr. Nucl. Energy, 1 (V), 373 (1956).
 [3] A. Coffinberry, F. Schonfeld, F. Ellinger, E. Cramer, W. Miner, R. Elliott, V. Struebing. The Physical Metallurgy of Plutonium and its Alloys. Доклад № 1046, представленный США на Вторую международную конференцию по мирному использованию атомной энергии (Женева, 1958).

Am (IV) 的歧化作用

查伊采夫 (A. A. Зайцев)

柯夏柯夫 (B. H. Косяков)

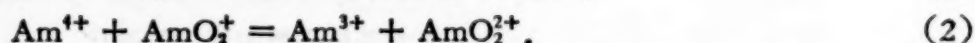
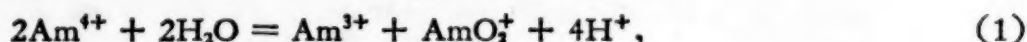
雷柯夫 (A. Г. Рыков)

索波列夫 (Ю. П. Соболев)

雅柯夫列夫 (Г. Н. Яковлев)

現在已能合成几种 Am(IV) 的无水化合物,而且可能比較容易制得^[1, 2]. 但是,至今为止,在水溶液中未曾发现过 Am(IV). 它不稳定,是因为 Am(III) 和 Am(IV) 的氧化还原电位高 (2.4b) 的缘故^[3], 所以通常认为^[4-6] Am(IV) 应为水还原为 Am(III).

在下列反应中:



假定有一个反应发生类似的 Am(V) 歧化作用,则在研究 Am(V) 的歧化反应机制时,就可以解释已发现的 Am(VI) 和 Am(III) 的产量比.

反应(1)的速度应该取决于氢离子浓度和随溶液酸度的减小而变大. 反应(2)应该以較大的速度进行,因为它同氢离子的浓度无关.

本文介绍的是为证实反应(1)和(2)的存在所作的初步研究的结果.

实验部分 在 600°C 灼烧 Am(III) 的草酸盐,就制得二氧化镅. 由蒸馏过的硫酸制备硫酸溶液. 酸的浓度用滴定法来测定.

将二氧化镅溶解在 0.5、1.0、2.0 M 硫酸中(在室温下)和 4.0、6.0 M 硫酸中(在水浴上加热). 溶解作用历时 10—15 分钟. 离心离析后,分析溶液中不同价的镅的含量. 在分出溶液和开始测定之间的时间为 10—20 分钟. 用石英分光光度计 CФ-4 测定 Am(III)、Am(V) 和 Am(VI) 的浓度. 为此,在所研究的硫酸溶液中预先研究了 Am(III)、Am(V) 和 Am(VI) 的吸收光谱. 作分光光度计测定时,利用了长 2 厘米的圆柱形气密比色皿. 镅的总浓度是在计数效率为 $4.85 \cdot 10^{-6}$ 的开缝电离室中按 α 射线用辐射法测定的.

试验结果和讨论 二氧化镅溶解在不同浓度的硫酸中之后所得的溶液的组成列于下表.

由下表可见,二氧化镅溶解后,在溶液中除 Am(III) 之外还发现有显著数量的 Am(VI), 而 Am(V) 实际上是不存在的. 出现原子价大于 +4, 就证明 Am(IV) 的歧化反应(反应(1))是存在的.

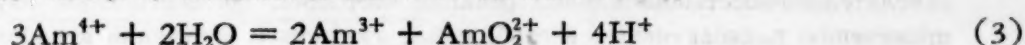
在溶液中没有 Am(V) (Am(V) 应该是这个反应的产物之一)和在 1.0 及 2.0 M 硫酸中生成 Am(VI), 可能是因为只有反应(2)存在的缘故,因为在这个介质中可以将 Am(V) 的歧化

Am(IV) 在 硫 酸 中 的 歧 化 作 用

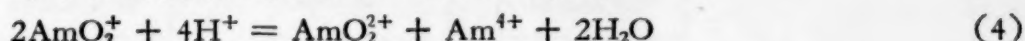
硫酸的浓度, M	溶液中 Am 的 总浓度, 10 ⁻³ M	溶 液 的 组 成, %			反 应 或 然 率, %	
		Am(III)	Am(VI)	Am(V)	Am(IV) 的歧化	Am(IV) 的还原
6.0*	29.4	87.7	11.7	0.6	36	64
4.0*	16.9	80.7	18.9	0.4	57	43
2.0	10.3	75.7	24.3	0.0	73	27
1.0	5.7	68.1	30.1	1.8	90	4

* 在水浴上加热时二氧化镅就溶解。

作用忽略不计^[8]。因而,在这种情况下两种反应都发生,而且第二种反应实际上会进行到底而且反应速度显然是很大的。Am(IV) 的总歧化反应可以写成如下形式:



在 4.0 和 6.0M 硫酸中 Am(V) 也可能消失,因为有下列歧化反应:



但是,在这种情况下总反应并没有变化。

由此可见,在二氧化镅溶解时,除了 Am(IV) 的还原反应外,还有反应(3)。利用总反应(3)的化学式,根据 Am(III) 和 Am(VI) 的析出量可以计算 Am(IV) 歧化反应和还原反应的析出量。得到的结果列于表中的最后两行。由此可见,随酸度的减小,反应(3)析出量就增大,而且在弱酸溶液中这一反应占主要地位。这就证明,总反应(3)的速度决定于反应(1)的速度,而后者取决于氢离子的浓度。但是,反应(1)的速度常数应该是很大的,因为 Am(IV) 的歧化作用甚至在 6.0M 硫酸中也很明显。

为了最后证实反应(2)的存在,曾作了如下实验:将二氧化镅溶解在含有已知数量 Am(V) 的 0.5M 硫酸中。当 Am(V) 的最初数量比溶解的 Am(IV) 的数量大约小二分之一时,在二氧化镅溶解后 Am(V) 实际上是沒有了。显然最初的 Am(V) 按反应(2)由 Am(IV) 很迅速地还原了,而剩下的 Am(IV) 则部分地按反应(3)发生了歧化和还原。这些反应的析出量是:反应(2)——37%; 反应(3)——52%; Am(IV) 的还原反应——11%。

在 Am(V) 最初数量比溶解的 Am(IV) 的数量大约大一倍的试验中,根据假定计算反应几率知,溶液中 Am(V) 的浓度减少是由于只有反应(2)所促成的。这时,反应(2)的几率是 77%; 反应(3)——10%; Am(IV) 还原反应——13%。既然实验是用的 Am²⁴¹, Am(IV) 和 Am(VI) 的放射还原反应也类似上述反应。从分离溶液起至测定开始共历时 10~20 分钟,在这段时间内,Am(VI) 可以因放射产物而部分还原为 Am(V)。在溶液中发现的少量 Am(V),看来就是由于这种还原作用所致的。假定这点,就可以确定测定时 Am(VI) 已还原的数量。由上表(右面第三行)可见,这个校正值是不大的。在二氧化镅的溶解过程中,Am(IV) 也放射还原。对于这点是不能不考虑的,所以求得的还原反应析出量的百分数是因水还原和因放射产物还原的总结果。但是,用数量表示放射反应的结果是不可能的,因为直到各相分离的时候止二氧化镅是存在的,而且其中的镅的数量要比溶液中的镅大几倍。在 0.5 和 1.0M 硫酸中 Am(IV) 还原反应析出量,可能几乎全部由放射所促成。肯定说,只有在加热时溶解二氧化镅的条件下才可能用水还原 Am(IV)。

对于反应(1)和(2)进行动力学研究是很困难的,因为这些反应的速度很大。但是,所得的结果却提供了如下假定的根据:在普通酸的水溶液中沒有 Am(IV),主要是由反应(1)和(2)促成的。

参 考 文 献

- [1] J. Perlman, K. Street: The Actinide Elements. Chapter 14, N.N.E.S. div. IV, Vol. 14-A. McGraw-Hill Co., New York, 1954.
- [2] L. Asprey: *J. Amer. Chem. Soc.*, **76**, 2016 (1954).
- [3] L. Eyring, H. Lohr, B. Cunningham: *J. Amer. Chem. Soc.*, **74**, 1186 (1952).
- [4] S. Stephanon, L. Asprey, R. Penneman: US ASC-925 (1950).
- [5] G. Hall, P. Herniman: *J. Chem. Soc.*, 2214 (1954).
- [6] G. Hall, T. Markin: *J. Inorg. and Nucl. Chem.*, **4**, 296 (1957).
- [7] Г. Н. Яковлев, В. Н. Косяков: Исследования в области геологии, химии и металлургии. Доклады советской делегации на Международной конференции по мирному использованию атомной энергии. (Женева, 1955). Изд-во АН СССР, 1955, стр. 237.
- [8] Г. Н. Яковлев, А. А. Зайцев, В. Н. Косяков, А. Г. Рыков, Ю. П. Соболев: Исследование некоторых окислительно-восстановительных реакций америция. Тр. Всесоюзной научно-техн. Конференции по применению радиоактивных и стабильных изотопов и излучений в народном хозяйстве и науке. Сб. «Изотопы и излучения в химии», Изд-во АН СССР, 1958, стр. 326.

Po- α -O 源 的 中 子 谱

哈巴赫帕舍夫 (А. Г. Хабахпашев)

氧的同位素 O^{18} 具有很大的 (α, n) 反应截面。纯同位素 O^{18} 的厚靶当能量为 5.3 兆电子伏的 α 粒子 10^6 时, 其中子产额为 $31^{[1]}$ 。本文测量了 Po- α -O 源的能谱。

中子源是硝酸钷的水溶液(浓集了 24% 的同位素 O^{18})。由不锈钢做成的内直径为 8 毫米的薄壁容器充了 2.3 立方厘米的这种溶液, 其中含有 1.38 居里的钷。中子源的强度是利用“长计数管”^[2] 借与 Pu- α -Be 标准源的比较法测量的, 它为 2.3×10^3 秒⁻¹。据这个源的数据计算的 O^{18} 厚靶的中子产额为每 $10^6 \alpha$ 粒子为 30.7 个中子。

为了测量 Po- α -O 源的能谱, 应用了具有高效率的快中子闪烁谱仪^{*)}。装置的方块图示于图 1。

谱仪的作用原理是基于测量伴随一定能量的散射中子同时发生的反冲质子的能谱。这时初始中子的能量可作为反冲质子能量和散射中子能量之和来测定。为了析出一定能量的散射中子, 利用了时间振幅选择作用。延迟符合线路($\tau = 5.5 \times 10^{-9}$ 秒, 延迟—— 1.9×10^{-8} 秒, 飞越距离——11.5 厘米) 据飞越时间析出能量从 120 到 380 仟电子伏的散射中子。第二道的脉冲选择器和慢符合线路可以缩小被谱仪记录下来的散射中子的能量范围, 减少偶然符合的数目, 使得只有原来的 $\frac{1}{10}$ 左右, 也可以消除单个脉冲的记录。由 γ 量子和宇宙线粒子引起的具有很大振幅的单个脉冲可以通过快符合线路, 因为该线路具有灵敏度约 100 仟电子伏(对质子)。由具有脉冲选择器和慢符合线路的谱仪记录下来的散射中子的能量等于 260 ± 80 仟电子伏。

反冲质子脉冲的高度分布由分析器 АИ-50 得到。而反冲质子的能谱是利用了列于文献[3]的数据。谱仪的校准是根据 Po- α -Be 源中子谱的最大能量 4.85 兆电子伏进行的。其分辨率对能量为 3 兆电子伏的中子而言为 10%。

*) 谱仪的详细情况将在单独的文章中介绍——原注。

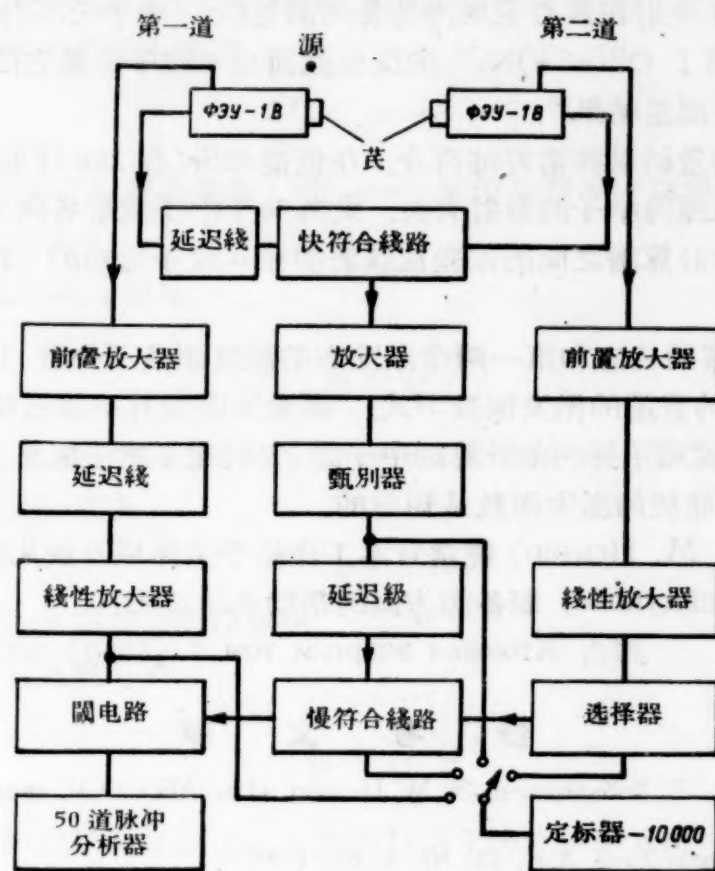


图 1 快中子闪烁谱仪方块图

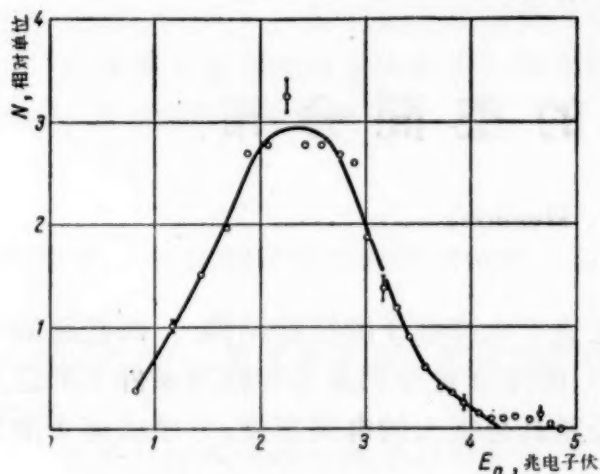


图 2 Po-α-O 源的实验 neutron 谱

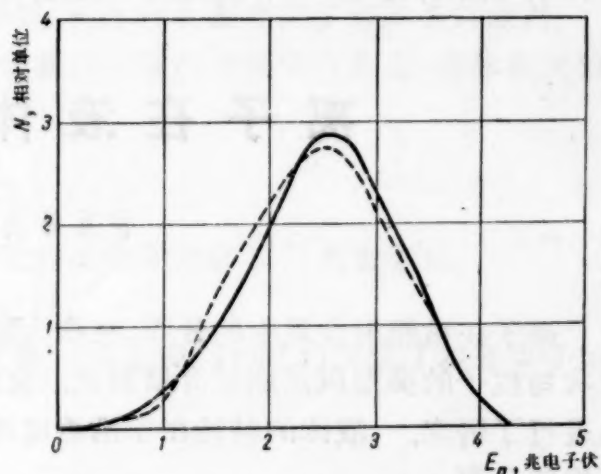


图 3 Po-α-O 源的理论 neutron 谱

如果第二道采用了大直径晶体以及源离第一道的晶体的距离不是太小的话，则谱仪效率与中子能量的关系可以分析表述。对于二个闪烁体具有大致相同的大小以及源紧紧地挨着第一个晶体，则效率与能量的关系必须通过实验确定。谱仪的工作是利用 Po-α-Be 源在二种几何情况下进行检验的。

利用谱仪效率最大的二种几何情况测定了 Po-α-O 源的中子谱。效率与能量的关系是根据 Po-α-Be 源测定的(Po-α-Be 源的中子谱在文献[4]中已被很好地测量过)。

Po-α-O 源的中子谱示于图 2。它在 2.4 兆电子伏处明显地表示出来具有最大值。中子的最大能量等于 4.3 兆电子伏。谱是在 20 小时内画出来的。谱仪的总效率，亦即记录的脉冲数与源放出的中子数之比等于 10^{-6} 。

图 3 列出了 Po-α-O 源的理论中子谱，它是在这样的假定下计算出来的：即假设由被激发

的核 Ne^{22} 所产生的中子发射在质心系统内是各向同性的。中子谱的计算方法曾在文献[4]中叙述过。在计算时应用了 $\text{O}^{18}(\alpha, n)\text{Ne}^{21}$ 的反应截面与 α 粒子能量之间关系的数据^[5], 以及伴随中子放出的 γ 辐射的测量结果^{*}。

发现计算结果与测量结果非常好地符合。在低能部份(在 200 仟电子伏附近)实验中子谱的某些总的位移可能与源内中子的散射有关。此外关于中子放射各向同性的假设可能是不正确的。这时测量谱与计算谱之间的偏差应该表明在 α 粒子运动的方向上中子放射的几率是较小的。

由于跃迁到 Ne^{21} 核的基态和第一两个激发态的激发函数不知道, 因此在计算中假定它们具有文献[5]中引入过的普遍的激发函数形式。而激发函数并不强烈地影响中子谱。为了比较起见, 在图 3 上用虚线画了另一条计算的中子谱, 它假定了对于能量由 3.5—5.3 兆电子伏跃迁到 0.350 兆电子伏的能级的激发函数是矩形的。

作者对青捷尔 (Э. М. Центер) 经常对本工作给予关怀以及依凡诺娃 (В. В. Иванова) 和盖杜柯娃 (Л. П. Гайдукова) 制备源方面的帮助表示感谢。

译自 Атомная энергия том 7 (1959) вып. 1, 71—72.

参 考 文 献

- [1] И. А. Сердюкова, А. Г. Хабахиаев, Э. М. Центер: Изв. АН СССР, серия физ., **XXI**, № 7, 1017 (1957).
- [2] A. Hanson, J. McKibben: *Phys. Rev.*, **72**, No. 8, 673 (1947).
- [3] C. Taylor, W. Jentschke, M. Remley, F. Eby, P. Kruger: *Phys. Rev.*, **84**, No. 5, 1034 (1951).
- [4] B. Whitmore, W. Baker: *Phys. Rev.*, **78**, No. 6, 799 (1950).
- [5] T. Bonner, A. Kraus, J. Marion, J. Schiffer: *Phys. Rev.*, **102**, No. 5, 1348 (1956).

离子在液体内的空间分布

伊凡诺夫 (В. И. Иванов)

离子在被照射介质中的分布, 在很大程度上取决于电离粒子的径迹结构。而径迹的结构依次与粒子的类型以及照射介质有关。文献[1—3]的作者曾分别对各种辐照条件下的这些问题进行了研究。液体的特性在于沿着电离粒子径迹具有很大的电离密度, 它造成离子浓度的不均匀分布。

对于重粒子而言柱体乃是其特征体积, 在 β 或 γ 辐射的情形下离子集聚在近于球形的特征体积内, 由于复合的结果在特征体积内的离子总数将随时间而逐渐减少, 而且由于扩散的结果其体积将逐渐扩大, 直到离子按全部照射体积建立均匀分布以前。

因此, 经过长期辐照以后, 部分离子将按整个体积均匀分布, 而另一部分则聚集在球形和柱形或者它们之间某个形状的体积元中。

本文目的是确定均匀分布的本底的离子浓度和集聚在由照射条件而定的体积元中的离子浓度。

本文的研究方法是基于这样的假设: 在离子形成的瞬间它们都聚集在相同的体积为 V_0 的球形体积元中。由于复合和扩散的结果, 在体积元体积中的离子浓度将逐渐减小, 经过时间 τ

^{*} 根据最近的测量, 激发核 Ne^{22} 向 Ne^{21} 基态的衰变为 55%, 向能量为 0.350 兆电子伏的第一激发态的衰变为 35%, 向能量为 1.73 兆电子伏的第二能级的衰变为 10% (其工作将发表)。

(幅照体积內如同独立的不連續区域的体积元存在的时间)后离子本底浓度等于 y_0 。从幅照的瞬时起,本底离子浓度的变化由方程

$$\frac{dy}{dt} = -\alpha y^2 + q \quad (1)$$

来确定,式中 α ——离子的复合系数,而 q ——单位时间单位幅照体积內本底增加的离子对数,它决定于体积元的消失。

平衡状态时本底的离子浓度

$$y_0 = \sqrt{\frac{q}{\alpha}}. \quad (2)$$

假如在作为独立的特征体积的体积元消失的瞬间其中离子数为 N_r ,而 ν 为单位时间单位体积內形成的体积元数,那么

$$q = N_r \nu, \quad (3)$$

对于給定的幅照条件, ν 正比于射线强度。

从方程(2)与(3),我們得到

$$y_0 = \sqrt{\frac{N_r \nu}{\alpha}}. \quad (4)$$

因此,确定本底的离子平衡浓度 y_0 的問題归結于确定体积元消失瞬间的离子数 N_r 的問題。体积元中的离子数与时间有关,它可写成

$$N = N_0 f(t) \quad (5)$$

的形式,式中 N_0 ——体积元形成时刻其中的离子数, $f(t)$ 可由复合和扩散的条件求得。

在体积元按全部照射体积均匀分布时,对平衡状态而言最合理的假設是:当体积元独立存在时,其中沒有新的离子产生,即

$$\tau = \frac{1}{\nu V_r}, \quad (6)$$

式中 V_r ——体积元消失瞬间的体积。随时间变化着的体积元体积可表为形式:

$$V = V_0 \varphi(t), \quad (7)$$

式中函数 $\varphi(t)$ 可用与求 $f(t)$ 相同的那些条件求得。关系式(3)与(4)决定了本底离子的平衡浓度。

集聚在体积元中的离子的平衡浓度

$$\kappa_0 = \bar{N} n_0, \quad (8)$$

式中 $\bar{N} = \frac{N_0}{\tau} \int_0^\tau f(t) dt$ ——体积元存在期間其中的平均离子数; $n_0 = \nu_r$ ——平衡状态时单位体积內的体积元数。

用这个方法获得了体积元为柱形和球形时 κ_0 和 y_0 的解析表式。假設柱体的体积元体积增加仅由于垂直于柱体軸綫扩散的結果。

由扩散結果引起的离子平均位移可用下列关系式得到

$$\bar{r} = \sqrt{\frac{4}{\pi} D t},$$

式中 D ——通常的扩散系数。引出下面公式:

1) 对柱形体积元:

$$y_0 = \left\{ \frac{N_0 v}{\frac{1}{\alpha} + \frac{2N_0}{V_0 a^2} \left[\ln(1 + ak) - \frac{ak}{1 + ak} \right]} \right\}^{1/2},$$

式中

$$k = \frac{1}{2a} \left[\left(1 + \frac{4a}{\sqrt{vV_0}} \right)^{1/2} - 1 \right],$$

$$a = \sqrt{\frac{6\pi D l}{V_0}} \quad (l \text{——柱体长度});$$

$$x_0 = \frac{N_0 v \tau}{1 + \frac{2\alpha N_0}{V_0 a^2} \left[\ln \left(1 + \frac{4}{3}a + \frac{1}{2}a^2 \tau \right)^{1/2} + \frac{1}{1 + \frac{4}{3}a + \frac{1}{2}a^2 \tau} - 1 \right]};$$

2) 对球形体积元:

$$y_0 = \left[\frac{N_0 v}{\frac{1}{\alpha} + \frac{1}{V_0} \left(\frac{k}{1 + bk} \right)^2} \right]^{1/2},$$

式中 k 决定于方程

$$\frac{1}{\sqrt[3]{k^2}} = \sqrt[3]{vV_0} + 1.82 \sqrt[3]{v} \sqrt{D_1} k,$$

$$b = \frac{1.82 \sqrt{D_1}}{\sqrt[3]{V_0}}, \quad D_1 = \frac{3}{2} \pi D;$$

$$x_0 = \frac{N_0 v \tau}{1 + \frac{\alpha}{V_0} \left(\frac{k_1}{1 + bk_1} \right)^2},$$

式中

$$k_1 = \frac{\sqrt[3]{1 + A} - 1}{b},$$

$$A = 2bk + \frac{3}{2} b^2 k^2 + \frac{2}{5} b^3 k^3.$$

x_0 是根据体积元存在期间它的平均体积近似确定的。浓度 x_0 和 y_0 的精确度取决于起始条件。上述关系式在其它条件相同的情况下可以使离子在照射介质中的分布特性比根据文献[3]中马克公式进行的计算准确一些。马克公式仅采用柱形体积元,而且关于其体积改变性质的假定是不十分严格适合扩散理论的。

从关系式中可直接得出结论:本底的相对浓度随开始时的体积元体积和辐射强度的增加而增加。这也说明了液体电离室的某些规律性。确定 x_0 和 y_0 的公式也可用来研究放射化学反应和研究对机体辐射的作用。

邵忠仁 译自 Атомная энергия том 7 (1959) вып. 1, 73—74.

参 考 文 献

- [1] G. Jaffe: *Ann. Physik*, **42**, 303 (1912).
- [2] D. Lea: *Proc. Cambridge Philos. Soc.*, **30**, 80 (1934).
- [3] Д. Л. Маги: Теория радиационной химии. Влияние плотности ионизации. Сб. «Радиационная химия». Изд-во иностр. лит., 1953, стр. 5.

联合原子核研究所同步迴旋加速器 大厅内尘埃的放射性

阿法那謝耶夫 (В. П. Афанасьев)

如文献[1]所指出,在联合原子核研究所内靠近工作着的同步迴旋加速器部分的空气是放射性的,并且是在停机后几分鐘内被观察到的。很自然地假定:悬浮在空气中的尘埃被高能粒子束活化了。本文的目的在于闡明放射性尘埃輻射危险的程度以及研究他們的同位素組份的可能性。

为了选择尘埃样品,利用了一个由吸尘器、过滤器和测量通过过滤器的空气的容积用的計数器构成的装置。装在計数器入口处的分析式过滤器是一直径为 28 毫米的圓盘,为建立真空密封起見,其两面用橡皮环貼紧。在停机后,或是立即压送空气,或是經若干小时后才开始压送。在停止空气压送后經 2—5 分鐘测量过滤器的放射性。 β 輻射用云母窗厚度为 5 毫克/厘米²的端面盖革計数管記錄。过滤器的厚度(沒有考虑其紗布基层)为 3 毫克/厘米²,从过滤器到計数管灵敏体积的距离为 15 毫米。此时相对立体角 ω 为 0.06^[2]。

为了确定漏过过滤器的尘埃的百分比,利用二个过滤器进行了特別测量,于計数管入口处将一个过滤器放在另一个的上面。发现漏过过滤器的尘埃百分比仅为 10%。

也测定了在过滤器中 β 粒子的最大自吸收系数 S 。对于在加速器大厅内收集到的尘埃放出的 β 粒子的 S 等于 0.98,在外面空气中收集到的尘埃的 β 粒子, S 为 0.85。在空气层中的吸收系数 K_1 和計数管窗的吸收系数 K_2 分别为 0.91 和 0.75。

在加速器大厅内曾收集了 14 个尘埃样品,同时在大厅外也收集了一些样品。在同步迴旋加速器大厅内放射性的值平均为 84 脉冲/分·米³,而在外面空气中为 25 脉冲/分·米³。因此,由加速器工作所决定的放射性的量平均为 59 脉冲/分·米³。还会根据鋁中的吸收测量了半衰期和估計了 β 粒子的能量,在大厅外收集到的天然尘埃样品的半衰期和能量分别为 $T = 30$ 分 $\pm 50\%$ 和 $E_\beta = 0.65$ 兆电子伏 $\pm 40\%$; 测量在同步迴旋加速器大厅内收集到的尘埃样品的放射性衰变常数,得到 $T = 14$ 小时 $\pm 20\%$ 和 $E_\beta = 1.25$ 兆电子伏 $\pm 40\%$ 。尘埃的天然放射性取决于氡的衰变产物之一,亦即 $Pb^{214}(RaB)^{[3]}$ 。

在测量大厅内获得的长寿命尘埃的放射常数的基础上,从分布在加速器(重混凝土屏蔽)附近的物质組成,及受高能粒子輻射出发,可以假定:在加速器大厅内尘埃的放射性基本上是由同位素 Na^{24} 所造成。

在空气中 Na^{24} 的浓度可用下面关系式計算:

$$C_{Na^{24}} = \frac{N}{3.7 \times 10^{10} \times 60 \omega \cdot S K r \cdot 10^3} \text{ 居里/升,}$$

其中 N —— 压送空气每立方米每分鐘的脉冲数; 3.7×10^{10} —— 变换到单位居里的系数; 10^3 —— 从立方米过渡到升的系数。所有其他的量都是上面引进的修正系数。

在上式中对于一般情况应引进一个考虑到在压送時間內过滤器上尘埃蜕变的修正因子。但在本文中由于下面二个原因沒有引入这个因子: 第一,压送時間和 Na^{24} 的半衰期相比很小; 第二,厅内和厅外的压送进行了同样多的時間。

如空气中 Na^{24} 的极限允許浓度为 0.001,代入数值公式可得到 $C_{Na^{24}} = (5 \cdot 10^{-13} \pm 50\%)$ 居

里/升。

我們估計了在厅外空气中 Pb^{214} 的浓度。在这种情况下代入上面引入的公式得到 $C_{\text{Pb}^{214}} = 10^{-13}$ 居里/升，这个 $\text{Pb}^{214}(\text{RaB})$ 的浓度值和文献[4]所得到的数据一致。

結 論

发现当同步迴旋加速器工作时大厅内产生放射性的尘埃。

假设大厅内尘埃的放射性基本上是由 Na^{24} 同位素造成。 Na^{24} 的浓度为 $(5 \cdot 10^{-13} \pm 50\%)$ 居里/升，其极限允许浓度为 0.001。天然放射性尘埃 $\text{Pb}^{214}(\text{RaB})$ 在大气中的浓度为 10^{-13} 居里/升。

最后，作者感谢在完成本工作时柯馬契柯娃 (М. М. Комочкова)，米歇多娃 (В. Н. Мехедова) 批評式的意見和幫助。

譯自 Атомная энергия том 7 (1959) вып. 1, 74—75.

参 考 文 献

- [1] М. М. Комочков, В. Н. Мехедов: *Атомная энергия*, 4, № 5, 471 (1958).
- [2] Н. Г. Гусев: *Справочник по радиоактивным излучениям*. Медгиз, 1955.
- [3] В. И. Баранов: *Радиометрия*. Изд-во АН СССР, 1955.
- [4] С. Жэх: *Чехосл. физ. ж.*, 7, № 34, 33 (1957).

科技新聞

苏联科学家执行苏联共产党第廿一次党代会決議

(苏联科学院年会側写)

1959年3月26日到28日在莫斯科科学家大厅召开了苏联科学院大会(年会)。會議的内容是討論科学院如何执行苏联共产党第廿一次党代会的決議。

苏联科学院副院长托普契也夫作了关于科学院一年来的活动和当前任务的报告。科学院院长聶斯米揚諾夫作了关于苏联利用火箭和人造卫星研究宇宙和上部大气层的概述性报告。

有廿多个人在討論时发了言。在与会者的报告和发言中,发展物理,尤其是发展原子核物理和技术問題,占了显著地位。在廿多个最重要的現代科学任务中控制热核反应和对基本粒子的研究居于首位。

物理-数学分部过去是,今后仍将是科学院中最大的分部。最近三年,在这个分部中建立了十一个新的研究所,其中有五个属于西伯利亚分部。拉夫林捷夫院士指出,新西伯利亚的科学城市首要的建設項目便是原子核物理所。

热核反应的控制、内部核力的研究、中子物理、放射化学和放射生物学問題——是苏联科学在当前的七年計劃中最重要的任务。建立原子能发电站的

工作得到了广泛的发展。探求載热剂、释热元件和选择比較經濟的反应堆是发展原子能电站所不可缺少的。将来还要建造最新型的加速器和反应堆。

苏联科学院通訊院士康士坦丁諾夫詳細地介紹了苏联原子核物理最老的中心,培养了几十位大科学家的工程物理研究所的工作情况。在研究所內扩充了热核反应的研究工作。原子核的研究將繼續进行,还要創造新的和改进旧的仪器,如精密的 β 譜仪,观察原子核径跡的自动設備等。

会上通过了苏联科学院的新章程。新章程的条文中規定繼續发揚对科学工作的集体领导,尽量发揮科学家的創造积极性,发揚民主的組織形式。會議着重討論了科学工作的組織和协作問題,以及将各个研究所、實驗室已完成的研究成果、新发明、物质技术装备运用到生产中去的问题。會議通过成立主要研究任务的学术委员会。学术委员会将配合和指导在各个科学技术領域中的科学院内部和科学院以外的所有单位的全部工作。

柯洛維戈夫(В. Коровиков)

譯自 Атомная энергия том 7

(1959) вып. 1, 76.

第九次全苏原子核能譜学会議

第九次全苏原子核能譜学(年度)會議从1959年1月26日至2月2日在哈尔科夫召开。参加會議的有各科学研究所及各高等学校三百多位科学工作者。听取了一百多个有关核結構、 α 和 β 衰变等不同問題的理論与实验研究結果的报告。下面簡短地綜述一下某几个报告*)。

原子核理論; β 衰变的一般問題 在本會議第一次会上研究了核理論的問題。在达維多夫(А. С. Давыдов)(国立莫斯科大学)的报告中概述了核低激发态的实验研究結果,并在目前現有的理論概念的基础上将这些研究結果分了类。曾假設核的形

状与軸向对称的形状有出入来作为对某些理論和实验之間分歧,特別是轉动带中能閾反常規律的可能的解释。非軸向性的参数由自旋为2的两个能級状态的实验数据来測定。根据这个参数,計算出轉动能級状态及与实验数据能很好相符的这些能級間的跃迁强度。在別凱尔(Л. К. Пекар)关于畸变核的新工作及毕尔普拉依尔(Б. Л. Бирбраир)、別凱尔

*) 會議一部分材料发表在“科学院通报”杂志的物理专刊,第二十三卷,1959年第二期上;其余的报告將刊登在此杂志1959年第7期及1960年第1期上。

和斯立夫 (Л. К. Пекер, Л. А. Слив) (列宁格勒工程物理研究所) 等三人关于畸变核四极振盪的报告中用旧有的有关核形状轴向对称的理論解释了实验数据。在后一个报告中研究了两种类型的核振盪——沿 (β) 或横断 (γ) 形变轴的振盪, 并得到了 β 和 γ 最初振盪能级的表示式。考虑了旋轉与振盪之間的相互作用并获得了轉动带能级能量的一般校正值。

依諾平 (Е. В. Инопин), 康察尔 (В. Ю. Кончар) 和齐特闊 (С. П. Цытко) (哈尔科夫工程物理研究所) 等人的报告专门論述了用綜合模型去分析輕核中 β 跃迁的实验数据, 根据此模型計算出来的 ft 数值和 β 跃迁矩陣元数值比用壳层模型作的計算結果更好地与实验数值相符。

在一些报告中提到运用有关核子在核中相互作用的新理論所进行的理論研究的成果。別里亞也夫 (С. Т. Беляев) (原子能研究所) 談到了計算核中关联。由这个模型得到的核低激发能级的状态能与实验数据很好地吻合。理論解释了早为人知晓的核的形状与壳层的充填程度間关系的性质。在米格达尔 (А. Б. Мигдал) (原子能研究所) 的报告中公布了将超导模型在核上应用的結果并根据这个模型得到核慣性动量的一般表示式。涅米洛夫斯基 (П. Э. Немировский) (原子能研究所) 探討了中性核稳定性的問題。

論述 β 衰变一般理論問題的有斯摩罗金斯基 (Я. А. Смородинский) (原子能研究所) 的綜述性报告。最近几年在理論上与实验上进行的研究工作創立了各方面的弱相互作用的理論, 該理論能說明目前知道的一系列現象, 并預告某些目前在实验中尚未发现的过程。在报告中提出了 β 衰变实验研究方面最有意义的方向。

β 衰变問題方面所进行的实验工作中較有意义的工作为弗拉基米爾斯基 (В. В. Владимирский), 格里郭里也夫 (В. К. Григорьев), 叶尔加可夫 (В. А. Ергаков) 和特列布霍夫斯基 (Ю. В. Требуховский) (基本物理技术研究所) 和罗巴雪夫 (В. М. Лобашев), 那札連柯 (В. А. Назаренко) 和路西諾夫 (Л. И. Русняков) (列宁格勒工程物理研究所) 等人的工作。在前一工作中測量了自由中子 β 衰变时电子和中微子飞出方向間的角关联。当固定反冲质子脉冲时, 用研究衰变电子譜的方法来研究关联。作者們估計了 (尽管有很明显的統計誤差) 費米和加摩夫-德列尔 (Ферми и Гамов-Теллер) 相互作用常数的比值。在后一工作中研究了衰变电子断面极化

和与衰变电子同时产生的 γ 量子的圓极化間的关联。对 Sc^{46} 和 Co^{60} 进行了初步測量。进一步研究这个关联能解决有关 β 相互作用的哈密頓函数中虛部分存在与否則的問題。

衰变图; 核的 γ 輻射 在會議上較广泛提出的工作是对 β 能譜、內轉換电子譜及核的 γ 輻射等方面的研究工作。这里必須指出哈尔科夫工程物理研究所的工作人員所进行的大量有关 (p, γ) 反应中出現的一系列核的能级的研究工作。他們是安烏伏里也夫 (Ю. П. Ануфриев) 瓦尔德尔 (А. К. Вальтер), 康察尔 (Ю. В. Гончар), 高帕涅依茨 (Е. Г. Копанейц), 日窩夫 (А. Н. Львов), 吐塔金 (П. М. Тутакин), 齐特闊 (С. П. Цытко), 索洛金 (П. В. Сорокин), 杰依涅柯 (А. С. Дейнеко), 馬拉霍夫 (И. Я. Малахов) 和塔拉諾夫 (А. Я. Таранов)。利用了由靜电加速器內引出的能量为 4 兆电子伏的质子束。研究了 $Si^{28,29,30}(p, \gamma)$, $Ne^{20}(p, \gamma)$, $S^{32,34}(p, \gamma)$, $Ar^{40}(p, \gamma)$ 和 $N^{14}(p, \gamma)$ 等反应。进行測量的結果得到有关不同諧振的状态、寬度及相对强度的資料。对某些硬 γ 綫來說, 在观察氦核光致蛻变的基础上測定了 γ 量子的极化。

大量的报告是列宁格勒工程物理研究所的科学工作者提出的。在阿尔哈卓夫 (Д. Г. Алхазов), 格令貝尔格 (А. П. Гринберг), 吉新斯基 (Г. М. Гусинский), 連姆貝尔格 (М. Х. Лемберг), 罗日捷斯特文斯基 (В. В. Рождественский) 和叶洛欣娜 (К. Н. Ерохина) 的工作中研究了在迴旋加速器上加速过的多电荷离子 (C, N, O 和 Ne) 束轰击下某些核的低能级庫伦激发。列举出了一系列被研究核的激发几率及低能级寿命的測量結果。

在許多报告中报导了 β 能譜及內轉換电子能譜的最近測量, 这些工作得出的結果明确并补充了被研究核的衰变图。列宁格勒的研究所和联合原子核研究所提出的一系列报告談到了稀土元素貧中子同位素的长期研究工作。被研究的同位素在快质子 (680 兆电子伏) 轰击鉍时产生深剝落反应而获得。經過色层分离法分析后研究了 β 和 γ 能譜以及制备試剂的內轉換电子譜。在某些核中发现一系列早先未知的 γ 跃迁。在卡里亚明 (А. В. Калямин), 穆林 (А. Н. Мурин), 波克洛夫斯基 (В. Н. Покровский) 和雅可夫列夫 (В. А. Яковлев) (科学院鐳学研究所) 的报告中引証了 Tu^{161} , Ho^{153} , Ho^{155} 及 Ho^{157} 的放射性同位素的存在。在捷列波夫 (Б. С. Желепов) 和謝尔盖仁柯 (В. А. Сергиенко) (国立列宁格勒大学) 的报告中提到了用內轉換电子符合方

法去研究某些貧中子同位素的衰变图。測量时采用了双透鏡 β 能譜仪。

某几篇报告談到了 γ 射綫內轉換的理論性及实验性的研究。

能譜学技术 在 α, β 和 γ 能譜学技术問題的討論会上有好几篇报告都闡述了光学性能良好的新的大型磁能譜計。

在捷列波夫(Б. С. Джелепов), 依万諾夫(Р. Б. Иванов), 涅托維索夫(В. Г. Недовесов)和楚明(В. Г. Чумин)(科学院鐳学研究所)等人的报告中說明了在 $\pi\sqrt{2}$ 角度处双聚焦的 α 能譜仪。該仪表所具有的分辨率为0.11%, 而光强为 3×10^{-3} 全立体角。中央軌道半径33.5厘米。巴拉諾夫(С. А. Баранов), 別魯契柯(В. В. Беручко), 节連可夫(А. Г. Зеленков), 馬洛夫(А. Ф. Малов)和謝普金(Г. Я. Щепкин)(原子能研究所)等的报告敘述了同样类型, 而且性能更好的 α 能譜仪的制造情况。能譜仪的分辨率为0.1%, 光强为 8×10^{-4} 全立体角。中央軌道的半径155厘米。仪表具有极高的照度(即源的面积与立体角的乘积)因而可进行强度极小的 α 綫的研究。光譜仪也可当作摄譜計使用。这时由同一時間照相底片所記錄的 α 粒子能量范围为

10%。巴尔楚克(И. Ф. Барчук), 貝里赫(Г. В. Белых), 哥略施金(В. И. Голышкин)和柯弗同(В. А. Ковтун)(乌克兰科学院物理研究所)等人提出一个有关重电荷粒子磁摄譜仪建造方面的有趣报告。这个尺寸不大的仪器借助照相底片能同时記錄3—25兆电子伏能量范围内的質子譜。該摄譜仪适于用来測量 5° — 170° 角度范围内荷电粒子的角分布。

无綫电技术工业部的代表敘述了具有良好光譜性能和时间性能的新型光电倍增管的制造問題。指出: 目前制造高性能发光能譜仪不是受光电倍增管的光譜性能所限制, 而是受現在生产的閃爍体质量不高所限制。會議討論了关于閃爍体制备方面工作状态的报告, 并指出必須大力改善閃爍体的光譜性能。

捷列波夫(Б. С. Джелепов)在宣布閉会时簡短地綜述了會議情况, 并指出了一年来在原子核能譜学方面取得的主要成就。在結束語中曾提出最好应注意更快和更全面地出版必要的参考材料和图表。

魯达柯夫(В. П. Рудаков)

譯自 Атомная энергия том 7 (1959)

вып. 1, 76—78.

烏 拉 尔 工 学 院 工 程 物 理 系

烏拉尔基洛夫(С. М. Киров)工学院的工程物理系(系主任拉斯波宾(С. П. Распопин))在物理的各个方面进行着科学研究工作。

在包罗达也夫(Д. А. Бородаев)领导的教研室里, 电子能量为15兆电子伏的电子感应加速器已于1958年12月开始运行。教研室計劃就輻射对生物机体(老鼠、大鼠、兔子)的作用进行研究, 并对新葯剂进行試驗。也計劃对照射过的半导体性能进行研究。額定能量为27兆电子伏的 α 粒子迴旋加速器的安装工作已經完成。現在正在进行起調調整工作。在迴旋加速器上产生周期脉冲用的操作器在学院里已經試制成功。迴旋加速器将促进放射生物、放射化学、固体物理、中能質子核反应以及中子剂量工作的开展。开始安装ЭГ-2.5靜电加速器。

理論物理教研室(教研室主任是斯克罗茨基(Г. В. Скроцкий)教授)和有机化学教研室(教研室主任是波斯托夫斯基(И. Я. Постовский)教授)用电子順磁共振法共同进行有机原子团結構的研究。企图把原子团的反应特性与它的物理性質結合起

来。打算安装两种装置: 为研究在波的毫米范围内有机原子团共振綫超精細結構的装置和用原子核共振方法对物質进行同位素分析的装置。利用ЭМ-3型电子显微鏡拟訂研究純鉄体結構的方法; 研究晶体的形成和成长的过程; 研究銅、鎳等磁化物薄膜的結構。研究出一种瞄准方法的方案, 进行順磁性譜振綫的寬度及許多种互相作用粒子系統的性质理論研究。

核輻射的精密能譜仪設計工作已于1958年在何間斯基領導下的由一組应屆毕业生完成。在閃爍技术以及快速作用电子計算机的基础上証明了創造完全自动化快速能譜仪的可能性。这个組設計并研究了64道振幅分析器。利用轉換装置来測量被研究的信号振幅, 先采用把振幅轉換为持續长度的方法, 然后把持續长度轉換为一系列的脉冲, 脉冲数与信号的振幅成正比。收到的情报保存在磁記憶装置里。利用譯碼装置和特殊的頻率发生器把按振幅分布的脉冲引到示波管的屏上。

大学生进行原子物理課实习时(领导人索洛維

也夫 (Г. В. Соловьев)) 有一架用原子核磁共振的方法测定原子核磁力矩的装置和用电子共振的方法测量电子磁力矩的装置。

(斯維尔德洛夫斯克) П. К.

經華譯自 Атомная энергия том 7 (1959)

вып. 1, 78—79.

拉脫維亞的研究性反應堆

在拉脫維亞(在薩拉斯比爾斯附近)正在為拉脫維亞蘇維埃社會主義共和國科學院物理研究所建造一座功率約為 2000 瓩(見圖 1)的 ИРТ 研究性反應堆。鑒於正在拉脫維亞發展着的应用放射性同位素方面的研究,以及原子核物理方面的研究,需要有一個強的中子源——原子核反應堆。曾作出了建堆的決定。反應堆計劃在 1960 年建成。

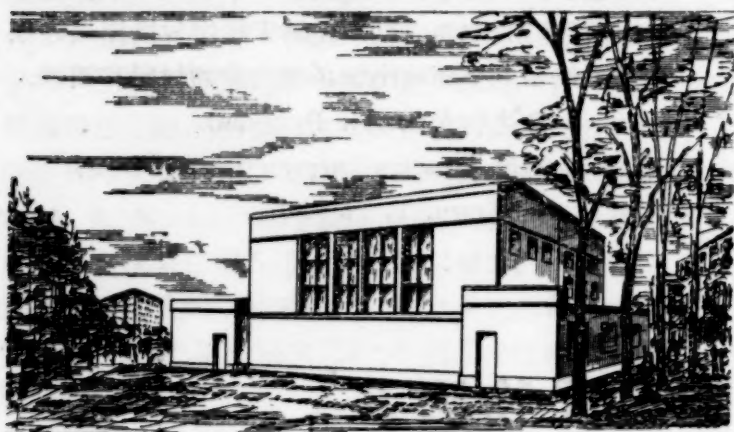


圖 1 反應堆廠房(草案)外形

結構 ИРТ 反應堆是游泳池式反應堆(見圖 2)。它用普通蒸餾水作減速劑和載熱劑。反應堆水池是橢圓形(寬 2 米,長 4.5 米)的。活性區內裝有 664 根棒形的加濃鈾釋熱元件(配成組件),周圍并圍有氧化鉍和石墨反射層。釋熱元件長 50 厘米,直徑~1 厘米。活性區的冷卻是強制式的,水流量為 400 立方米/小時。其中 300 立方米/小時是利用注入方法穿過活性區而排出的,而余下的 100 立方米/小時由循環水泵強迫抽走。第一迴路的水由熱交換器冷卻,池中的水溫不超過 40°C。

為了卸走用過的燃料元件和照射過的樣品或是同位素塊,在反應堆水池上連接有一斜的卸載管道,管道布置在混凝土防護層內。燃料元件由遠距離提取。

防護和安全技术 反應堆是用 2 米厚的大密度混凝土層(從側面)和 6 米厚的水層(從上面)作為生物防護層的。反應堆的排熱迴路(包括反應堆水池)都是密封的,這樣就消除了中央大廳被放射性沾污的危險。在反應堆中央大廳裝有通風系統,排出的

空氣都要經過仔細的過濾。劑量工作組負責對放射性設備,房間以及工作人員的工作服等進行嚴格的檢查。設有更換衣服的專門衛生通導間。在反應堆廠房周圍劃有衛生區,半徑為 1 公里,建有專門的放射性廢物貯藏庫,設有放射性廢物埋藏的地方。

操縱保護系統 反應堆是由鎢棒來操縱的。有 7 根調節棒,其中 2 根是事故棒。當反應堆的功率

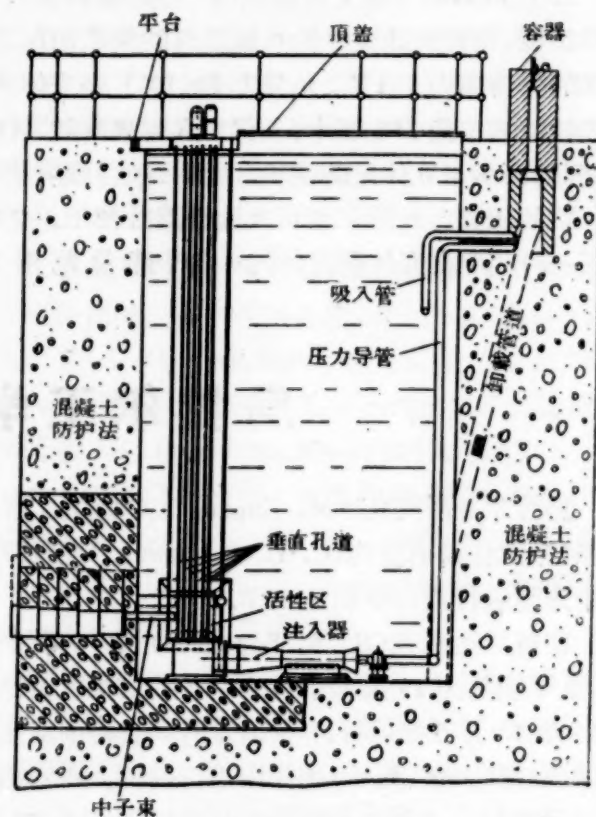


圖 2 反應堆的縱截面

超過額定功率的百分之二十時,當超過反應堆功率增長速度以及操縱保護系統中的電器線路發生故障時,事故棒就進行工作。在自動控制系統中有一根事故棒。

實驗設備 在反應堆中裝置有 9 根水平中子束的引出裝置,束的橫截面為 80 厘米²,中子的通量為 $5 \cdot 10^8$ 中子/厘米²秒。為了生產放射性同位素和得到所需放射性强度的樣品,裝置有 7 根垂直孔道,其中 6 根穿過反射層,1 根穿過活性區中央。在中央實驗孔道中中子通量為 $1.2 \cdot 10^{13}$ 中子/厘米²秒。

拟訂的研究工作 拉脫維亞科学家所要解决的問題范围是相当廣泛的。例如計劃进行原子核能譜,中子物理和固体物理(包括輻射材料学方面的广泛的研究)的研究,将进行原子核衰变产物的化学研究和利用放射性同位素的化学反应的研究,同样也将进行有关中子和 γ 射綫对化学反应作用的研究。

生物和医学方面的研究占研究工作的相当大一部分。所得到的放射性同位素,特别是短寿命的放射性同位素将用来治疗和診斷恶性肿瘤,巴塞杜氏病等。同样也将研究在肿瘤中注入吸收中子的物质情况下肿瘤受中子照射的各种不同的选择反应。計劃用示踪原子和放射性同位素来进行一系列生物和生理研究,其中包括有机体中物质交换的研究、血液循环和有机体中各种不同部分中元素分布情况的研究。

从反应堆中制备的放射性同位素可以用来解决許多技術問題,特别是可以用来研究机器摩擦另件磨损时的技術問題。

参加反应堆上的科学研究工作的不仅有共和国科学院,还有国立拉脫維亞大学,里加工学院,农业科学院和农业部科学研究所。

为了在工作上进行协作,在拉脫維亞苏維埃社

会主义共和国科学院的主席团下面成立了一个和平利用原子能学术委员会,参加委员会的有从事放射性同位素工作的共和国各个机关的代表。科学家艾斯托尼(Эстония)和里脫維(Литвы)也将在反应堆上进行研究工作。

为了在堆上开展科学研究工作和放射性同位素工作,首先将由国立拉脫維亞大学物理数学系和里加工学院的化学系来培养专家。在大学物理数学系里建立了一門新专业——原子核物理。有一部分大学生在建造在脫比里西的原子反应堆上进行了实习。

里加工学院化学系在培养放射化学专家方面作出了显著的工作。学这門专业的学生将前往莫斯科和列宁格勒实验室实习。为了培养具有较高水平的干部,計劃派遣一部分科学工作者前往莫斯科、列宁格勒和其他城市有名的科学研究机关的研究班学习。

原子核反应堆的运转将是拉脫維亞科学发展史上的重要阶段。

Ю. К.

譯自 Атомная энергия том 7 (1959)

вып. 1, 79—80.

加拿大原子动力技术的发展

加拿大原子动力技术的发展,有它自己的独特之点:一方面,加拿大拥有丰富的电力资源,特别是水力资源,只要普通发电站的电力价格比原子能发电站的电力价格便宜的话(~ 0.6 分/瓩小时),加拿大就可以不必忙于建造原子能发电站;另一方面,加拿大的科学家和工程师的力量,集中在建造以重水作減速剂、以天然鈾作燃料的这一种类型的动力反应堆。

据初步估計,二十五年以后,加拿大生产上所用的电力,将有十分之一取自原子能发电站^[2]。在下列表格里列举了加拿大各种发电站的功率数。

在制定实验研究计划时,考虑了用现有的装置对未来的动力反应的个别部件作广泛研究的可能性。第一个功率为100瓦的反应堆ZEEP远在1945年就已投入运行,它是用来研究活性区构造的。此后不久,功率为4万瓩(初期功率为3万瓩)的反应堆NRX也在1947年达到了临界状态。1957年,一个新的、功率較大的研究性反应堆NRU^[4]又开始运

行(功率为20万瓩,中子通量为 $3 \cdot 10^{14}$ 中子/厘米²秒)。这个堆的结构是经过周密考虑的,能够用来做各种不同的实验,所以这个反应堆就成为原子能发电站的建造者手中的得力的研究工具。

加拿大发电站功率表(百万瓩)

年 代	总功率	水力发电站功率	一般热力发电站功率	原子能发电站功率
1955	15	13	2	—
1960	20	17	3	—
1965	28	22	5.8	0.2
1970	40	29	10.4	0.6
1975	55	37	16	2
1980	76	49	21	6

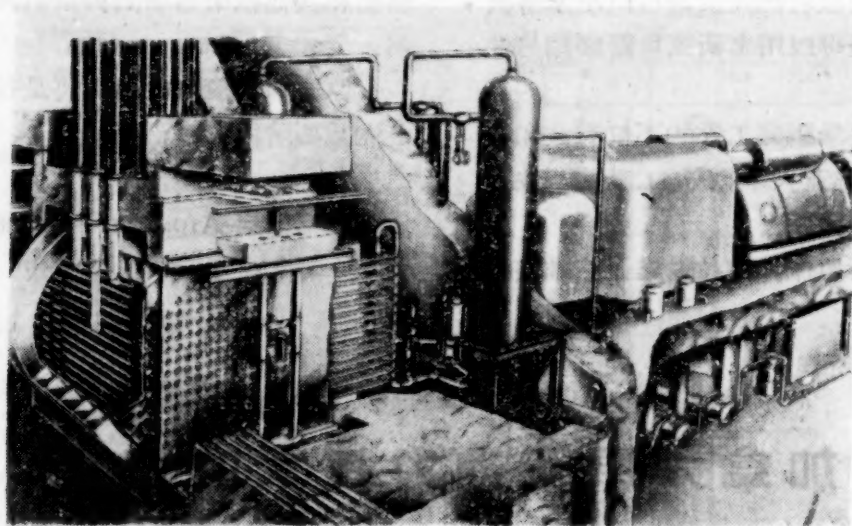
尽管重水的价格很高,但由于能使核燃料达到很高燃耗深度,并能获得較高的比功率,因而弥补了成本高这一缺点而仍被采用。加拿大动力反应堆的特点是把燃料和載热剂与減速剂分开,于是,減速剂

就要处于将近一个大气压的压力下。此外，加拿大还建造了电功率为2万瓩的反应堆 NPD-1，这个堆开始建于1957年，在安大略省罗尔夫顿市附近，原设计准备把反应堆封在承压外壳内，可是在堆的建造过程中，发现用承压管道代替承压的外壳较为合宜，修改设计后的反应堆就改称为 NPD-2^[5]。反应堆的活性区是由水平的锆合金管组成的，管内装烧结的二氧化铀和70个大气压的重水载热剂。反应堆的外壳是用铝合金做成，内有一个大气压力下的减速剂，外壳的双层壁之间充以普通水，它既作反射层又作防护层。载热剂进入反应堆时的温度是252℃，在堆内加热到277℃，然后进入蒸汽发生器，在蒸汽发生器内产生压力为30个大气压干饱和蒸汽，这个发电站应在1960年对外输电。

上述原理为加拿大建造两个大型的原子能发电

站的反应堆结构打下了基础：一个是电功率为7万—30万瓩的 HPTR 反应堆(见图)，一个是电功率为20万瓩的 CANDU 反应堆。据估计，具有 CANDU 反应堆的电站造价为6000万美元^[2]。计算证明，这个发电站在运行初期生产的电力价格为0.578分/瓩小时，因此这个发电站，完全能够和普通的发电站相竞争。而且随着经验的积累，制造释热元件及原子能发电站的运转和修理的费用，无疑将逐步下降。

利用有机载热剂代替重水载热剂，可使原子能发电站的经济价值进一步提高。在第二次和平利用原子能国际会议上，加拿大提出的一个报告中，叙述了在加拿大研究这类反应堆的结果，在设计成的功率为15万瓩的反应堆之一所达到的电站效率为33%，其条件如下：载热剂应在2.8大气压下在活性区内加热到最高温度(反应堆入口温度为296℃，出口温度



HPTR 反应堆(装卸机器可以从相反的方向装卸燃料)

为427℃)；有可能得到高参数的蒸汽(416℃，109大气压)。这一类反应堆的特点是很高的比功率值，(在所研究的方案中比功率值超过了20瓩/公斤铀，5.4瓩/升重水)。目前，加拿大每年可开采将近16000吨氧化铀矿，而加拿大所开采的铀绝大部分是供给美国原子能委员会使用的。到1962年终供货总值将要达到15亿美元。加拿大的铀矿蕴藏量在资本主义国家中占第一位，1958年中勃莱恩德河区域内的11个矿场日产量总额达到35000吨铀矿石。加拿大拥有自己炼铀工业和生产释热元件的企业。1957年10月在霍彼港(Порт-Хоп)第一个加拿大释热元件厂已经投入生产。在初期，这个厂生产未经加浓的金属铀元件，将来，还计划生产加浓(二氧化铀)铀块，以及陶瓷释热元件。

B. A.

译自 原子能 第7卷(1959)

第1期，80—82。

参 考 文 献

- [1] W. Lewis: Canada's Steps Towards Nuclear Power. Доклад № 183, представленный Канадой на Вторую международную конференцию по мирному использованию атомной энергии (Женева, 1958).
- [2] The Canadian Study for a Full-Scale Nuclear Power Plant, AECL-557 (1958).
- [3] H. Smith: A Study of a Full-Scale Uranium-Heavy Water Nuclear Power Plant. Доклад № 208, представленный Канадой на Вторую международную конференцию по мирному использованию атомной энергии (Женева, 1958).
- [4] W. Boyd, F. Gilbert, G. Laurence, I. MacKay: The NRU Reactor. Доклад № 211, представленный Канадой на Вторую международную конференцию по мирному использованию атомной энергии (Женева, 1958).
- [5] I. MacKay: The Canadian NPD-2 Nuclear Power

Station. Доклад № 209, представленный Канадой на Вторую международную конференцию по мирному использованию атомной энергии (Женева, 1958).

- [6] M. McNelly: A Heavy Water Moderated Power Reactor Employing an Organic Coolant. Доклад № 210, представленный Канадой на

Вторую международную конференцию по мирному использованию атомной энергии (Женева, 1958).

- [7] Canad. Mining and Metallurg. Bull., 51, No. 557, 548 (1958).
[8] Nucleonics, 15, No. 11, 25 (1957).

由于未控制临界質量的形成而造成的不幸事故

在原子能技术中正如其他技术部門一样，不遵守安全技术規程就可能导致严重的有时則是惨痛的后果。1958 年底发生的两次不幸伤亡事故可做为例子。一次发生在南斯拉夫（基德里奇原子核物理研究所），另一次发生在美国（洛斯阿拉莫斯科学实验室）。

基德里奇原子核物理研究所的不幸事故发生在 1958 年 10 月 15 日^[1,2]。在研究所里进行着临界装置的实验（图 1）。该装置是用来获得有关鈾重水栅格数据的。

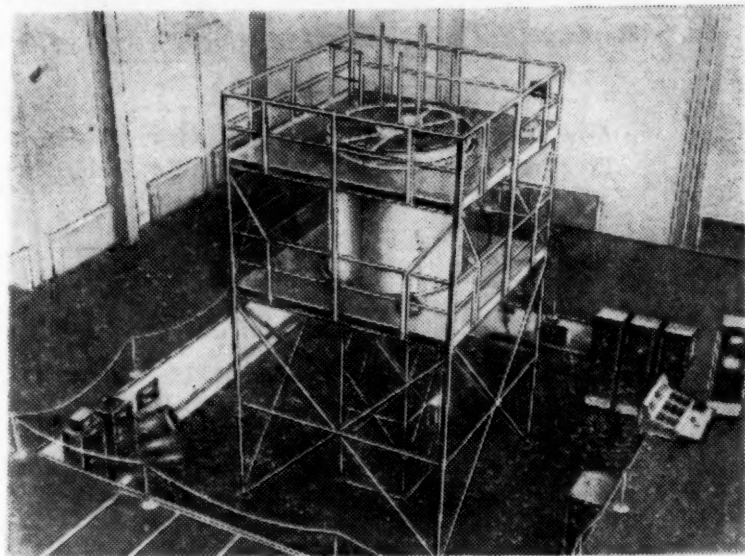


图 1 基德里奇原子核物理研究所临界装置的全貌

所采用的临界装置的主要数据如下：

內径, 厘米	199.9
高度, 厘米	230
天然鈾的装載量, 公斤	3995
鋁壳內鈾棒直径, 厘米	2.5
減速剂的临界水位(22℃ 时), 厘米	177.6 ± 1
減速剂容积, 米 ³	6.36

临界装置靠改变減速剂水位及两根鎘棒（直径 3 厘米, 长 50 厘米）来調整。減速剂水位用水表面和水位測量計之間的电接触法来改变，其准确度在

0.2 毫米以下。用三个布置在临界装置水箱四周的計数管測量中子流。事故安全設備由两个事故棒、棒的事故降落扳鈕、接至音响信号設備的中子計数管和自动停止电路等所組成。棒由电磁鉄支持住，而电磁鉄則会因事故降落扳鈕而动作，它有单独的传动裝置。

接近临界状态时使用了中子源，把它放置在裝置的中心綫上。

发生不幸事故的原因是缺少一个联动系統以及計数管和自动停止的电路是断开的（記錄輻射的設備和棒降落的設備沒有設計成一个与临界装置功率上升联动系統）。在这些条件下充注在临界装置內的重水水位升高是不在控制范围之內的。系統开始大大地超临界，因而发生了临界装置功率上升的过程。这一点只由于工作人員聞到房間內有臭氧的气味才被發現。

由于中子流急剧地增长，有八个靠近反应堆的工作人員受到較大的中子照射剂量（图 2）。为了測定受伤者們受的照射剂量，測量了临界装置：

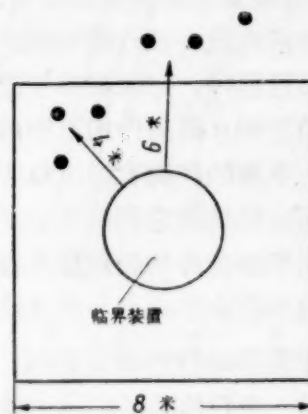


图 2 临界装置功率上升时工作人員所在位置(以黑点表示)。两个在图上未示出的工作人員，那时离临界装置較远，但也同样受到超过允許的中子照射剂量。

功率上升时受伤者身旁的金制和銅制物品的感应放射性。

測量証明，工作人員所在处光是热中子积分通量就平均达 $2.2 \cdot 10^{11}$ 中子/厘米²。由此测出了反应堆在次临界时产生的能量为 $8 \cdot 10^7$ 瓦·秒。这个数字与装置功率提高结果所产生的裂变产物的放射性衰变測量結果相符。

进一步的計算証明，受伤者受到能量高于 1 兆电子伏的中子对整个身体的平均照射剂量为 116 生物伦琴当量，受到能量从 1 兆电子伏到热能的中子的平均照射剂量为 49 生物伦琴当量。这样，中子照射的总平均剂量为 388 生物伦琴当量。必須再指出，某些当时朝着临界装置的組織与器官所受的局部中子照射剂量达 850 生物伦琴当量，照射深度达 10 厘米。

根据以前进行的在临界装置房間內 γ 輻射强度的測定实验数据，确定在临界装置功率上升时工作人员受到的 γ 輻射剂量为 400 伦琴。如設 γ 射线平均能量为 3 兆电子伏，則整个机体的 γ 照射剂量（亦以生物伦琴当量計）为 295 生物伦琴当量。这样一来，中子照射和 γ 照射总的平均剂量为 683 生物伦琴当量。由于受伤者与临界装置間所处的距离不同，各个工作人员所得的剂量之差为 $\pm 15\%$ 。

受伤者在研究所內曾施行过急救，其中一人一个月后死亡，两个受到剂量較小的在貝尔格莱德治疗，其余的人在巴黎治疗^[1]。

洛斯阿拉莫斯科学实验室的不幸事故发生 在 1958 年 12 月 30 日在一个車間里。該車間进行着提取铀的操作后所留下的废料的淨化和浓集^[3,4]。这样的溶液每升一般含 0.1 克/升铀和微量镭。铀和镭用正磷酸三丁酯作阶梯式萃取而分析出。然后反萃取成水相，最后水相被蒸发浓集。每立升含几克铀的最后溶液回送去进行較初期的提取。

进行这些过程时，正磷酸三丁酯发生水解作用并在热量、硝酸和 α 輻射作用下形成磷酸一丁酯和磷酸二丁酯，水解的产物有組成稳定铀复合物的傾向，因此必須定期地把它們从萃取混合液中分离出来。被分离出来的含铀的硬顆粒經過过滤后被一份份地送到其他車間去作进一步的处理。

对事故起因所进行的研究說明：在正常操作过程中需一小份一小份地分开的含大量铀的沉积物这一次从两个容器倒到一个大容器內，这个容器就盛有稀释的水溶液和有机溶液。从这个容器內分出大部分水溶液后，数量为 150 升的剩余溶液被抽送到由不銹鋼制成的大桶中，就在此桶中形成了临界质量(图 3)。在桶內已有 300 升水-有机乳浊液(由氢氧化鈉穩定)，再往該桶倒 49 升用来洗去制造溶剂

的容器底部硬残渣的浓硝酸。

这样，在事故发生之前，桶中盛有含 40 克铀的

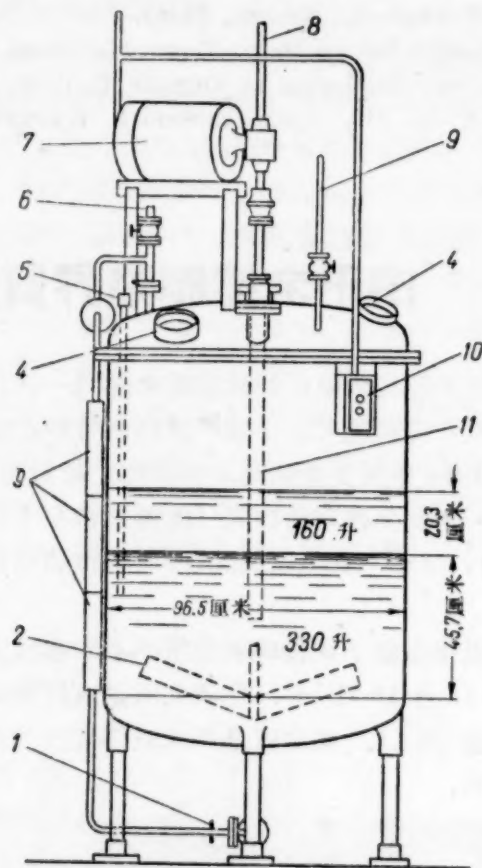


图 3 形成临界质量的桶

1—带手动操纵閥門的溶液供給管道；2—攪拌器叶片；3—观察管筒；4—窺視孔；5—溫度計；6—带閥門的管道；7—攪拌器的馬达；8—真空管；9—供水；10—攪拌器发动机接通断开按钮；11—隔板。

水溶液 330 升，其上部为含 3.27 公斤铀的溶剂层，容量为 160 升。含 60 克铀的硬顆粒在水相和有机相中以悬浮状态存在。以后計算过，含铀 20 克/升、厚 20.32 厘米的那一层处于弱次临界状态（該层的临界厚度为 20.95 厘米）。

操纵員接通攪拌器馬达时，通过盖上的窺視孔观察过程，发现了浅蓝色閃光（契連柯夫輻射）。由于閃光的結果，桶从原来位置移动了一厘米。操纵員立即停止了馬达，然后又开动了馬达，跑过来的两个操纵員再次停了馬达。超临界质量由以下原因而形成，即攪拌器工作时，桶內的有机溶剂层沿边缘上升了 10 毫米，因而相应地增加了系统的有效半径 12.7 毫米。

測定分离出来的铀核为 $1.5 \cdot 10^{17}$ 个。同样还发现离形成了临界质量的桶为 55 米范围内的物体都产生了感应放射性。

由于发生这次事故，一个受到 12000 生物伦琴当量照射剂量的操纵員在三十六小时后死亡。在其

余两个分别受到 134 生物伦琴当量和 53 生物伦琴当量剂量的操纵員身上发现了射綫病的典型征象。

事故原因調查委员会肯定，这次事故是由于已死亡的操纵員的誤操作而发生的，該操纵員沒有一份份地处理溶液，而是一下子处理了所有的溶液。

最后应当指出，这已經是洛斯阿拉莫斯实验室因受到过量照射而造成的第三次死亡事故了。

Г. Ф.

譯自 Атомная энергия том 7 (1959)

вып. 1, 82—84.

参 考 文 献

- [1] *Nucleonics*, 17, № 2, 28 (1959).
- [2] *Nucleonics*, 17, № 4, 106 (1959).
- [3] *Nucleonics*, 17, № 2, 21 (1959).
- [4] *Nucleonics*, 17, № 4, 107 (1959).

高 能 电 子 同 步 加 速 器

还在不久以前，高能电子加速器远远落后于质子加速器发展的速度。其原因在于：第一，在核反应中利用核子是最好的，因其作用常数和电子相比要大一百倍；第二，主要由于要补偿很快地增长着的辐射损失，高能电子加速器在技术上存在巨大的困难。

但是，近年来曾經闡明：作用常数小的缺点完全可以由电子同步加速器中获得較强的粒子流以及实验結果的解释較为简单来得到补偿。

在电子同步加速器上可以作一系列原子核物理方面甚感兴趣的实验。这些实验是：

a) 在寬能量范围内的 π 介子和 μ 介子的光致产生；

b) 可弄清楚电动力学中某些原則問題的高能 γ 量子在氫上之康普頓散射；

в) 核的光分裂；

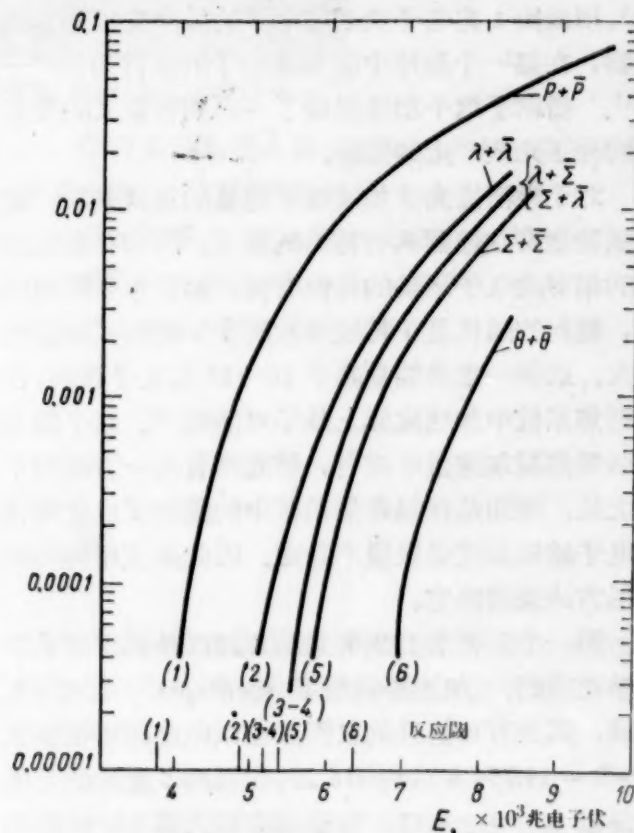
г) 可探索核子結構的 γ 射綫和电子的核散射。

当把电子或 γ 量子的能量提高到几十亿电子伏时，重粒子对及介子的多次产生便是可能的。实际上，利用 γ 量子时对的产生閾要比利用质子时低。为明瞭起见在图上列出重粒子对的相对产額和能量的关系^[1]。

近年来曾經指出：即使考虑到辐射，在技术上仍然可用适当的参数設計能量达一百亿电子伏 (10БэВ) 的电子同步加速器。

当建造大的电子同步加速器时，应该考虑是选择弱聚焦型的还是强聚焦型的。在現代亦可将弱聚焦型系統很好地加工，以便在当磁铁系統各参量較松的公差时得到相当大的被加速电子流。但是这种聚焦方式有其重大的缺点，即当提高粒子的最終能量时，电磁铁的饋电功率、重量、大小以及由此而成本都猛烈地增长。然而在低能量或中等能量时（到

10—15 亿电子伏），磁铁的饋电功率不太大（淨值）。由于磁铁的制作簡單，在一系列情况下弱聚焦系統是較好的。此外，弱聚焦的优点在于具有电子感应加速器式振盪的正辐射阻尼。这种情况可以显著地減輕对磁铁系統及工作真空度的要求。



重粒子对的相对产額和电子最大能量的函数关系

如上列举的理由，可以解释这样的事实：目前除設計和建造强聚焦型的加速器外，在 10—15 亿电子伏能量的同步加速器是弱聚焦型的。

不久前，报导了意大利国立原子核物理实验室的 10 亿电子伏同步加速器运轉的消息^[2]（在福拉斯卡地 Фраскати），同步加速器用来作 π 介子物理实

驗及产生奇异粒子(阈附近 K 介子和超子的光致产生、 π 介子的多次产生等等)。

1958年12月当电子注入器(2.5兆电子伏特的静电加速器)开动时曾經进行了第一次运转的尝试。在这一阶段当仅仅利用两个加速縫隙其中的一个时能量达300兆电子伏,1959年2月达到了最大能量10亿电子伏,此后便接通了第二个加速縫隙。今后,从磁铁方面看希望将电子能量提高到12亿电子伏。

在一微秒的时间內注入3毫安的电流到同步加速器的真空室中。当重复频率为20循环/秒时,預先測得 γ 射綫束最大强度每一分钟为 $8 \cdot 10^{10}$ 个等效量子。

现在运转着的弱聚焦大型同步加速器是加利福尼亚工学院14亿电子伏的同步加速器(Пасадео美国)。这个加速器是按“倍瓦加速器”(在美国伯克里的63亿电子伏的大型同步稳相加速器)的磁铁模型为基础(1:4的比例)建造的。用組成电磁铁的鉄片厚度(近乎1厘米)来限制加速循环的频率(1/每秒),用放出1兆电子伏动能电子的脉冲变压器为注入器,在每一个脉冲中被加速粒子的数目为 10^{10} — 10^{11} 。借助于这个加速器做了一系列有意义的在氩上的介子光致产生的实验。

对于继续提高被加速电子能量的远景来说,建造强聚焦型加速器具有特殊的意义。这和存在辐射时的相对論电子运动的特性有关。如近年来所闡明的,辐射的随机量子特性导致同步加速器式振盪的激发。这样一来当能量高于10—15亿电子伏时,在弱聚焦系統中加速实际上是不可能的^[3]。这个困难在强聚焦型加速器中没有,然而却有另一方面的不利之处。特别是在强聚焦系統中的辐射反应使得径向电子感应加速器振盪不稳定。因此必須用特別的阻尼方法来消除它。

第一个运转着的强聚焦型加速器是美国康納尔大学建造的。加速器采用了“рейстрек”型的四极磁铁,其上有可拆开的极面底座以保証磁場指数数值 $n^+ = 14.75$, $n^- = -16.25$,在寬約5厘米的範圍內偏差 $\Delta n = \pm 0.25$,当磁場在最大值13200高斯时,被加速电子的能量應該达到15亿电子伏。磁铁由30赫芝的正弦电流激发。由于加速時間小,可允許不用阻尼系統。不太重的磁铁(20吨)和不太大的縫隙可以利用300兆电子伏同步加速器的現成供

电系統。用脉冲电流約为100毫安(今后希望提高入射电流到1安培)的范德格喇夫静电加速器作注入器。最大强度为每一脉冲中 10^9 电子,尚希望再增加1—2个数量級。

現代最大的电子同步加速器是麻省工学院(美国剑桥)的强聚焦加速器,其能量为60亿电子伏^[1]。这个装置的建造对射频系統提出了极严格的要求,因为它應該补偿在加速循环末尾約为5.7兆电子伏/每圈的辐射損失。这是由構成有效加速場振幅为 $8 \cdot 10^6$ 伏的16个諧振器来保証的。

很大的倍数值($g = 352$)可以利用加速电压短波长($\lambda = 0.5$ 米)的优点是这个加速器的特点,因而,利用不大的諧振腔也是这个加速器的特点。在加速循环末尾在腔中損耗的和粒子束辐射掉的总功率为455瓩。循环重复频率为15赫芝,并且在繞組及磁铁中損耗掉的总功率約为750瓩。磁铁总重量为230吨,軌道半径为20米。磁铁系統的周期元件由磁場绝对指数值 $n = 89.5$ 的双聚焦和双散焦磁铁构成。这样的元件結構(称之为 ϕ фолд)具有一些与微扰有关的較大的稳定性,并对注入較方便。 n 值比較高就可选择真空室的截面(12.6×3.8 厘米)不太大的装置。以工作频率为2855兆赫芝能量为40兆电子伏的直綫加速器作为注入器。希望实现每一圈注入 $8 \cdot 10^{11}$ 个电子(在 ~ 1 微秒的脉冲中注入器的电流为0.25安培)。

磁铁的基本参数的选择必須弄清径向振盪的阻尼。看来,阻尼将由放在磁铁系統中的有相反方向磁場的磁铁来实现。

引起建造高能同步加速器越来越大的兴趣亦可由关于日本新設計14亿电子伏和德国新設計75亿电子伏(西德,汉堡)的报导中得到証明^[4]。

И. Д., А. Л.

旭輝譯自 Атомная энергия том 7
(1959) вып. 1, 84—86.

参 考 文 献

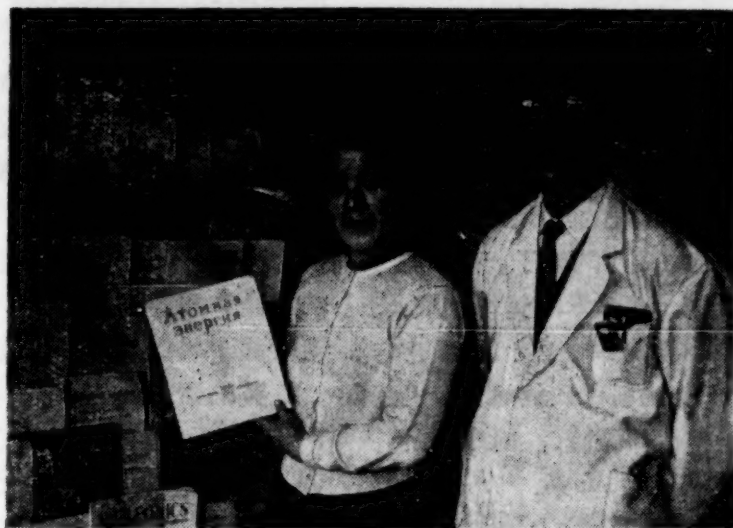
- [1] M. Livingston: CERN Symposium, 1, 439 (1956).
- [2] A. Alberigi et al: Nuovo Cimento, XI, N. 2, 311 (1959).
- [3] А. А. Коломенский, А. Н. Лебедев: Ускорители элементарных частиц. Приложение № 4 к журналу «Атомная энергия», 1957, стр. 31.
- [4] Nucl. Engng, 4, № 37, 157 (1959).

东京一所培养从事放射性同位素工作的实验员的学校

两年期间里,东京建立了一所学校,它主要是为工业、医学、农业和科学研究工作培养一批从事放射性同位素应用工作的实验员。大多数毕业生被分配到东京物理及化学研究所工作,也有分配到离东京

约一百公里的土芥镇(Токай)——原子核研究的中心所在地。

学员在校学习期限为六个月,这所总共只有三十人的学校,却有不少最新的作应用放射性同位素



在学校的图书馆里:校长矢井滨田(右边)和图书管理员

的研究工作用的物理和化学实验室。差不多所有的实验仪器都是日本工厂自己制造的。学校的图书馆,订有世界各国出版的有关原子核物理和原子动力方面的期刊,其中也包括苏联出版的刊物(见图),图书馆还藏有好几千册书籍。

学校里的教学人员,主要是由东京物理及化学研究所的科学工作者担任。

巴尔希季戈(В. Пархитко)本刊特约通讯员
译自 Атомная энергия том 7 (1959) вып. 1,
86—87.

簡 訊

苏联 联合原子核研究所设计了一种12道磁偶谱仪。它可以测量能量范围从20到600兆电子伏的 γ 量子谱。为了在最大磁场强度为18000奥斯特的磁极之间六厘米的间隙内建立磁场,采用了СП-56型的电磁铁。在谱仪中采用了高气体放大系数的正比计数器,其中仅充以压力为160—200毫米水银柱的二甲氧基甲烷 $\text{CH}_2(\text{OCH}_3)_2$ 蒸汽(通常用作淬熄剂)。计数器的工作电压为1600—2000伏,有效死寂时间小于 10^{-7} 秒。当分辨时间为 $5 \cdot 10^{-7}$ 秒的符合线路工作时,对相对论电离粒子计数器的效率达98%。由于计数器气体内电子的漂移,脉冲延迟小于 10^{-7} 秒。计数器输出端的脉冲高度达1伏。预

计谱仪可以检查单个部件的工作。谱仪可用来研究同步回旋加速器上所形成的中性 π 介子衰变产生的 γ 射线。

苏联 国立莫斯科大学物理系研究出一种测量冲击波在冲击管内以 ~ 3 公里/秒的速度散播的流内气体热电离系数的方法。利用空腔谐振器在10厘米的波长上测量。所研究的没有破坏气体动力特性的电离气体流沿着圆柱形高频谐振器的轴通过。当气体通过时,根据谐振器质量因数的变化和谐振频率的位移,可以直接观测电离过程和进行数量的测定。与冲击波速度有关的记录电离过程的持续时间为 ~ 200 微秒。由于该方法可以测量所研究过程的

若干点上(10—15)精确度为~10%的电离系数,因而可以测定电离脉冲的持续时间及前沿和后沿的梯度。

苏联 拟制了一种最小道宽为1微秒的112道时间分析器。分析器在一次循环过程中可以记录若干脉冲。在分析器上采用了符合线路的矩阵形配置原理,矩阵形符合线路不仅延迟飞出的脉冲,而且延迟应记录的脉冲。只有当机械计数器在动作时间内,在一个道上引入两个记录脉冲的情况下,分析器才能通过。在各个道上脉冲记录可以完全独立的进行。

苏联 制造了一种高效率的硼计数器。计数器充以压力为700毫米水银柱的 BF_3 气体,同时 BF_3 加浓了88%的 B^{10} 同位素。计数管的阴极是直径为25毫米和长度为400毫米不锈钢作的管子,管子的内表面磨光。其阳极由直径为50微米的钨丝作成。前端由厚为1毫米以下的无硼玻璃做成薄窗形状,后端是带玻璃绝缘器小孔的科伐铁镍钴合金凸缘,玻璃绝缘器装有保护环和拉紧装置。对平行的热中子束来说,计数器的效率接近100%。

苏联 中央木材机械加工科学研究所正在研究放射性射线对木材、木制物质、胶质和胶合剂的作用。

穿透辐射的作用使木材的性质发生各种不同变化,如颜色、机械强度和吸湿能力等。

根据这些数据可以制造与天然木材性质相比具有更优质的木制物质。

苏联 国立乌兹别克大学正在研究 Co^{60} 对棉花生理过程的影响,其中包括种子的发芽。实验证明了 γ 射线对种子的效应。在放射性照射的作用下,为提高棉花收获量而作的部分实验是在撒马尔汗区集体农庄的田地上进行的。

苏联 1959年6月底在纽约开幕的苏联展览馆的大部分展品显示了苏联和平利用原子能方面的科学成就。展出的展品和展览台向观众作了以下介绍:研究原子核物理方面用的仪表和方法、运转的和建造的原子能发电站模型、“列宁”号原子破冰船的模型和放射性同位素在工业和医学上的应用。

(МАГАТЭ) 国际原子能事业局 1958年12月事业局出版了第一部详细的使用放射性同位素的手册,并通过了实行决议的实施:即低功率和中等功率的动力反应堆的工艺学和经济学资料编纂工作和发展落后国家在原子核动力方面所需的资料编纂工作。事业局和特里也斯特(Тривест)大学签订了研究探测快中子用的新的方法的合同,并审查了事业局第一届大会关于在海中贮存放射性废物的结论。

国际原子能事业局 在1959年3月前各国向事业局提出了关于授予专门学校约200个奖学金名额和席位的建议。此外事业局为此打算拨出自己一部分基金款额。在同一时间内各国向事业局提出了400多个席位的要求书。

英国 在乌因夫利特赫特建造的高温实验性反应堆“绝顶”将用来研究反应堆的中子平衡、确定控制棒(英国大型高温反应堆用的)的最佳结构。研究反应堆材料(特别是含其他物质的氧化铍)和回路放射性的共同性的问题。

英国 为了研究气冷反应堆,在温茨盖尔将建造一个零功率的高温反应堆(HERO)。该反应堆上还将增加另外建造的AGR型高温反应堆上的工作。估计1961年建成。

HERO反应堆的热功率只是几个瓩,石墨砌体的直径和高度为5.8米。砌体的结构可以拆卸和重新安装。氧化铀燃料将放在铍外壳内。

英国 “Тьюб инвестменс лимитед”公司已制造了一个内径7.62毫米、壁厚1.02毫米的弯曲铍管,管子的弯曲半径为127毫米。

英国 巴罗造船厂开始了关于建造第一个“德列特诺乌特”(Дредноут)原子潜水艇艇身的准备工作。

英国 制造了一种用电子束来加热和焊接的焊接装置。电子枪的钨丝所放出的电子束用静电或者电磁法来聚焦。所需的加热要以斑点大小的正确选择来保证。焊接的零件固接在旋转台上,焊接表面的直径可达152毫米。在真空度为 -10^{-4} 毫米水银柱时进行焊接。以电流110毫安、电压20千伏的高压电源来保证给焊接装置供电。装置便于焊接氧化作用破坏的纯金属。该装置也用来焊接原子核反应堆释热元件棒的端点。

英国 根据国立伯鲁克海文实验室报导,反应堆上中子对金刚石的照射可改变其颜色。仅仅可以用于工业上的黄色或褐色金刚石,经过中子照射以后会变成有用的珠宝。

德意志民主共和国 “卡尔采依斯”(Карл Це-йц)工厂研究出一种以电子束轰击来对石英、锗和其他物质切割及钻孔的方法。根据这个原理所构成的装置,其外部好象电子显微镜,在电压100千伏和电流10毫安的情况下工作。利用程序选定装置来控制电子束。电子束可以在直径为7微米的平面上聚焦。利用这一装置切割材料并不损坏物质的晶体结构,而且实际上也无机械缺陷。

西班牙 原子能委员会主席声明,在流入塔霍

河的阿里別爾恰河河岸上即將建造中能中子的動力反應堆。這個反應堆的電功率是 20,000—30,000 瓩。反應堆預計 1962 年開動，該反應堆一半多的材料將在西班牙製造。

目前西班牙在孟克洛(馬德里附近)的實驗性反應堆正在運轉。1959 年中期將投入生產的煉鈾廠(在科爾多瓦和哈安省界附近的安都哈爾地方)現在已經建成。該工廠用來提煉西班牙科爾多瓦、哈安、卡塞雷斯、巴達霍斯、薩拉芒卡和托勒多諸省的鈾礦所制取出的鈾。在韋斯卡(在彼連尼省)附近生產重水的工廠已投入生產。原子能委員會的主席又聲明，西班牙即將完成本國原子能計劃的第二部分，旨在在塔霍河的平原上建造大型的原子能工業反應堆。這一反應堆可能在五—六年內建成。大概反應堆將在美國購買。

西班牙 功率為 570 兆電子伏的原子能發電站的設計工作已經結束。功率 22 萬瓩的發電站的第一部分工序應在 1965 年完工。

美國 根據電站公司主席的聲明，在印第安區建造的火力蒸汽過熱原子能發電站不可能在預定日期(1960 年 10 月)前建成，到 1961 年 3 月建成是比較現實的。建成發電站的成本未列入計劃預算：其成本從 55 萬美元增加到 100 萬美元。

美國 “西屋電氣”公司正在研究一種直接在原子核反應堆上把熱能變成電能的方法。可能將採用不同的氧化物作為熱電偶。

看來，熱電偶將是一個含有核燃料的、并套在外殼內的板，板兩面是由兩個不同熱電的材料制成。這些材料可以在 2760℃ 下工作。由於熱的作用才產生電位差。估計這個反應堆的效率是最初時的 ~5%。

美國 洛杉磯阿拉莫斯科學實驗室研究出一種新的發生器——等離子熱電偶，它可以把反應堆上產生的熱能直接變為電能。

為了這樣轉變，在實驗時曾採用了不大的熱電偶。熱電偶上用金屬作的一個可以用氣體代替。熱電偶好像一個空瓶，一面敞開并充以氣態銫(等離子體)。直徑 6.4 毫米、長度 1.92 毫米的加濃鈾作的，并懸掛在這個轉換器中心的鈾棒作為能源。所有的設備放在反應堆的活性區內。沖洗轉換器外殼的載熱劑降低了銫等離子體的溫度，在 12 小時內等離子熱電偶以電流給真空管供電。

推測，這個發生器可以是等離子反應堆動力裝置的原型。等離子熱電偶也可以用于人造地球衛星和洲際導彈上。

美國 “巴布克-烏衣柯克”公司正在研究把反應堆上的載熱劑作成石墨粉末與氣體(CO_2 , He 或 N)的混合劑形狀。製備這個高溫載熱劑可以大大減少反應堆部件的尺寸。

美國 俄亥俄州大學正製備含 48% 鈮、49% 鎢和 3% 鈦的熱強輕合金。合金能耐高溫到 1000℃。

美國 礦務局研究出把過去是脆性的鈮製備成塑性鈮的方法。製備鈮的過程與製備塑性鈦和鎢的克羅里(Кроль)過程相似。氧是引起脆性的主要成分，其含量在塑性鈮中不得超過 0.02%。

美國 排水量為 2 萬 1 千噸的第一個原子商船“薩凡納”，估計 1959 年 7 月中旬下水。不增加備用燃料，商船可以通行 10 萬英里。

美國 在新港正在建造第一個“進取”號原子航空母艦。目前正在航空母艦上安裝 8 個反應堆的防護層。預計 1960 年 6 月下水。

美國 “鯊魚”號潛水艇將要下水。在潛水艇上將安裝壓力水反應堆，這一反應堆與安裝在“鸚鵡螺”號和“鱈魚”號原子潛水艇上的反應堆相似。“鯊魚”號潛水艇用來運輸和發射導彈。

美國 原子能委員會關於建造原子飛機上反應堆的工作向代表大會提出 1960 年的財經費為 6870 萬美元(與去年財經費相比增加了 16 萬美元)。建造火箭上原子發動機工作的經費為 2590 萬美元(增加了 307 萬 5 千美元)，而尋找地球衛星能源的工作經費為 1210 萬美元(增加了 506 萬 5 千美元)。

美國 1958 年鈾礦的開采量增加了將近 50%，大約是 500 萬噸。鈾精品的生產量與 1957 年 10,000 噸和 1956 年 6000 噸相比，一年內已增加到 14000 噸。與 1957 年底日夜生產量為 10,000 噸礦石的 14 個工廠相比，1958 年底 20 個鈾工廠每日總生產量為 16,200 噸礦石。新的工廠大致已建造在新墨西哥州的阿姆布羅吉亞列依克(Амбросия-Лейк)地區。

美國 “通用電氣”公司在斯克內克塔迪(紐約州)建造了一個實驗室，用來研究輻射對工業設備(電動機、變壓器、電子器械、水力設備和其他等)、材料等的影響。實驗室內有放射性強度為 10,000 居里的 γ 射線源，能量為 1 兆電子伏的电子加速器和能量為 1 兆電子伏的氘核加速器。 γ 射線(Co^{60})源放在井深大於 7 米的水層下的金屬吊筐內。在密封室內進行照射，為此金屬筐自動提升到井的上部。與源和被照射物體之間的距離有關， γ 射線源可以獲得從 90,000 到 2000 倫琴/小時的放射性強度。估計，电子加速器可以保證劑量率為 $\sim 10^{11}$ 倫琴/小

时,并用来研究有机物质。当使用铍靶时,氘核加速器可以获得约为 10^{11} 厘米⁻²、秒⁻¹的中子强度。实验室的成本为 150 万美国。

美国 病理学教授烏連(哈佛大学)提出了两万人仔细调查的廿年工作规划(实现这一规划需要 30 万美元),以便查明射线在癌病和缩短人命的其他病中的作用。

建议考虑本底辐射以及由于核武器试验而产生的放射性沉积物和伦琴射线等。预计在放射性数量极不相同的地区进行调查。烏連教授把含有高本底放射性的科罗拉多高原和本底放射性不大的太平洋沿岸一带列入这种地区。

有机体遭到破坏和射线剂量是否有着直接关系,或者是否有阈值存在(低于它就无害),这些调查问题就是规划的一部分任务。

美国 拟制了一种红外射线探测器,用来寻找波长宽度范围内的强度为 $5 \cdot 10^{11}$ 瓦的热辐射。探测器根据光电性现象的原理来动作。采用含金的锗作为灵敏元件。由于十分灵敏和快速动作(探测器动作的速度约为同一原理工作的其他探测器的十倍),探测器可以找到很小的和很快的温度起伏,并可以用于各种不同的科学和工业技术部门。

德意志联邦共和国 西德公司和瑞士公司将共同在尤里赫(比利时国境附近)建造球状释热元件的动力反应堆(这一反应堆在第二次日内瓦国际会议

上曾介绍过)。

预计这一反应堆将在两年内建成。

德意志联邦共和国 预计德意志联邦共和国第一个原子船将在 1963 年下水。这个船是运油船,排水量为 2 万吨,发动机的轴功率为 10,000 马力。

德意志联邦共和国 “克虏伯”公司生产了一种新的释热元件防护壳的锆合金,它具有高度的耐蚀性。锆合金是由锆、锡(1.2—1.7%)、铁(0.07—0.20%)、铬(0.05—0.15%)和镍(0.03—0.08%)制成。合金允许含 0.07% 以下的氮。

南朝鲜 在汉城南 27 公里处将建造功率为 100 瓩的实验性均匀反应堆。美国的一个公司将指导建造工作。

南非联邦 国立物理科学研究实验室(比勒陀利亚)已经开动了国内第一个加速器。磁铁的重量为 70.9 吨,绕组重量为 7.5 吨。有 432 个线圈的绕组由水孔为 10 毫米的、大小为 22×28 毫米的铝母线制成。极的直径为 112 厘米。在加速器上可以获得能量为 15 兆电子伏、和电流数量级为 200 微安的氘核束。在加速器上安装上下两个离子源(一个源破坏以后,再使用另外一个)。钨丝阴极(直径 2 毫米)总的使用期限从 30 到 60 小时。加速电压的频率为 13.24 兆赫芝,D形盒内电压的振幅为 55 千伏。

译自 Атомная энергия том 7 (1959)

вып. 1, 87—90.

新 書 介 紹

最 新 文 獻

書籍，論文集及杂志

已出版

第二次和平利用原子能国际會議文集。苏联科学家的报告。第1卷——原子核物理学。总編輯为阿利哈諾夫 (А. И. Алиханов) 院士，維克斯勒尔 (В. И. Векслер) 院士，物理数学科学副博士符拉索夫 (Н. А. Власов)，原子能出版社，1959 年，552 頁。

1958 年 9 月 1 日至 13 日在日内瓦举行的第二次和平利用原子能国际會議的文集共 16 卷，用俄文出版 (6 卷是苏联科学家在會議上所作的报告，其他 10 卷是选择外国科学家的报告組成的)。

苏联科学家报告的第一卷——原子核物理学——是由两个部分組成。第一部分——等离子体物理学和可控制热核反应問題——包含 17 个报告。在阿齐莫維奇 (Л. А. Арчимович) 的評論性报告里对可控制热核反应問題和在苏联解决这种反应的途径进行了詳細的分析。阿齐莫維奇估計了当前的这种情况，他认为在可控制聚变反应問題中暂时还没有一种相当的具有绝对优势的观念。因此这方面的研究在最近时期里必須要尽可能广泛的进行发展。大电流放电是可取的途径之一。这种放电的實驗研究在安德里阿諾夫 (А. М. Андрианов)、科密立可夫 (В. С. Комельков) 等的报告中进行了闡述。在奥索維茨 (С. М. Осовец)、多尔加夫-薩維立也夫 (Г. Г. Долгов-Савельев)、西涅立尼可夫 (К. Д. Синельников)、戈洛賓 (И. Н. Головин)、科密立可夫等的报告中对在各种不同类型的磁場中等离子体性能的實驗研究进行了敘述。高溫等离子体的光譜研究在芦基揚諾夫 (С. Ю. Лукьянов) 和西尼秦 (В. И. Синицын) 的报告中进行了闡述。在其他許多报告里对等离子体的稳定性 [維杰諾夫 (А. А. Веденов)、薩格杰也夫 (Р. З. Сагдеев)、卡多姆采夫 (Б. Б. Кадомцев)]、等离子体的高頻振盪 [阿希节尔 (А. И. Ахиезер) 等]、等离子体的輻射 [特罗勃尼可夫 (Б. А. Трубников) 和庫德里雅采夫 (В. С. Кудрявцев)] 以及它对电磁場能量的吸收 [薩格杰也夫和沙富拉諾夫 (В. Д. Шафранов)] 等問題都进行了理論研

究。

第二部分——原子核物理学——內有 26 个有关中子物理学、核反应堆物理学、粒子加速和宇宙綫物理学等各种問題的报告。在維克斯勒尔院士的报告里敘述了世界上最大的粒子加速器——联合原子核研究所的巨型同步稳相加速器的运轉和利用这个加速器所进行的科学工作情况。維尔諾夫 (С. Н. Вернов) 和丘达柯夫 (А. Е. Чудаков) 的报告闡述了利用苏联火箭和地球卫星所获得的宇宙綫的研究成果。卫星的发射使得第一次有可能把物理仪器装置升高来記錄高达地球表面 1000 公里以上的宇宙綫。由卫星上获得的数据的研究結果来看，可以认为在地球的周围确实存在着由能量不大的电子所形成的独特的环流。电子的聚集可以解释为是由于地球磁場作用的关系。这种磁場对能量不大的电子來說正好象是一个磁捕集器。在格罗謝夫 (Л. В. Грошев) 等的报告里引入了关于各种不同的原子核在俘获能量不大的中子时所发生的 γ 射綫的数据。这个問題的意义是从底下两方面来看。第一，这种数据在計算核反应堆 γ 射綫防护时是必須的；第二，对这种数据的研究可以获得許多有关原子核性质的材料。

許多报告 [兰普斯基 (А. И. Лейпунский)、巴謝奇尼克 (М. В. Пасечник)、潘克拉托夫 (В. М. Панкратов) 等] 都闡述了快中子与各种原子核的相互作用問題。在設計快中子增殖堆时必须具有这方面的数据。

在盖伊利克曼 (Б. Т. Гейликман)、鮑达林柯 (И. И. Бондаренко) 等的报告里談到了关于在裂变物理学領域中最新的理論的和實驗的結果。

杰列波夫 (Б. С. Железов)、莫斯托娃 (Т. А. Мостовая)、爱尔什立尔 (Б. В. Эршлер)、戈尔杰耶夫 (И. В. Гордеев) 等的文章对过去許多不知道的碎片的性质进行了研究。

在符拉基米爾斯基 (В. В. Владимирский) 等的报告中收集了有关各种不同能量的中子与可分裂同位素以及与最近时期在苏联获得的許多重元素之間相互作用方面的新資料。在符拉基米爾斯基、薩柯洛夫斯基 (В. В. Соколовский) 和齐托維奇 (А. П.

Цитович) 的报告里对目前现代化的脉冲中子源以及在探测中子时应用的分析器的最新无线电工程线路进行了描述。

“第二次和平利用原子能国际会议文集”的第一卷里所登载的苏联科学家的报告证明了在苏联对可控制热核反应方面进行了大规模的研究，同时也证明了苏联在整个原子核物理学中的巨大进步。

第二次和平利用原子能国际会议文集。苏联科学家的报告。第2卷——原子核反应堆和原子核动力学。总编辑是苏联科学院通讯院士多立扎利 (Н. А. Доллежалъ), 物理数学科学博士克拉辛 (А. К. Красин), 乌克兰苏维埃社会主义共和国科学院院士兰普斯基, 苏联科学院通讯院士诺维柯夫 (И. И. Новиков) 和物理数学科学博士富尔索夫 (В. С. Фурсов)。原子能出版社, 1959 年, 708 页。

这本苏联科学家的报告书“原子核反应堆和原子核动力学”是由三个部分组成。

第一部分阐述了苏联正在建造的原子动力装置。第二部分叙述了用来做实验和改进工作的实验性和研究性反应堆。第三部分——极大程度上是理论性部分——阐述了原子核反应堆物理学方面的问题。这部分还包括了有关反应堆建造技术方面的报告。

整个来说该卷适用于广大科学工作者和在反应堆建造方面工作的工程师们，同时也适用于相应专业的高等学校教师、助教和大学生们。其中有些报告是叙述性的和一般工程方面的报导，因此它们可以用来作为非从事反应堆建造方面的专家们的有益的普通教材。

剂量测量、辐射测量和电子物理学仪器、计数管、闪烁体和光电倍增管手册。原子能出版社, 1959 年, 254 页。

本手册刊载了下列仪表的简明技术材料：个人剂量控制仪表， γ 、 β 和 α 辐射剂量测量仪，测定空气被放射性物质沾污程度的仪器，放大器和甄别器，定标器，稳定整流器，记录电离辐射的计数管，闪烁体，光电倍增管。

本手册适用于从事放射性物质方面的工程师和科学技术工作者。

未来的轮船。科罗特科夫 (В. И. Коротков), 切尔内什 (А. М. Черныш)。军事出版社, 1959 年, 112 页。

本书对原子能和原子反应堆作用原理的一般概念进行了描述；简短地叙述了轮船原子动力装置和带有原子动力装置的船(原子船)；叙述了这种船的

发展远景。书中插有照片和示意图以及附有参考文献简明一览表。

原子动力装置。瑞緬科 (И. А. Науменко)。军事出版社, 1959 年, 190 页。

本书叙述了原子核动力学的物理基础和给出了关于物质、原子和原子核、核力和核反应等概念。对原子能获得的方法及其装置、原子发动机的飞机和轮船示意图、固定的原子动力装置、在陆路运输上原子发动机的利用、原子能直接转变为电能等等问题进行了阐述。本书内有大量的插图，它适用于一般广大读者。

Nuclear Reactor Metallurgy With chapter «Nondestructive Testing of Nuclear Reactor Component» by W. McDonnagle (反应堆金属冶金学) Wilkinson W., Murphy W., D. Van Nostrand Co., 1958, 382pp.

反应堆金属冶金学教科书共有 20 章。本书的大部分是对铀冶金学进行了较详细的研究。本书还补充了几篇向读者介绍关于结晶学、金属物理学等基本概念方面的文章，这几篇文章对没有专门冶金学方面知识的读者也能较深入的理解铀的性质及其性能的特点。关于冶金学的基本问题、反应堆中铀的处理和性能叙述得都比过去已出版的书籍要完善；但是除此以外也须要指出，在本书的某些部分中有些材料已显得较陈旧。

第 6、7、8 和 11 等章特别令人感到兴趣，在这些文章中叙述了铀的热性质和热处理、由铀制成的制品、铀的粉末冶金学、铀和其他金属的腐蚀以及铀的辐照损伤等问题。钚和其他一些原子核金属叙述得较短，但是除钚以外，对在原子核附录中起着作用的一些主要元素都进行了清楚的阐述。本书给出了关于陶瓷在原子核冶金学中作用的有益资料，同时 (第 19 和 20 章) 也给出了关于中子照射对不可分裂的金属和燃料的性质影响以及在组分未受破坏时核反应堆试验等资料。

总的来说，象这样性质的书还是第一次和读者见面。毫无疑问，该书对参加反应堆材料工艺学、特别是参加反应堆金属冶金学研究的广大人员来说将会感到兴趣。

外国原子技术, No. 7 (1959)。

论文集中刊登了一篇“美国运输式动力反应堆建造计划”的专题报告。

目前美国对建造小型的可运输式动力反应堆感到极大兴趣。在难以通行的地区里这种反应堆的利用毫无疑问将会带来好处。在本专题报告中附有关

于美国已经运行的、正在建造的和正在设计的可运输式反应堆一览表。

论文集同时还引入了一张关于美国研究性反应堆的附表,这些反应堆是用来培训工作人员,进行反应堆物理学的实验和制备各种同位素。还列有某些研究性反应堆的剖面图。

在罗别尔茨(Г. Робертс)和鲍乌里克(Р. Боулинг)的“沸腾对反应堆工作的影响”一文里(第二部分)研究了当在反应堆中冷却液体沸腾时的热传导问题。引进了用来计算沸腾液体反应堆中释热元件温度的方程式,并且讨论了这种反应堆工作的安全问题。

在“预防反应堆结构活化的特殊的防护层计算”的专题报告里,引入了关于单个组件和核反应堆结构的中子防护数据。反应堆的活化使停堆后对这些数据的应用感到困难和复杂化。为了避免活化在生物防护层的组分里加入一些吸收中子的材料,或者在生物防护层和被活化材料之间放一层专门吸收中子的物质。

在杰姆皮尔(У. Джембилл)和格里(Н. Грин)的“水在管中作涡流运动时的沸腾转化的研究”文章里阐述了水在直径不大的管中作涡流运动时临界热流量研究的结果。确定了当抽水所消耗的功率相同时,水在作涡流运动时的临界热流量要比没有涡流运动时大得多。

在洛克林(Р. Роклин)的“中子裂变能谱的阈反应截面”文章里引入了有关因 (n, p) 、 (n, α) 和 $(n, 2n)$ 反应的结果各种同位素受裂变能谱分布的中子活化所得的数据。这些截面的数值被利用来计算反应堆单个组件和载热剂的活化。

在加立亚(Р. Галлея)的“马尔库尔(Маркул)的核燃料处理”一文里介绍了(法国)马尔库尔化学制钷工厂。它是法国制钷生产综合企业的组成部分之一。文章中附有钷生产的各种流程图。

爱里格顿(Р. Эррингтон)的“用在治疗装置上的 Co^{60} 推测的安全需要量”一文里计算了同位素 Co^{60} 用在治疗装置上的必需量。同时引入了关于从1951年到1956年已经开始工作的钴治疗装置数量的资料。

期 刊 論 文

Абдурасулов Д. М. О действия малых доз ионизирующей радиации на организм. Мед. ж. Узбекистана, № 12, 3 (1958).

Аглинцев К. К. и др. Определение работы ионизации в воздухе для гамма-излучения Co^{60} . Измерит. техника, № 2, 52 (1959).

Беляев Д. Л., Затуренский З. Л. Определение скорости движения кусков кокса в камерах сухого тушения при помощи радиоактивных изотопов кобальта. Кокс и химия, № 3, 34 (1959).

Борзунов Н. А. и др. Исследование мощного импульсного разряда в конических камерах. Ж. эксперим. и теор. физ., 36, вып. 3, 717 (1959).

Вартазаров С. Радиоактивные изотопы помогают строительству. Строитель, № 2, 22 (1959).

Васильев И. А., Петржак К. А. Эффективность торцового счетчика в зависимости от жесткости бета-спектров. Приборы и техника эксперимента, № 1, 57 (1959).

Власюк П. А. Естественная радиоактивность растений и калийные удобрения. Докл. ВАСХ-НИЛ, вып. 2, 3 (1959).

Волков В. В. и др. Сечения образования изотопов калифорния при облучении U^{238} ускоренными ионами углерода. Ж. эксперим. и теор. физ., 36, вып. 3, 762 (1959).

Вулис Л. А., Кострица А. А. Гидравлическая аналогия диффузии нейтронов и критического состояния ядерного реактора. Сообщ. 1 и 2. Изв. АН Казах. ССР, серия энергет., вып. 2, 111 (1959).

Гольдин Г. С. и др. Промышленные испытания радиоактивного измерителя плотности пудлы. Горный ж., № 3, 55 (1959).

Грибанов Ю. И. Портативный нейтронный дозиметр. Приборы и техника эксперимента, № 1, 133 (1959).

Ефремова К. М. и др. Исследование состава уранатов щелочных элементов, получаемых сухим путем. Докл. АН СССР, 124, № 5, 1057 (1959).

Зерщиков А. Е. Применение радиоактивных изотопов для контроля кислотной обработки пласта. Геология нефти и газа, № 2, 17 (1959).

Иваницкий А. М. Итоги Второй научной конференции по вопросам влияния ионизирующего излучения на высшие отделы центральной нервной системы (Москва, май 1958 г.). Патол. физиология и эксперим. терапия, 3, № 1, 93 (1959).

Иордан Г. Г. и др. О технике безопасности при широком внедрении радиоактивных приборов. Приборостроение, № 3, 21 (1959).

Карабаш А. Г. и др. Химико-спектральный метод анализа металлического бериллия и окиси бериллия высокой чистоты. Ж. анал. хим., 14, вып. 1, 94 (1959).

Коврижных Л. М. О колебаниях цилиндрической полости в полностью ионизированной плазме. Ж. эксперим. и теор. физ., 36, вып. 3, 839 (1959).

Костюченко А. Д., Петрова Л. И. Влияние Ca^{45} и P^{32} на развитие льна-долгунца и красного клевера. Тр. Всес. н.-и. ин-та льна, вып. 5, 171 (1958).

Кузин А. М., Токарская В. И. Сплошная

метка органических веществ растений радиоактивным углеродом как метод изучения нарушений обмена. Биохимия, **24**, вып. 1, 80 (1959).

Кузин И. А., Семушин А. М. Применение ионообменного метода для разделения изотопов. Тр. Ленингр. технол. ин-та им. Ленсовета, вып. 48, 209 (1958).

Кузнецов В. И. Цветные реакции урана и тория с о-арсоно- δ -оксиазосоединениями. Ж. анал. хим., **14**, вып. 1, 7 (1959).

Леонова В. А. К минералогии и кристаллохимии уранинитов Северной Карелии. Зап. Всесоюз. мин. о-ва, ч. 88, вып. 1, 89 (1959).

Морачевский Ю. В., Церковническая И. А. Весовое и фотометрическое определение содержания тория в (природных) уранинитах при помощи антраниловой кислоты. Ж. анал. хим., **14**, вып. 1, 55 (1959).

Москвин А. И., Артюхин П. И. Определение состава и констант нестойкости этилендиаминтетраацетатных комплексов Рn (III) методом ионного обмена. Ж. неорганич. хим., **4**, вып. 3, 591 (1959).

Надеинская Е. П. Применение радиоактивных изотопов для исследования износа режущего инструмента. Изв. высш. учеб. заведений Машиностроение, № 3—4, 134 (1958).

Никитина Е. И. Комплексометрическое определение циркония в бориде и нитриде. Заводск. лаборатория, **25**, № 2, 142 (1959).

Озол А. Исследование растений при помощи радиационного поля с гамма-лучами. Изв. АН Латв. ССР, № 12, 75 (1958).

Панасюк В. И., Мироевская Н. А. Упрощение комплексометрического определения циркония в циркониевых стеклах и концентратах. Заводск. лаборатория, **25**, № 2, 147 (1959).

Пик-Пичак Г. А. Анизотропия углового распределения осколков деления вращающегося ядра. Ж. эксперим. и теор. физ., **36**, вып. 3, 961 (1959).

Пионтовский И. А. Влияние ионизирующего излучения на потомство. Патол. физиология и эксперим. терапия, **3**, № 1, 12 (1959).

Поликанов С. М., Друин В. А. Деление ядер тяжелых элементов при взаимодействии с ядрами углерода, азота и кислорода. Ж. эксперим. и теор. физ., **36**, вып. 3, 744 (1959).

Протопопов А. Н. и др. Об угловой анизотропии разлета осколков при делении Am^{241} нейтронами с энергией 14,7 Мэв. Ж. эксперим. и теор. физ., **36**, вып. 3, 920 (1959).

Протопопов А. Н., Шаряев В. М. γ -лучи, сопровождающие деление U^{238} нейтронами энергии 2,8 и 14,7 Мэв. Ж. эксперим. и теор. физ., **36**, вып. 3, 954 (1959).

Савельев В. Я., Кононенко В. А. Исследование счетчиков медленных нейтронов. Приборы и техника эксперимента, № 1, 61 (1959).

Савицкий Е. М., Терехова В. Ф. Механиче-

ские свойства и диаграмма рекристаллизации йодидного циркония. Тр. Ин-та металлургии им. Байкова, вып. 3, 181 (1958).

Семенов Г. А., Зонов Ю. А. К вопросу о масс-спектрометрическом анализе изотопного состава бора. Ж. анал. хим., **14**, вып. 1, 137 (1959).

Сятенко А. Г. О делении несферических ядер. Ж. эксперим. и теор. физ., **36**, вып. 3, 793 (1959).

Сысомятин С. А. Получение рутитовых и цирконовых концентратов методом восстановительного обжига и магнитной сепарации. Тр. Н.-и. и проектного ин-та «Уралмеханобр», вып. 4, 136 (1958).

Торозова Л. И. К вопросу о генезисе радиоактивности Цхалтубских минеральных источников. Тр. Ин-та геофизики (АН Груз. ССР), **17**, 383 (1958).

Турова Н. Я. и др. О фенолятах бериллия. Ж. неорганич. хим., **4**, вып. 3, 549 (1959).

Федоренко Н. В. и др. Диссоциация молекулярного иона H_2^+ при столкновениях в газе. Ж. эксперим. и теор. физ., **36**, вып. 2, 385 (1959).

Флейшман Д. Г., Шахиджанян Л. Г. Снижение фона при измерениях малых активностей в жидких сцинтилляционных счетчиках. Приборы и техника эксперимента, № 1, 135 (1959).

Шашенштейн А. И., Антончик Ю. И. Полумикрометод изотопного анализа веществ с содержанием дейтерия, близким к 100 процентам. Ж. анал. хим., **14**, вып. 1, 100 (1959).

Шпигель И. С. Ускорение плазмы. Ж. эксперим. и теор. физ., **36**, вып. 2, 411 (1959).

Янков В. В. О поведении проводящего газового шара в квазистационарном электромагнитном поле. Ж. эксперим. и теор. физ., **36**, вып. 2, 560 (1959).

Azaoka T. Nucl. Sci. and Engng, **5**, No. 1, 57 (1959). Вычисление коэффициента теплового использования в гетерогенных реакторах в P_3 -приближении.

Bäckstrom G. Nucl. Instrum. and Methods, **4**, No. 1, 5 (1959). Экспериментальные методы изучения γ -лучей, сопровождающих захват нейтронов.

Balzer R. et al. Nuovo Cimento, **XI**, N. 4, 609 (1959). Гамма-лучи, испускаемые йодом, иридием и церием после захвата нейтронов.

Barney L. et al. Nucl. Sci. and Engng, **5**, No. 1, 28 (1959). Нагревание ядерным излучением. Предварительные соображения.

Beard D. Phys. Rev. Letters, **2**, No. 3, 81 (1959) Микроволновое излучение из высокотемпературной плазмы.

Brackmann R., Fite W. Phys. Rev., **112**, No. 4, 1157 (1958). Столкновения электронов с водородными атомами. III—Упругое рассеяние.

Bradley R. J. Appl. Phys., **30**, No. 1, 1 (1959). Вторичная эмиссия положительных ионов с метал-

лических поверхностей.

Brockhouse B. *Rev. Scient. Instrum.*, **30**, No. 2, 136 (1959). Кристаллический фильтр для создания пучков чисто тепловых нейтронов, выходящих из реакторов.

Cameron A. *Canad. J. Phys.*, **37**, No. 3, 323 (1959). Многократный захват нейтронов при взрыве термоядерного устройства «Майк».

Campion P. et al. *Canad. J. Phys.*, **37**, No. 3, 377 (1959). Гамма-лучи от реакции $U^{238} (n, \gamma) U^{239}$.

Clendenin W. *Nucl. Sci. and Engng*, **5**, No. 1, 1 (1959). Вероятность избежать резонансного захвата в водородсодержащих решетках.

DeSaussure G., Silver E. *Nucl. Sci. and Engng*, **5**, No. 1, 49 (1959). Сравнение среднего числа мгновенных нейтронов, испускаемых при делении U^{235} , U^{238} , Pu^{239} , Pu^{241} .

Drummond J. *Phys. Rev.*, **112**, No. 5, 1460 (1958). Распространение микроволн в горячей магнитной плазме.

Elliot J., Young F. *Nucl. Sci. and Engng*, **5**, No. 1, 55 (1959). Период полураспада N^{16} , Mg^{27} , Al^{28} , S^{37} и Rh^{104m2} .

Fite W., Brackmann R. *Phys. Rev.*, **112**, No. 4, 1141 (1958). Столкновения электронов с водородными атомами. I—Ионизация.

Fite W., Brackmann R. *Phys. Rev.*, **112**, No. 4, 1151 (1958). Столкновения электронов с водородными атомами. II—Возбуждение лаймановского α -излучения.

Fite W. et al. *Phys. Rev.*, **112**, No. 4, 1161 (1958). Перезарядка при столкновениях протонов с атомами водорода.

Futch A. *Nucl. Sci. and Engng*, **5**, No. 1, 61 (1959). Эффект деления на быстрых нейтронах в решетке из естественного урана и тяжелой воды.

Gebauer H. *Atomkernenergie*, **4**, H. 2, 62 (1959). Определение оптимальной толщины катода счетчиков Гейгера—Мюллера для гамма-излучения.

Geiger K., Whyte G. *Canad. J. Phys.*, **37**, No. 3, 256 (1959). Абсолютная стандартизация радиоактивных нейтронных источников.

Gelbard E. et al. *Nucl. Sci. and Engng*, **5**, No. 1, 36 (1959). Итерационные решения одnogрупповых и двухгрупповых новых уравнений в P_1 -приближении.

Groover J. *Industr. Chemist*, **35**, No. 408, 59 (1959). Удаление долгоживущих продуктов деления.

Halden BHWR. *Nucl. Engng*, **4**, No. 36, 106 (1959). Холденский тяжеловодный кипящий реактор (BHWR).

Hall G. *Industr. Chemist*, **35**, No. 407, 3 (1959). Мирное использование атомной энергии. Обзор докладов Второй женевской конференции. Сообщение III—Удаление отходов; разделение изотопов.

Harris E. *Phys. Rev. Letters*, **2**, No. 2, 34 (1959). Нестабильные колебания плазмы в магнитном поле.

Holland L. *J. Scient. Instrum.*, **36**, No. 3, 105 (1959). Теория и устройство ионно-сорбционных насосов.

Huebottter P., Seitz W. *Nucl. Sci. and Engng*, **5**, No. 1, 11 (1959). Использование холодной петли для стабилизации суспензии UO_2 в NaK.

Keilholtz G. et al. *Nucl. Sci. and Engng*, **5**, No. 1, 15 (1959). Влияние радиации на коррозию конструкционных материалов под действием флуоридов.

Kisliuk P. *J. Appl. Phys.*, **30**, No. 1, 51 (1959). Электронная эмиссия под действием положительных ионов в сильных полях.

Krieger T., Zweifel P. *Nucl. Sci. and Engng*, **5**, No. 1, 21 (1959). Теория экспериментов с пульсирующими пучками нейтронов в размножающей среде.

Kügler I. *Atomkernenergie*, **4**, H. 2, 67 (1959). Окрашивание стекол под действием ионизирующей радиации.

Landon H. et al. *Phys. Rev.*, **112**, No. 4, 1192 (1958). Изучение рассеяния нейтронов с энергией 2,2 Мэв методом времени пролета.

Leonard B. et al. *Nucl. Sci. and Engng*, **5**, No. 1, 32 (1959). Ширина резонанса Pu^{240} при $E=1$ эв.

Montgomery D. *Phys. Rev. Letters*, **2**, No. 2, 36 (1959). Развитие магнитогидродинамических ударных волн из альфвеновских волн большой амплитуды.

Morton A., Smith W. *Nucl. Instrum. and Methods*, **4**, No. 1, 36 (1959). Улучшение характеристик циклотрона с помощью контроля начального движения ионов.

Mott-Smith H. *Nucl. Sci. and Engng*, **5**, No. 1, 68 (1959). Нагревание положительных ионов в термоядерной плазме.

Murray R. et al. *Nucl. Sci. and Engng*, **5**, No. 1, 69 (1959). Средний поток в реакторном объеме для испытания материалов.

Neddermeyer S. *J. Appl. Phys.*, **30**, No. 1, 16 (1959). Проблемы генерирования интенсивных циркулирующих токов релятивистских электронов.

Nucl. Engng, **4**, No. 36, 113 (1959). Топливные циклы ядерного горючего.

Perkins R., Nielsen J. *Science*, **129**, No. 3341, 94 (1959). Содержание $Zn-65$ в пищевых продуктах и у человека.

Reagan D. *Phys. Rev. Letters*, **2**, No. 3, 82 (1959). Нагревание быстрых ионов.

Sauer A. *Nucl. Sci. and Engng*, **5**, No. 1, 71 (1959). Оптимальное регулирование и плоский поток.

Slepian J. *Phys. Rev.*, **112**, No. 5, 1441 (1958). Гидромагнитные уравнения для двухизотопного

полностью ионизированного газа.

Strasser A. Nucl. Engng, 4, No. 36, 131 (1959).
Международный симпозиум по топливным элемен-
там.

Sumi M. Phys. Rev. Letters, 2, No. 2, 37 (1959).
Возбуждение колебаний в плазменном слое.

Uhler J., Alvåger T. Arkiv Fysik, 14, No. 5, 473
(1959). Метод быстрого электромагнитного раз-
деления радиоактивных изотопов.

Weibel E. Phys. Rev. Letters, 2, No. 3, 83 (1959).
Спонтанное появление поперечных колебаний в
плазме благодаря анизотропии распределения ско-

ростей.

Wille R., Fink R. Phys. Rev., 112, No. 6, 1950
(1958). Два новых изотопа прометия; сечения
некоторых изотопов самария для нейтронов с
энергией 14,8 Мэв.

Wolfe B., Fisher D. Nucl. Sci. and Engng, 5, No.
1, 5 (1959). Метод возмущений в теории регули-
рующих стержней.

Wood D. Nucl. Sci. and Engng, 5, No. 1, 45
(1959). Утечка нейтронов с промежуточной энер-
гией через железо.

НОЯБРЬСКОГО ВЫПУСКА ЖУРНАЛА "АТОМНАЯ ЭНЕРГИЯ"
(ТОМ 7, ВЫП. 5, 1959)

СОДЕРЖАНИЕ

Статьи

- И. И. Бондаренко, Ю. Я. Стависский. Импульсный режим работы быстрого реактора
Т. Н. Зубарев. О стабильности теплотделения в мигающем реакторе
И. Ф. Жежерун. Сравнительный метод проверки графита для атомных реакторов
И. В. Киршичников, С. И. Сухоручкин. Свойство резонансных уровней делящихся ядер
Г. В. Горшков, З. Г. Гритченко, Т. А. Ильянская, В. С. Кузнецов, Н. С. Шиманская. Период полураспада радия (радий-226)

Письма

- Б. Г. Дубовский. Секционированные реакторные системы
С. Л. Ривкин. Экспериментальное исследование плотности тяжелой воды
Д. Л. Тимрот, К. Ф. Шуйская. Экспериментальное исследование вязкости тяжелой воды
С. Л. Ривкин, Б. Н. Егоров. Экспериментальное исследование теплоемкости тяжелой воды
Н. Б. Варгафтик, О. Н. Олещук, П. Е. Белякова. Экспериментальное исследование теплопроводности тяжелой воды
А. Г. Самарцева. Электролитическое выделение радиоактивных изотопов редкоземельных элементов
Е. М. Савицкий, М. А. Тылкина, К. Б. Поварова. Диаграмма состояния системы ниобий-рений
М. З. Максимов. О возможности увеличения выхода ядерных реакций из тонкой мишени
М. Я. Ген, Ю. И. Петров. Пробег протонов с энергией 14,7 Мэв в алюминии
Б. П. Максютенко. Абсолютные выходы запаздывающих нейтронов при делении U^{238} , U^{235} и Th^{232} быстрыми нейтронами
В. И. Гомонай, И. Ю. Кривский, В. А. Шкода-Ульянов. Расчет фотонейтронных выходов из некоторых веществ под воздействием электронного монохроматического пучка с помощью равновесного спектра Беленького-Тамма
Ю. В. Гофман, О. Ф. Немец, В. В. Токаревский. Спектры нейтронов, рассеянных ядрами кислорода, сурьмы и хрома
В. П. Шведов, М. И. Жилкина, В. К. Зиновьева, Л. М. Иванова, Т. П. Макарова, Н. А. Павлова. Выпадение Sr^{90} из атмосферы в окрестностях Ленинграда
Вилем Сантгольцер. Радиактивные выпадения после прекращения ядерных испытаний
Н. Е. Цветаева, Л. А. Розенфельд. Анализ мягкого β -излучения методом поглощения в воздухе
А. Д. Туркин, Л. М. Михайлов. Измерение концентрации β -активных газов торцовыми счетчиками
Г. В. Горшков, В. М. Кодюков. Влияние многократного рассеяния в радиоактивном источнике на величину мощности дозы
А. А. Воробьев, Б. А. Кононов. Электростатический способ вывода электронов из бетатрона

Новости Науки и Техники

Библиография

以上为苏联 原子能 杂志 7 卷 5 期目录, 相当于本刊 5 卷 3 期 (1960 年 3 月底出版)。愿参加
翻译上述文献者, 希于 12 月 10 日以前来信联系。为了避免重译, 在未获本刊编辑部答复前, 希勿开译。

新 书 简 介

核反应堆的数值計算法

〈苏〉Г. И. 馬尔丘克著 飞 跃譯

本书內容阐述有关核反应堆数值計算法的基本問題，书后并附有各种有实际价值的附录。讀者在閱讀本书之前，需要先具备关于核反应堆的一般基础理論知識，如 S. 格拉斯頓“原子反应堆理論綱要”，M. 爱德崙“热中子核反应堆理論”（以上二书均是科学出版社出版）。

定价：1.90 元（京）

反应堆物理学与热工学

〈苏〉Г. И. 馬尔丘克等著 “原子能”編譯委员会編譯

本书包括反应堆物理学与热工学方面的論文 18 篇，其中关于反应堆物理学和安全防护的問題，以前在文献中是較少研究过或甚至完全沒有談到过的。

定价：1.10 元（京）

科学出版社出版 新華书店發行

原 子 能（月刊）

編輯者	中国物理学会 ‘原子能’編譯委员会 (北京郵箱 287 号)
出版者	科学出版社
印刷者	中国科学院印刷厂
总发行处	北京市郵局
訂购处	全国各地郵电局
代訂零售处	全国各地新华书店 科学出版社各地門市部

(京) 1—3,360

1959 年 11 月 27 日出版

本刊代号：2—212

定价：1.10 元